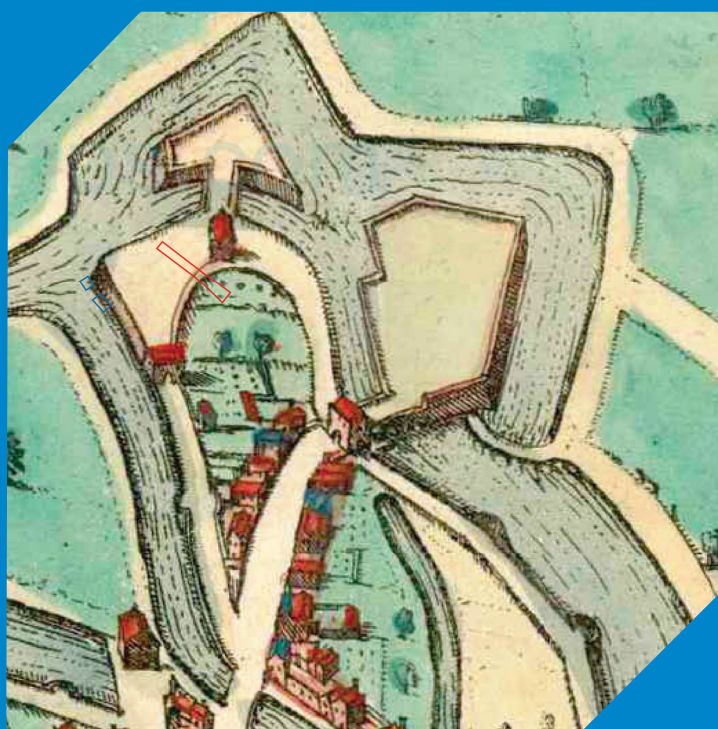


SOLVA

regio | project | partner

AALST PIERRE CORNELISKAAI

WERFBEGELEIDING



INTERGEMEENTELIJKE SAMENWERKING VOOR STREEKONTWIKKELING IN
ZUID-OOST-VLAANDEREN

GENTSESTEENWEG 1 B
9520 SINT-LIEVENS-HOUTEM
TEL 053 64 65 20

INFO@SO-LVA.BE
WWW.SO-LVA.BE

AALST PIERRE CORNELISKAAL

EINDVERSLAG – 2021E133

SOLVA ARCHEOLOGIE RAPPORT 321

AUTEUR: ERIK VERBEKE

COLOFON

DOSSIERSAMENSTELLING

Erik Verbeke

PROJECT

Aalst Pierre Corneliskaai (eindverslag)

Projectcode: 2021E133

Projectnaam: 21-AAL-PC

SOLVA Archeologierapport nr. 321

OPDRACHTHOUDER



SOLVA

Projectteam: Archeologie

Gentsesteenweg 1B

9520 Sint-Lievens-Houtem

Tel: 053/64 65 20

info@so-lva.be

BEWAARPLAATS ARCHEOLOGISCH ENSEMBLE

Erkend onroerend erfgoeddepot SOLVA archeologisch depot

p/a Industrielaan 25b

9320 EREMBODEGEM

Tel: 053/64 65 36

archeologie@so-lva.be

WETTELIJK DEPOTNUMMER

D/2025/12.857/9

COPYRIGHT

Niets uit deze uitgave mag worden vermenigvuldigd en/of openbaar gemaakt door middel van druk, fotokopie, microfilm of op welke andere wijze ook zonder voorafgaande schriftelijke toestemming van **SOLVA**.

Alle foto's, tenzij anders vermeld: © **SOLVA**

INHOUDSTAFEL

00	DANKWOORD EN INLEIDING	13
01	BESCHRIJVEND GEDEELTE	19
1.1.	ADMINISTRATIEVE GEGEVENS	21
1.2.	SAMENVATTING VAN HET ARCHEOLOGISCH VOORONDERZOEK EN DE RESULTATEN	24
1.3.	DE ONDERZOEKSOPDRACHT	25
1.3.1.	VRAAGSTELLING	25
1.3.2.	DE RANDVOORWAARDEN	26
1.3.3.	BESCHRIJVING GEPLANDE WERKEN	26
1.4.	WERKWIJZE EN STRATEGIE VAN DE OPGRAVING	28
1.4.1.	MOTIVERING VAN DE ONDERZOEKSSTRATEGIE, -METHODE EN -TECHNIEKEN	28
1.4.1.1.	OPGRAVINGSSTRATEGIE	28
1.4.1.2.	METHODEN EN TECHNIEKEN	28
1.4.2.	BESCHRIJVING VAN DE ORGANISATIE VAN DE OPGRAVING	30
1.4.3.	BESCHRIJVING VAN HET GEBRUIKTE MATERIAAL	30
1.4.4.	BESCHRIJVING EN MOTIVERING VAN EVENTUELE AFWIJKENDE METHODIEK EN VAN EVENTUELE BIJSTELLINGEN VAN DE OORSPRONKELIJKE STRATEGIE	30
1.4.5.	MOTIVATIE VAN DE KEUZE TEN AANZIEN VAN DE SELECTIE VAN VONDSTEN	30
1.4.6.	MOTIVATIE VAN DE KEUZE TEN AANZIEN VAN DE STAALNAME	30
1.4.7.	TEKSTUELE OMSCHRIJVING VAN DE INBRENG VAN SPECIALISTEN	31
1.4.8.	TEKSTUELE OMSCHRIJVING VAN DE ALGEMENE WETENSCHAPPELIJKE ADVISERING DOOR PERSONEN DIE BUITEN HET PROJECT STONDEN	31
02	ASSESSMENTRAPPORT	33
2.1.	BESCHRIJVING VAN DE OBSERVATIES EN REGISTRATIES UIT HET ASSESSMENT	35
2.1.1.	ASSESSMENT VAN VONDSTEN	35
2.1.2.	ASSESSMENT VAN STALEN	35
2.1.3.	CONSERVATIE-ASSESSMENT	35
2.1.4.	ASSESSMENT VAN SPOREN, SPOORCOMBINATIES, ARCHEOLOGISCHE STRUCTUREN EN ARCHEOLOGISCHE SITE	35
2.2.	TEKSTUELE BESCHRIJVING VAN HET POTENTIEEL VOOR WETENSCHAPPELIJK ONDERZOEK EN DE AARD DAARVAN, MET WAARDERING	35

2.3. TEKSTUELE BESCHRIJVING VAN HET UIT TE VOEREN ONDERZOEK	36
2.3.1. TE BEANTWOORDEN ONDERZOEKSVRAGEN	36
2.3.2. STRATEGIE VOOR DE VERWERKING	36
2.3.3. CONSERVATIESTRATEGIE	36
2.3.4. ONDERZOEKSVRAGEN VOOR VERVOLGONDERZOEK	36
03 INTERPRETATIE VAN DE ARCHEOLOGISCHE SITE	39
3.1. BESCHRIJVING VAN HET KADER VAN DE ARCHEOLOGISCHE SITE	41
3.1.1. BESCHRIJVING VAN DE LANDSCHAPPELIJKE LIGGING	42
3.1.1.1. FYSISCH-GEOGRAFISCHE SITUERING	45
3.1.1.2. GRONDGEBRUIK	48
3.1.2. HISTORISCH KADER	50
3.1.2.1. ARCHEOLOGISCH AALST	50
3.1.2.2. HET PROJECTGEBIED	51
3.1.2.2.1. INVENTARIS ONROEREND ERFGOED	51
3.1.2.2.2. HISTORISCH-CARTOGRAFISCHE DOCUMENTEN	51
3.1.2.2.2.1. JACOB VAN DEVENTER (1550-1565)	51
3.1.2.2.2.2. GEORG BRAUN EN FRANS HOOGENBERGH (1588)	52
3.1.2.2.2.3. ANTONIUS SANDERUS KAART (1649)	53
3.1.2.2.2.4. VILLARETKAART (1745 – 1748)	53
3.1.2.2.2.5. JOZEF JOHAN FRANS FERRARIS – KABINETSKAART DER OOSTENRIJKSE NEDERLANDEN EN HET PRINSBISDOM LUIK (1771-1778)	54
3.1.2.2.2.6. ATLAS DER BUURTWEGEN (CA. 1841)	55
3.1.2.2.2.7. PHILIPPE VANDERMAELEN – CARTES TOPOGRAPHIQUES DE LA BELGIQUE (1846-1854)	55
3.1.2.2.2.8. PHILIPPE CHRÉTIEN POPP – ATLAS CADASTRAL PARCELLAIRE DE LA BELGIQUE (1842-1879)	56
3.1.2.2.2.9. RECENTE LUCHTFOTO'S	57
3.1.3. HET ARCHEOLOGISCH KADER	58
3.2. BESCHRIJVING VAN DE BODEMS EN ANDERE COMPLEXEN VAN AARDKUNDIGE EENHEDEN	58
3.2.1. GENESE VAN DE BODEMS OF ANDERE COMPLEXEN VAN AARDKUNDIGE EENHEDEN	58
3.2.2. BEWARING VAN DE BODEMS OF ANDERE COMPLEXEN VAN AARDKUNDIGE EENHEDEN	59
3.2.3. EFFECTEN VAN DE AANWEZIGE BODEMS EN SEDIMENTEN OP DE BEWARING VAN DE ARCHEOLOGISCHE SITE EN DE ARCHEOLOGISCHE ARTEFACTEN DAARBINNEN	59
3.2.4. REFERENTIE AAN GELIJKAARDIGE BODEMS EN ANDERE COMPLEXEN VAN AARDKUNDIGE EENHEDEN OP GEKENDE ARCHEOLOGISCHE SITES	59

3.3. BESCHRIJVING VAN DE ARCHEOLOGISCHE SITE AAN DE HAND VAN HET SPORENBESTAND OF DE VONDSTENSPREIDING	61
3.3.1. ANALYSE VAN DE OPBOUW VAN DE ARCHEOLOGISCHE SITE	61
3.3.1.1. BESCHRIJVING VAN DE WIJZE WAAROP DE ARCHEOLOGISCHE SITE ZICH AAN HET HUIDIGE OPPERVLAK MANIFESTEERT	61
3.3.1.2. BESCHRIJVING VAN DE STRATIGRAFISCHE OPBOUW VAN DE ARCHEOLOGISCHE SITE	61
3.3.1.3. GEMIDDELDE DIEPTE VAN DE WAARGENOMEN ARCHEOLOGISCHE NIVEAUS TEN OPZICHTE VAN DE TWEDE ALGEMENE WATERPASSING EN HET MAAIVELD	61
3.3.1.4. PROFIELEN	61
3.3.2. ANALYSE VAN ARCHEOLOGISCHE STRUCTUREN, SPOORCATEGORIEËN, SPOORCOMBINATIES EN INDIVIDUELE SPOREN	64
3.3.2.1. WEERGAVE VERSCHILLENDE FASES	64
3.3.2.2. BEHOUD IN SITU VAN NIET-ONDERZOCHE ZONES	64
3.3.2.3. TEKSTUELE BESCHRIJVING EN INTERPRETATIE VAN HET SPORENBESTAND	64
3.3.2.3.1. FASE 1: ACCUMULATIE VAN ALLUVIAAL/FLUVIATIEL SEDIMENT (... - EIND 15DE/16DE EEUW)	64
3.3.2.3.2. FASE 2: STABILISATIE EN OPHOGING (EIND 16DE EEUW - BEGIN 17DE EEUW)	74
3.3.2.3.3. FASE 3: STADSVERSTERKINGEN (TWEDE KWART 17DE EEUW – DERDE KWART VAN DE 18DE EEUW)	81
3.3.2.3.4. FASE 4: STRAAT EN PLEIN (EIND 18DE EEUW - NU)	88
3.3.2.3.5. OVERIGE INDIVIDUELE SPOREN EN SPOORCOMBINATIES	91
3.4. BESCHRIJVING VAN HET BESTAND AAN CULTURELE VONDSTEN EN NATUURWETENSCHAPPELIJKE VONDSTEN	92
3.4.1. BESCHRIJVING VAN DE ANALYSEMETHODEN EN -TECHNIEKEN	92
3.4.2. BESCHRIJVING VAN DE UITWERKINGSMETHODEN	92
3.4.3. BESCHRIJVING VAN DE VONDSTEN	92
3.4.4. BESCHRIJVING EN ANALYSE VAN DE VONDSTCATEGORIEËN	93
3.4.5. ANALYSE VAN DE TYPOLOGISCHE, CHRONOLOGISCHE EN RUIMTELIJKE INDELING VAN DE VONDSTEN	93
3.5. DATERING EN INTERPRETATIE VAN DE ARCHEOLOGISCHE SITE	93
3.5.1. RELATIEVE DATERING OP BASIS VAN HET SPORENBESTAND EN VONDSTENBESTAND	93
3.5.2. ABSOLUTE DATERING OP BASIS VAN VONDSTEN	93
3.5.3. ABSOLUTE DATERING OP BASIS VAN NATUURWETENSCHAPPELIJKE DATERINGSTECHNIEKEN	93
3.5.4. ABSOLUTE DATERING OP BASIS VAN HISTORISCHE BRONNEN	93
3.5.5. TAFONOMISCHE OPBOUW EN FORMATIE VAN DE ARCHEOLOGISCHE SITE	93
3.6. SYNTHESE VAN DE KENNIS OVER DE ARCHEOLOGISCHE SITE	93

3.6.1. GEMOTIVEERDE INTERPRETATIE VAN DEVONDSTEN, VONDSTECATEGORIEËN, SPOREN, SPOORCOMBINATIES, SPOORCATEGORIEËN, ARCHEOLOGISCHE STRUCTUREN, EN ACTIVITEITENZONES	93
3.6.2. BEVINDINGEN TEN OPZICHTE VAN DE RESULTATEN VAN EERDER UITGEVOERD ARCHEOLOGISCH ONDERZOEK	94
3.6.3. GEMOTIVEERDE VERWACHTING TEN AANZIEN VAN DE AANWEZIGHEID EN AARD VAN ARCHEOLOGISCH ERFGOED	95
3.6.4. BELANG EN DE BETEKENIS VAN DE ARCHEOLOGISCHE SITE BINNEN DE BESTAANDE KENNIS	95
3.6.5. AFBAKENING VAN ZONES WAAR GEEN ARCHEOLOGISCH ERFGOED AANWEZIG IS	95
3.7. DE ONDERZOEKSVRAGEN EN ONDERZOEKSDOELEN BEANTWOORD	95
3.8. SAMENVATTING VAN HET ONDERZOEK (GERICHT OP GESPECIALISEERD PUBLIEK)	96
04 BIBLIOGRAFIE	101
05 BIJLAGEN	107
5.1. HANDLEIDING BIJ HET RAADPLEGEN VAN DE BIJLAGEN	109
5.2. LIJSTEN	110
5.2.1. BIJLAGE 1: GEGEVENS DATABANK (DEEL 1)	110
5.2.1. BIJLAGE 2: GEGEVENS DATABANK (DEEL 2)	110

LIJST VAN FIGUREN

Fig. 1. Topografische kaart (detail) met aanduiding van het projectgebied.	22
Fig. 2. Topografische kaart met aanduiding van het projectgebied.	22
Fig. 3. Kadasterkaart met aanduiding van het projectgebied.	23
Fig. 4. Allesporenplan geprojecteerd op het kadasterplan.	23
Fig. 5. Allesporenplan geprojecteerd op het ontwerpplan.	24
Fig. 6. Grondplan met de ontworpen toestand (bron: Stad Aalst).	26
Fig. 7. Plan van de fietsbrug tussen het Jagerspad en de Pierre Corneliskaai (bron: Stad Aalst).	27
Fig. 8. Doorsnede van de aanlanding van de fietsbrug ter hoogte van de Houtkaai (bron: Stad Aalst).	27
Fig. 9. Doorsnede van de aanlanding van de fietsbrug ter hoogte van de Houtkaai (bron: Stad Aalst).	27
Fig. 10. Doorsnede van de funderingen van het liftgebouw ter hoogte van de Houtkaai (bron: Stad Aalst)	27
Fig. 11. Bodemkaart (algemeen) met aanduiding van Aalst (bron: AGIV; digitaal aangemaakt op 3/8/2020)	41
Fig. 12. Gewestplan met aanduiding van het projectgebied (bron: AGIV; digitaal aangemaakt op 28/11/2024).	42
Fig. 13. Quartairgeologische kaart met aanduiding van het projectgebied (bron: AGIV; digitaal aangemaakt op 3/8/2020).	44
Fig. 14. Tertiairgeologische kaart met aanduiding van het projectgebied (bron: AGIV; digitaal aangemaakt op 3/8/2020).	44
Fig. 15. Digitaal terreinmodel met aanduiding van het projectgebied (bron: AGIV; digitaal aangemaakt op 3/8/2020).	45
Fig. 16. Digitaal terreinmodel met aanduiding van het projectgebied en hoogteprofielen (bron: AGIV; digitaal aangemaakt op 3/8/2020).	45
Fig. 17. Weergave van hoogteprofiel 1 (bron: SOLVA).	46
Fig. 18. Weergave van hoogteprofiel 2 (bron: SOLVA).	46
Fig. 19. Potentiële bodemerosiekaart met aanduiding van het projectgebied (bron: AGIV; digitaal aangemaakt op 3/8/2020).	47
Fig. 20. Bodemkaart met aanduiding van het projectgebied (bron: AGIV; digitaal aangemaakt op 3/8/2020).	47
Fig. 21. Bodemassociatiekaart met aanduiding van het projectgebied (bron: AGIV; digitaal aangemaakt op 3/8/2020).	48
Fig. 22. Bodemgebruikskaart met aanduiding van het projectgebied (bron: AGIV; digitaal aangemaakt op 3/8/2020).	48
Fig. 23. Bodembedekkingskaart met aanduiding van het projectgebied (bron: AGIV; digitaal aangemaakt op 3/8/2020).	49
Fig. 24. Recente luchtfoto uit 2019 met aanduiding van het projectgebied (bron: AGIV; digitaal aangemaakt op 3/8/2020).	49
Fig. 25. Kaart van Jacob van Deventer met aanduiding van locatie projectgebied (bron: kbr.be).	52
Fig. 26. Kaart van Braun en Hoogenbergh met aanduiding locatie projectgebied (bron: antiquemaps.com).	52
Fig. 27. Kaart van Sanderus met aanduiding locatie projectgebied (bron: Geheugenvannederland.nl).	53
Fig. 28. Villaretkkaart met aanduiding van het projectgebied.	54
Fig. 29. Ferrariskaart met aanduiding van het projectgebied.	54
Fig. 30. Atlas der Buurtwegen met aanduiding van het projectgebied.	55
Fig. 31. Kaart Vandermaelen met aanduiding van het projectgebied.	56
Fig. 32. Poppkaart met aanduiding van het projectgebied.	56
Fig. 33. Luchtfoto uit 1971 met aanduiding van het projectgebied.	57
Fig. 34. Luchtfoto uit 1990 met aanduiding van het projectgebied.	57
Fig. 35. CAI op GRB met aanduiding van het projectgebied (bron: AGIV; digitaal aangemaakt op 3/8/2020).	58
Fig. 36. DHM van de regio Aalst met aanduiding van het projectgebied, de leemrug, de oudste kern van Aalst en locaties van andere opgravingen die in dit verslag vermeld worden.	60
Fig. 37. Aanduiding van de profielen van het proefputtenonderzoek.	62
Fig. 38. Aanduiding van de profielen van de werfbegeleiding.	63
Fig. 39. Allesporenkaart op het kadaster.	65
Fig. 40. Locatie van de boringen uit de werfbegeleiding.	66
Fig. 41. Gedigitaliseerd profiel 9AB met met aanduiding van de verschillende contexten	68
Fig. 42. Gedigitaliseerd profiel 10AB met met aanduiding van de verschillende contexten.	68
Fig. 43. Schematische weergave van het ontstaan van rivierafzettingen gedurende glacialen en interglacialen. Op een soortgelijke wijze is ook de Dendervallei ontstaan.	73
Fig. 44. Gedigitaliseerd profiel 2AB met aanduiding van de verschillende contexten.	75
Fig. 46. Geschatte mogelijke locatie van de proefputten (blauw) en de werfbegeleiding (rood) op de kaart van Deventer (1550-1565) (bron: Kbr.be (online)).	78
Fig. 45. Geschatte mogelijke locatie van de proefputten (blauw) en de werfbegeleiding (rood) op de kaart van Guicciardini (1567) (bron: Mapsandmaps.com (online)).	78
Fig. 47. Geschatte mogelijke locatie van de proefputten (blauw) en de werfbegeleiding (rood) op de kaart van Braun en Hoogenbergh (1588) (bron: antiquemaps.com (online)).	79
Fig. 48. Profiel 1AB met aanduiding van de contexten.	82
Fig. 49. Geschatte mogelijke locatie van de proefputten (blauw) en de werfbegeleiding (rood) op de kaart van De Dijn (1629) (bron: foto 't Gasthuys Stedelijk Museum Aalst.	83
Fig. 50. Geschatte mogelijke locatie van de proefputten (blauw) en de werfbegeleiding (rood) op de kaart van Sanderus (1649) (bron: Universiteitsbibliotheek Universiteit Gent [online]). ²⁹	84
Fig. 51. Geschatte mogelijke locatie van de proefputten (blauw) en de werfbegeleiding (rood) op de kaart van Pieter Mortier (1702-1703) (bron: Rijksmuseum Amsterdam [online]). ³⁰	84
Fig. 52. Locatie van de proefputten en de werfbegeleiding op het gegeorefererde Plan de la Ville et faubourgs d'Alost van de Graaf van Argenson (1745).	85
Fig. 53. Locatie van de proefputten en de werfbegeleiding op de Villaretkkaart.	85
Fig. 54. Locatie van de proefputten en de werfbegeleiding op de Ferrariskaart. De stadsversterkingen ter hoogte van het projectgebied zijn verdwenen.	86
Fig. 55. Locatie van de proefputten en de werfbegeleiding op de gegeorefererde stadsplattegrond van Hoffman (1815). De georeferentie is vrij accuraat maar de kaart is weinig gedetailleerd.	90
Fig. 56. Locatie van de proefputten en de werfbegeleiding op de Atlas der Buurtwegen (ca. 1841).	90
Fig. 57. Locatie van de proefputten en de werfbegeleiding op de Poppkaart (1842-1879). De georeferentie is vrij accuraat en gedetailleerd.	91

LIJST VAN AFBEELDINGEN

Afb. 1. Detail van profiel 21AB uit de opgravingen in de Molenstraat. De alluviale pakketten (II-626, II-706 en II-727) zijn afgedekt door het organische pakket II-625.	62
Afb. 2. Zicht op profiel 9AB.	68
Afb. 3. Zicht op profiel 9AB.	69
Afb. 4. Zicht op profiel 10AB.	69
Afb. 5. Zicht op profiel 10AB.	72
Afb. 6. Detail van profiel 10AB.	72
Afb. 7. Foto van boring 6 van 0 (links bovenaan) tot 3,50 m (rechts onderaan) diepte.	73
Afb. 8. Detail van boring 6, van 2,64m (links) tot 3,02m (rechts) diep, waarin organische, bijna venige resten en schelpfragmenten te zien zijn.	73
Afb. 9. Detail van profiel 10AB met aanduiding van de verschillende contexten.	76
Afb. 10. Profiel 2AB.	76
Afb. 11. Zicht vanuit het westen op GPL A in de zuidoostelijke helft van de werkput. Op deze locatie zou in de 16de eeuw een weermuur aanwezig kunnen geweest zijn.	82
Afb. 12. Profiel 1AB.	83
Afb. 13. Zicht op het westelijk stuk van deelzone 2 van de opgravingen op het Esplanadeplein te Aalst.	88
Afb. 14. Hedendaags voorbeeld van <i>trampling</i> in een nat gebied. Het vee zakt diep weg in de modder en er is geen vegetatieontwikkeling (bron: SOLVA).	90
Afb. 15. Detail van profiel 10AB.	91

LIJST VAN TABELLEN

Tabel 1: Vondsten uit C. II-29.	74
Tabel 2: Aardewerk uit C. II-43.	78
Tabel 3: Vondsten uit C. II-41.	78
Tabel 4: Vondsten uit C. II-25.	78
Tabel 5: Vondsten uit C. II-1.	84
Tabel 6: Aardewerk uit spoor I-4.	85

00 | DANKWOORD EN INLEIDING





DANKWOORD

We wensen de Stad Aalst en de firma NV De Jonge te bedanken voor de vlotte samenwerking.



INLEIDING

Het stadsbestuur van Aalst wenst wegenis- en rioleringswerken uit te voeren ter hoogte van de Houtkaai en Korte Moutstraat in Aalst.

Op basis van de bureaustudie kon gesteld worden dat het projectgebied een zeker archeologisch potentieel heeft gelet op de ligging nabij de historische kern van de Aalst en de situering t.h.v. de laatmiddeleeuwse stadsomwalling en gracht. Dit potentieel situeert zich vooral ter hoogte van de Korte Moutstraat, de mogelijkheid bestaat een deel van de laat- en postmiddeleeuwse omwalling (wal/weermuur) aan te snijden.

In het eerder uitgevoerde proefsleuvenonderzoek door SOLVA ter hoogte van de Houtkaai werden aan de zuidzijde van het plein de resten van de recentste fase van de gracht van de stadsomwalling gevonden. De wal en eventuele weermuur zijn niet aangetroffen. Het toenmalige onderzoek situeert deze onder de gebouwen ten zuidoosten van het plein (zone Korte Moutstraat). Hier stelt zich dus de mogelijkheid om deze wal/weermuur in de ondergrond nog aan te snijden, wat mogelijkheden biedt om de laat- of postmiddeleeuwse omwalling op deze plaats in kaart te brengen en te dateren, zoals ook kon worden bekomen bij eerdere opgravingen aan het Vredeplein en het Keizersplein (linkeroever).

De werken in de zone aan de zuidwestelijke kant van de Korte Moutstraat zijn archeologisch opgevolgd door middel van werfbegeleiding. Ondanks de grote mate van verstoring was het mogelijk een vrij gedetailleerde tijdlijn bekomen van de ontwikkeling van dit stadsdeel. Dit is bijzonder relevant voor het begrip van de historische stadsontwikkeling van Aalst. Onze (archeologische) kennis over dit stadsdeel is momenteel immers zeer gering. Op een lokaal niveau leveren deze resultaten, ondanks de beperkte omvang van het onderzoek, toch een significante bijdrage aan het onderzoek van de geschiedenis van Aalst. Dit rapport vormt het eindverslag van het archeologische onderzoek.

01 | BESCHRIJVEND GEDEELTE

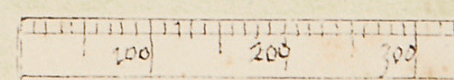




Denre 16.

Aelst.

Meridies.



1. BESCHRIJVEND GEDEELTE

1.1. ADMINISTRATIEVE GEGEVENS

ADMINISTRATIEVE GEGEVENS	
Projectcode:	2021E133
Sitecode:	21-AAL-PC
Wettelijk depotnummer:	D/2025/12.857/9
Naam en erkenningsnummer erkende archeoloog:	SOLVA OE/ERK/Archeoloog/2015/00038
Locatie:	Oost-Vlaanderen, Aalst, Korte Moutstraat (Figuur 1 en Figuur 2)
Bounding box:	punt 1: x= 127115.440, y= 181402.583 punt 2: x= 127118.250, y= 171404.720 punt 3: x= 127139.845, y= 181377.664 punt 4: x= 127135.833, y= 181374.574
Kadastrale gegevens:	Aalst, afdeling 2, sectie C, openbare weg (Figuur 3)
Topografische kaart:	zie Figuur 1 en Figuur 2.
Betrokken actoren en specialisten:	- Erkend archeoloog - veldwerkleider: Erik Verbeke - Assistent archeoloog: Katleen Couchez - Veldassistenten: Khalid Zammani, Harry Bonnarens, Wim Vanrolleghem, Wahid Khogyani en Kevin Strube - Tekst: Erik Verbeke - Kaartmateriaal: Erik Verbeke - Redactie: Wouter De Maeyer en Bart Cherretté
Wetenschappelijke advisering:	Niet van toepassing
Begin- en einddatum:	01/06/2021 t.e.m. 08/06/2021
Projectie van de aangetroffen sporen of vondstenconcentraties op het kadasterplan:	zie Figuur 4
Projectie van de aangetroffen sporen of vondstenconcentraties op de bouwplannen:	zie Figuur 5

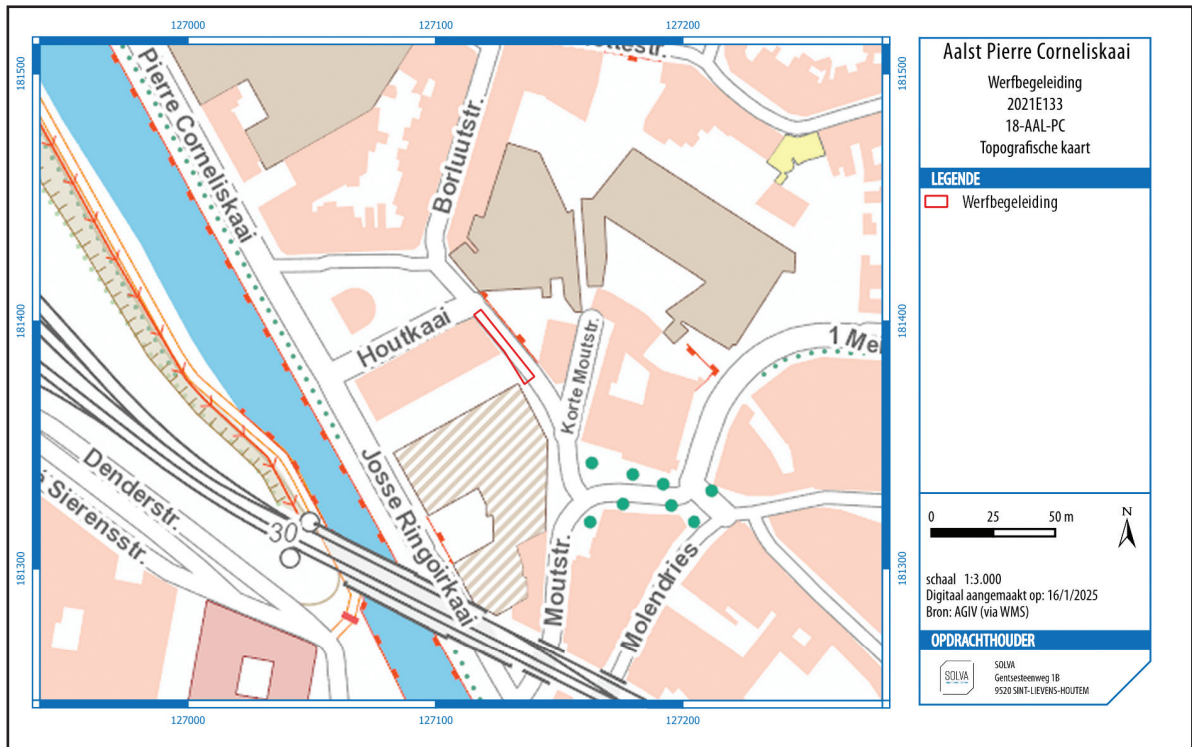


Fig. 1. Topografische kaart (detail) met aanduiding van het projectgebied.

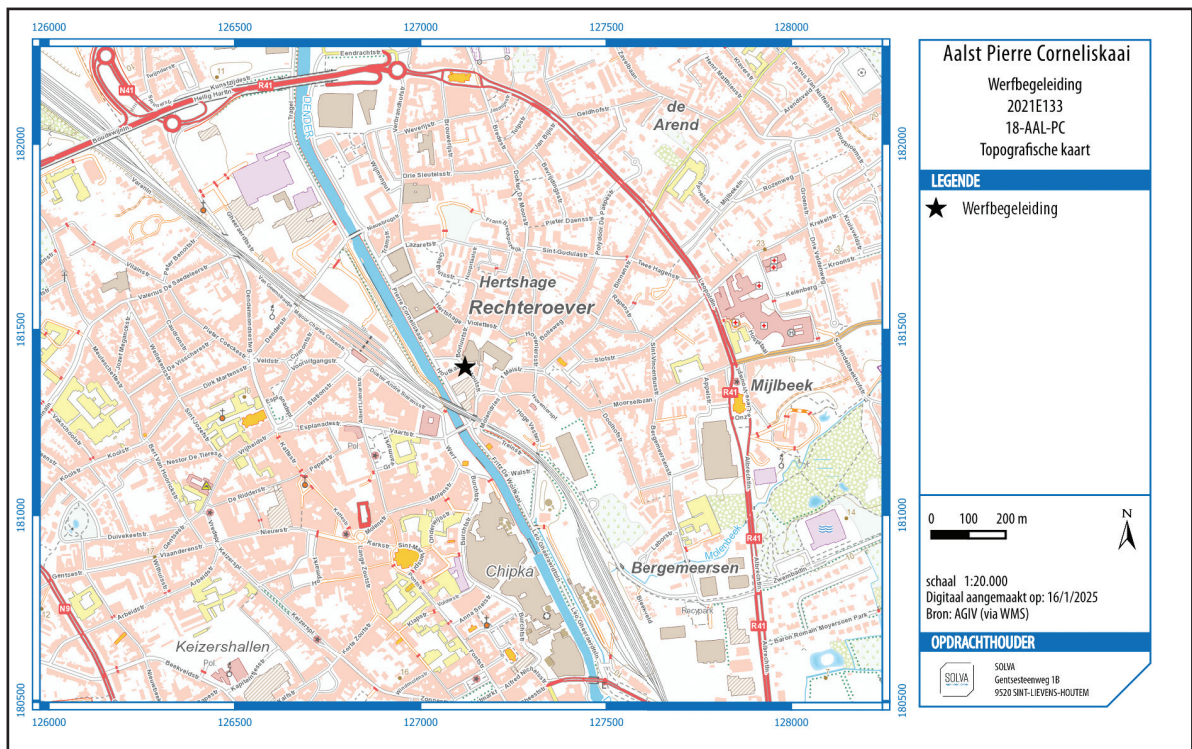


Fig. 2. Topografische kaart met aanduiding van het projectgebied.

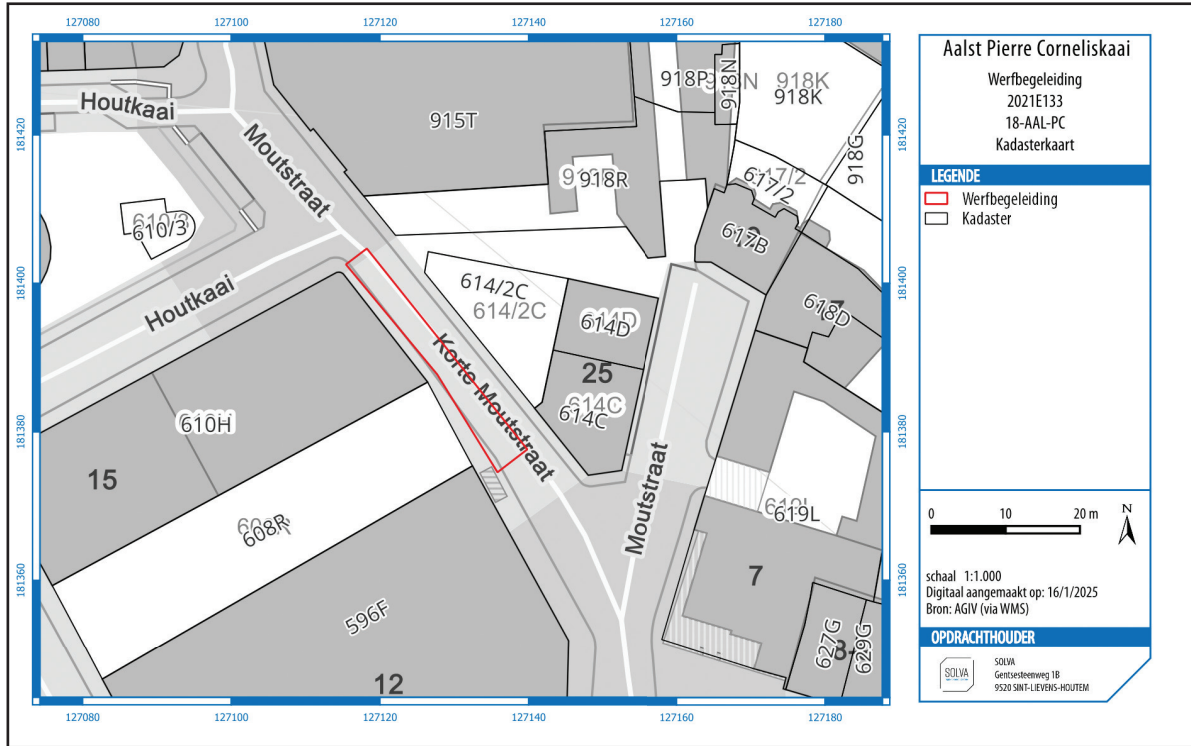


Fig. 3. Kadasterkaart met aanduiding van het projectgebied.

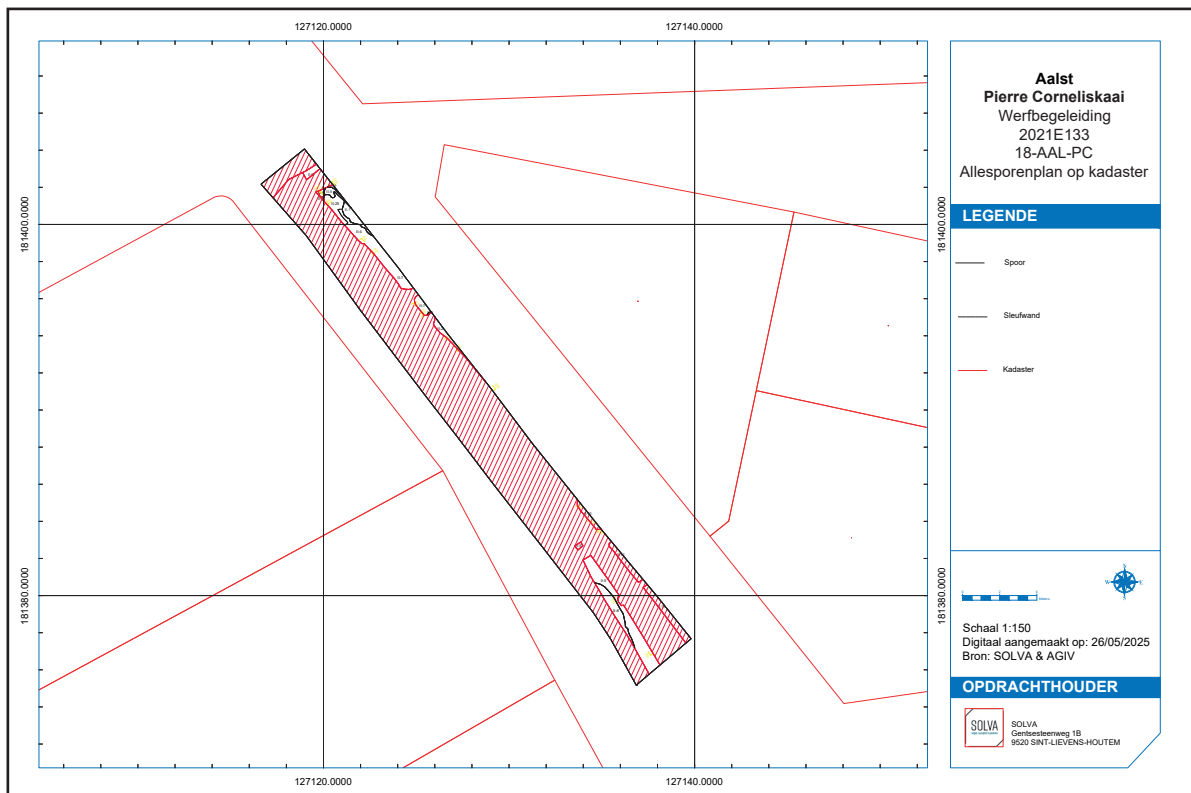


Fig. 4. Allesporenplan geprojecteerd op het kadasterplan.

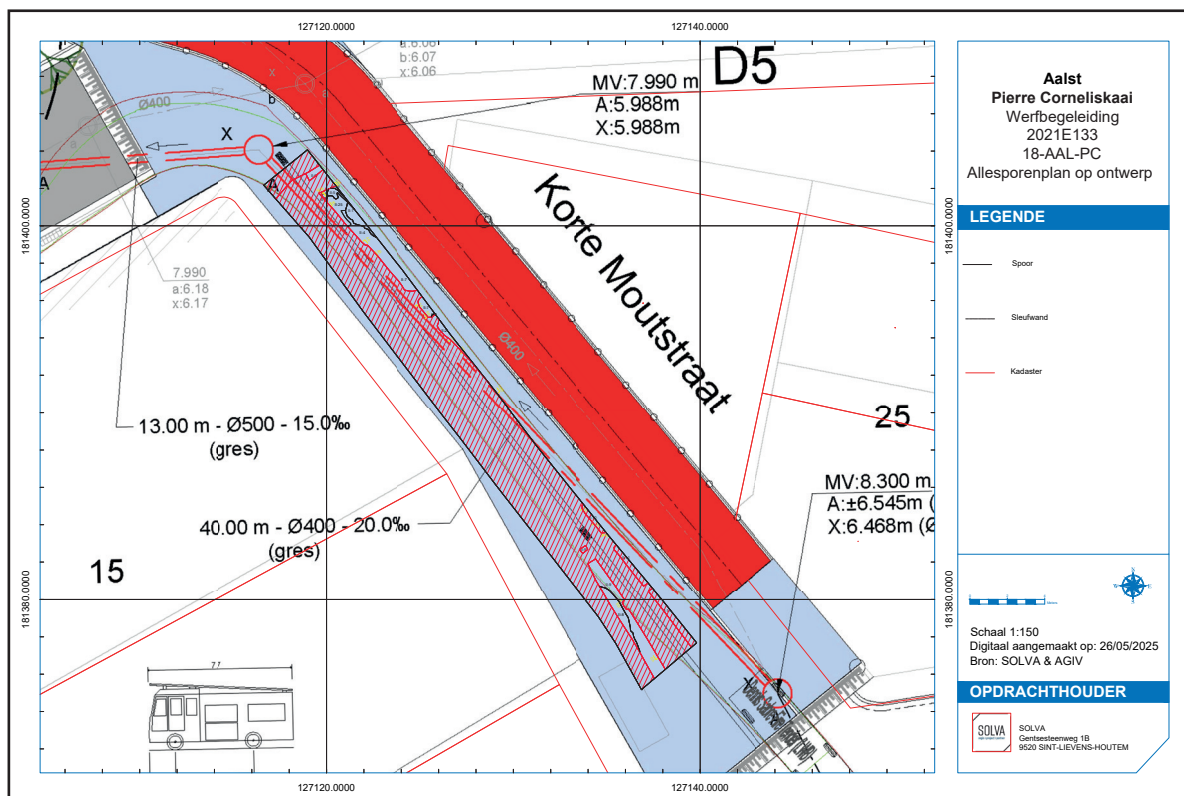


Fig. 5. Allsporenplan geprojecteerd op het ontwerpplan.

1.2. SAMENVATTING VAN HET ARCHEOLOGISCH VOORONDERZOEK EN DE RESULTATEN

Het stadsbestuur van Aalst wenst wegenis- en rioleringswerken uit te voeren ter hoogte van de Houtkaai en Korte Moutstraat in Aalst. Ter hoogte van de Korte Moutstraat zal eveneens de aanlanding van een fietsbrug aangelegd worden. Hiervoor is reeds een bureaustudie¹ uitgevoerd. Deze studie sloot aan op het bureauonderzoek² en proefsleuvenonderzoek³ die reeds in 2018-2019 gerealiseerd werden. De nieuwe bureaustudie werd opgemaakt naar aanleiding van een wijziging van de toenmalige ontwerpplannen.

De zone bevindt zich binnen een beschermde archeologische site of archeologische zone. Bovendien bedraagt de oppervlakte van het projectgebied meer dan 300 m² en de ingreep in de bodem meer dan 100 m². Derhalve diende in uitvoering van **art. 5.4.13°** van het Onroerend Erfgoeddecreet d.d.12 juli 2013, een archeologienota te worden opgesteld ten behoeve van het indienen van de **omgevingsvergunning voor stedenbouwkundige handelingen** voor de wegeniswerken. Er zijn voor dit dossier geen vrijstellingen van toepassing op bovenvermeld artikelnummer.⁴

De bodemingreep voor het volledige projectgebied houdt enerzijds de **heraanleg** van de bestrating en riolering in. De nieuwe wegenis (blauwe zone) zal op een plateau, dus verhoogd, aangelegd worden. Daarnaast zullen ook verschillende funderingselementen van de fietsbrug voor lokale bodemingrepen zorgen ter hoogte van de Houtkaai. Het merendeel van de geplande werken valt binnen het gabarit van de bestaande verstoring, en de nieuwe wegenis wordt in verhoging aangelegd. De voornaamste nieuwe verstoring zal plaatsvinden

1 De Smet, De Graeve & Cherretté 2020.

2 De Smet, De Maeyer & Cherretté 2018.

3 De Maeyer & De Graeve 2019.

4 Het uit te voeren archeologisch onderzoek valt onder de toepassing van het Onroerend Erfgoeddecreet van 12 juli 2013, het Besluit van de Vlaamse regering van 16 mei 2014 betreffende de uitvoering van het Onroerend Erfgoeddecreet, gewijzigd bij besluit van de Vlaamse regering van 4 december 2015 en de Code van Goede Praktijk voor de uitvoering van en de rapportering over archeologisch vooronderzoek en archeologische opgravingen en het gebruik van metaaldetectoren, versie 3.0 van 1 oktober 2018.

aan de noordwestelijke zijde van de Korte Moutstraat, waar zich momenteel nog geen nutsleidingen bevinden en waar een nieuwe DWA- leiding gepland is.

Op historisch vlak neemt het werkingsgebied een interessante plaats in. Het is gelegen binnen de historische kern van Aalst. Bovendien bevindt het projectgebied zich aan de laatmiddeleeuwse stadsomwalling en/of latere bastionnering, zoals de historische kaarten tot de 17e eeuw aantonen. Ter hoogte van de Korte Moutstraat stelt zich de mogelijkheid een deel van de oude stadsomwalling aan te snijden, indien deze bewaard zou zijn. Het potentieel situeert zich voornamelijk aan de noordwestelijke zijde van de Korte Moutstraat, waar zich momenteel geen nutsleidingen bevinden, maar waar wel een nieuwe DWA-leiding gepland wordt.

Op basis van de bureaustudie kan gesteld worden dat het projectgebied een zeker archeologisch potentieel heeft gelet op de ligging nabij de historische kern van de Aalst en de situering t.h.v. de laatmiddeleeuwse stadsomwalling en gracht. Dit **potentieel** situeert zich vooral ter hoogte van de **Korte Moutstraat**, de mogelijkheid bestaat een deel van de laat- en postmiddeleeuwse omwalling (wal/weermuur) aan te snijden.

In het eerder uitgevoerde proefsleuvenonderzoek door SOLVA ter hoogte van de Houtkaai werden aan de zuidzijde van het plein de resten van de recentste fase van de gracht van de stadsomwalling gevonden. De wal en eventuele weermuur zijn niet aangetroffen. Het toenmalige onderzoek situeert deze onder de gebouwen ten zuidoosten van het plein (zone Korte Moutstraat). Hier stelt zich dus de mogelijkheid om deze wal/weermuur in de ondergrond nog aan te snijden, wat mogelijkheden biedt om de laat- of postmiddeleeuwse omwalling op deze plaats in kaart te brengen en te dateren, zoals ook kon worden bekomen bij eerdere opgravingen aan het Vredeplein en het Keizersplein (linkeroever).

Deze vraagstelling is voor de geschiedenis en begrip van de stadsontwikkeling van middeleeuws Aalst bijzonder relevant, omdat onze (archeologische) kennis over dit middeleeuws stadsdeel momenteel zeer gering is. Op een lokaal niveau kan de eventuele archeologische informatie dus een bijdrage leveren aan de geschiedenis van Aalst.

Het is duidelijk dat de zone aan de zuidwestelijke kant van de Korte Moutstraat het meest archeologisch potentieel biedt. In deze zone kunnen relevante onderzoeksvragen gesteld en mogelijkerwijze ook nog beantwoord worden. Verder archeologisch onderzoek is dan ook aangewezen, in de vorm van **werfbegeleiding**.

1.3. DE ONDERZOEKSOPDRACHT

1.3.1. Vraagstelling

De potentiële onderzoeksvragen die opgesteld zijn in het programma van maatregelen focussen op algemeenheden over de te verwachten stadsversterking op de site, alsook eventuele sporen van bewoning:

- Zijn er antropogene sporen aanwezig?
- Op welke niveaus manifesteren deze zich?
- Maken de sporen deel uit van één of meerdere structuren? Stadsgracht en/of stadsomwalling?
- Behoren de sporen tot één of meerdere periodes? Laatmiddeleeuws? Postmiddeleeuws?
- Kan op basis van het sporenbestand in de proefsleuven een uitspraak worden gedaan over de aard en omvang van een occupatie?
- Kunnen archeologische vindplaatsen in tijd, ruimte en functie afgebakend worden?

- Wat is de vastgestelde en verwachte bewaringstoestand van de archeologische vindplaatsen?
- Wat is de waarde en het kennispotentieel van de vastgestelde archeologische vindplaatsen?

1.3.2. De randvoorwaarden

Zowel het veldwerk als de verwerking en rapportage dienen te voldoen aan de methodiek zoals beschreven in het hoofdstuk 19 (Werfbegeleiding) van de Code van Goede Praktijk 4.0.

1.3.3. Beschrijving geplande werken

De geplande werken aan de Houtkaai en Korte Moutstraat betreffen wegenis- en rioleringswerken, en de aanleg van de aanlanding voor een fietsbrug.

Ter hoogte van de **Houtkaai** zal een **DWA** (dia 400mm, 58m lang en dia 800mm, 24m lang) worden aangelegd die zal aansluiten op de bestaande collector onder het pleintje. De **RWA-riolering** (dia 1000mm, 63m lang) ter hoogte van de Houtkaai wordt reeds aangelegd en zal aansluiten op de nieuwe RWA-collector op de Pierre Corneliskaai. Ter hoogte van de **Korte Moutstraat** en een deel van de Houtkaai wordt een tweede **DWA-riolering** aangelegd (dia 400mm, 40m lang en dia 500mm, 24,5m lang). De wegenis wordt hierbij vernieuwd, waarbij de gehele blauwe zone (zie Figuur 6) wordt verhoogd. Ter hoogte van de grijze vlakken wordt de kws-verharding vernieuwd.

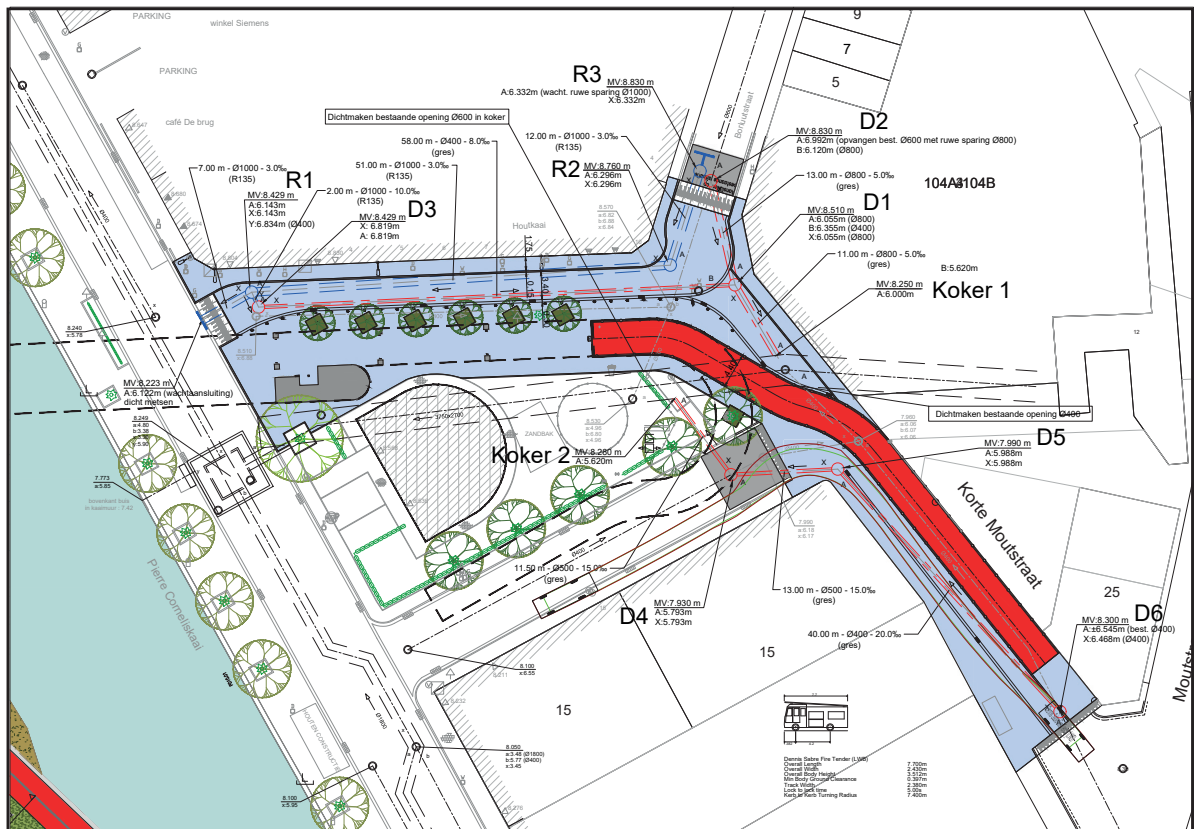


Fig. 6. Grondplan met de ontworpen toestand (bron: Stad Aalst).

Daarnaast zal ook een fietsbrug aangelegd worden over de Dender, vanop de Houtkaai naar het Jagerspad (Figuur 7 en Figuur 8). De inrichting van de ondersteuningselementen van de brug, bestaande uit twee platforms ondersteund met vier pijlers, één aan weerszijden van de Dender, en een kaaimuur werden reeds in een voorgaand dossier⁵ aangevraagd. Het plangebied besproken in dit dossier houdt de aanlanding van de brug in. Op de Houtkaai

⁵ Zie archeologienota 2018J70 (De Smet, De Maeyer & Cherreté 2018) en nota 2019B118 (De Maeyer & De Graeve 2019).

zal een gebouw geïnstalleerd worden onder de brug met een lift en trap (Figuur 10). De funderingen van deze structuur zal tot 2,1m diep gaan over een vlak van 3,88m x 3,71m met daarnaast nog twee funderingsbalken (0,6m x 5,66m) op 1,3m diepte. Bijkomend zullen vijf pijlers de aanlanding van de brug ondersteunen. Elke pijler vereist een fundering (1,7m x 1,7m x 1,7m) tot ca. 1,2m diepte. Ten slotte komt er een laatste ondersteuningselement waarvan de fundering (2,2m x 4,86m) ook tot op 1,2m diepte zal aangelegd worden. In tegenstelling tot de plannen voorgesteld in de archeologienota 'Pierre Corneliskaai'⁶, zal het fietspad na afdaling van de fietsbrug niet omdraaien richting het westen, maar zal het nu doorlopen naar de Korte Moutstraat (rode zone).

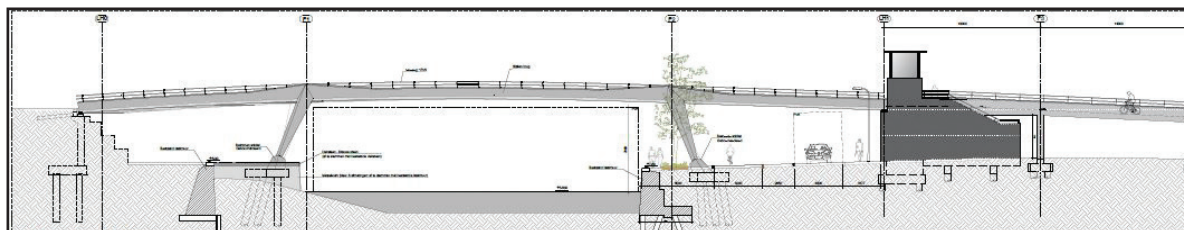


Fig. 7. Plan van de fietsbrug tussen het Jagerspad en de Pierre Corneliskaai (bron: Stad Aalst).

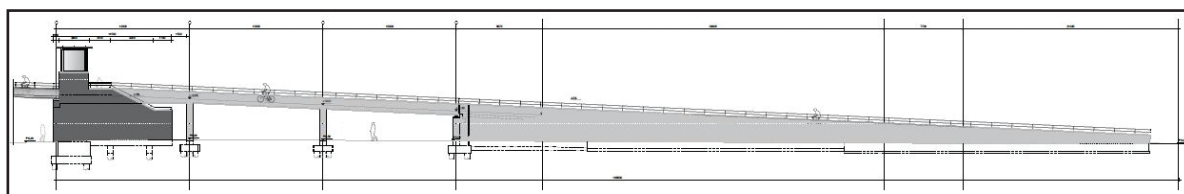


Fig. 8. Doorsnede van de aanlanding van de fietsbrug ter hoogte van de Houtkaai (bron: Stad Aalst).

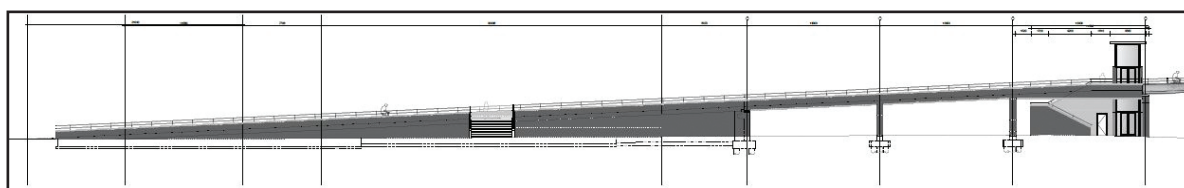


Fig. 9. Doorsnede van de aanlanding van de fietsbrug ter hoogte van de Houtkaai (bron: Stad Aalst).

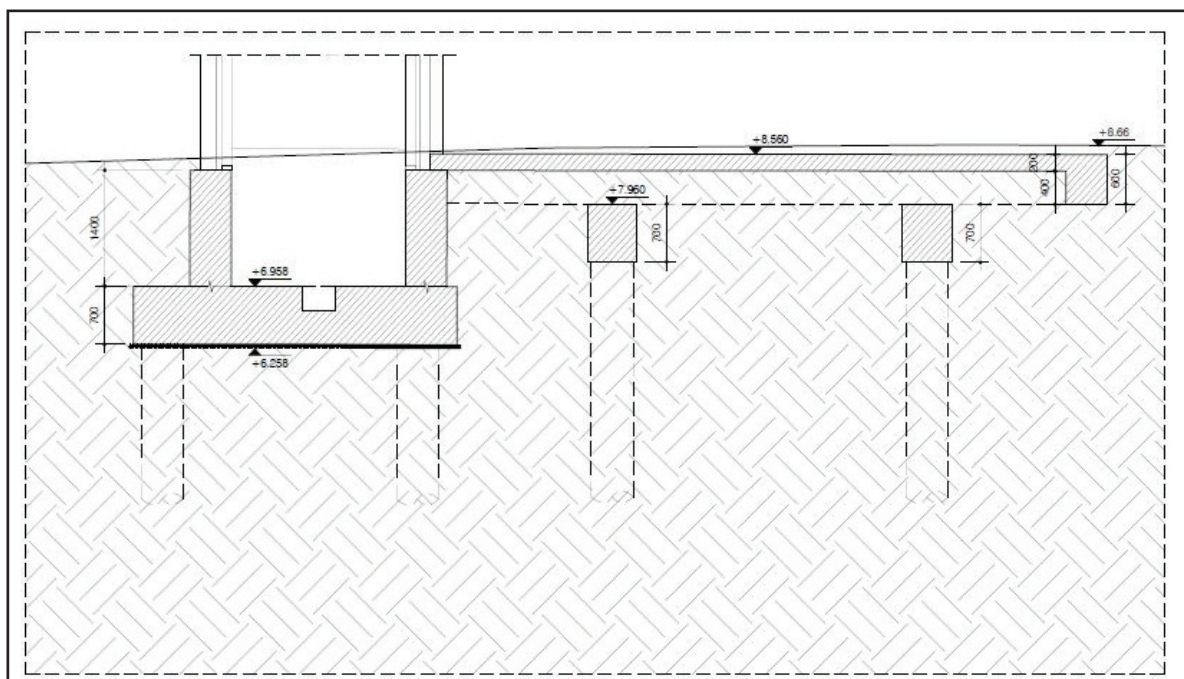


Fig. 10. Doorsnede van de funderingen van het liftgebouw ter hoogte van de Houtkaai (bron: Stad Aalst)

Uit het bovenstaande kan geconcludeerd worden dat de geplande werken slechts in beperkte mate en op lokaal niveau verdiepingen in de bodem zullen veroorzaken die buiten het gabarit van de huidige verstoring vallen. Het merendeel van de geplande werken valt binnen het gabarit van de bestaande verstoring, en de nieuwe wegenis wordt in verhoging aangelegd. De voornaamste nieuwe verstoring zal plaatsvinden aan de noordwestelijke zijde van de Korte Moutstraat, waar zich momenteel nog geen nutsleidingen bevinden en waar een nieuwe DWA-leiding gepland is.

1.4. WERKWIJZE EN STRATEGIE VAN DE OPGRAVING

1.4.1. Motivering van de onderzoeksstrategie, -methode en -technieken

1.4.1.1. Opgravingsstrategie

Uit de archeologienota blijkt dat de zone van de werfbegeleiding, ter hoogte van de Korte Moutstraat, een zeker archeologisch potentieel kent. De zone ligt immers nabij de historische kern van Aalst en omvat vermoedelijk de (post)midleleeuwse stadsomwalling en gracht.

Gezien er ter hoogte van de noordwestelijke helft van de Korte Moutstraat een nieuwe DWA-riolering (dia 400mm en 40m lang) gepland wordt, diende een werfbegeleiding te gebeuren van de westelijke kant van de straat. Het oostelijke deel werd niet meegenomen in de zone voor verder archeologisch onderzoek omdat deze reeds te zwaar verstoord is door de reeds bestaande nutsleidingen.

De registratie tijdens de werfbegeleiding is opgevat als een vlakdekkende opgraving in stedelijke context (= site met complexe stratigrafie). Na verwijdering van de bestaande asfalt en onderliggende steenslagfundering is door een graafmachine met platte bak onder begeleiding van de archeologen een eerste vlak aangelegd en opgeschoond. Een eerste evaluatie maakte duidelijk dat ook de zone van de werfbegeleiding zwaar verstoord is door oude nutsleidingen. Als voornaamste kunnen hier een oude gasleiding en een leiding van Interstoom⁷ genoemd worden. Beide liggen over de volledige, respectievelijk bijna volledige lengte van de werkput aan de westelijke zijde. Enkel aan de oostzijde van de werkput is een relatief onverstoorde strook aanwezig van ca. 30 tot 90cm breed.

Archeologisch relevante sporen zijn in een dusdanig smalle strook zeer moeilijk te interpreteren. De verdere opgravingsstrategie is daarom volledig toegespitst op het verkrijgen van zoveel mogelijk archeologisch relevante informatie uit het relatief onverstoorde profiel aan de oostzijde van de werkput. Om de smalle onverstoorde strook zoveel mogelijk te benutten is eerst ter hoogte van de oude gasleiding de verstoring met de hand uitgegraven tot tegen de onverstoorde grond. Het hiermee bekomen eerste profiel kon vervolgens gebruikt worden voor een beter begrip van de verticale stratigrafie van de site. Het was immers van belang om, bij het verder manueel afgraven van de onverstoorde grond tot tegen de rand van de werkput, de archeologische vondsten van in het begin zo nauwkeurig mogelijk aan de juiste lagen te koppelen.

Vanwege verschillende nutsleidingen die ook dwars over de werkput liggen, de beperkte breedte van de werkput en het relatief lage aantal vondsten is tevens besloten om verder niet met een kraan te verdiepen. Enkele diepere profielputjes zijn manueel gegraven. Vanwege de hoge grondwatertafel zijn voor het onderzoek van de diepere lagen een 7-tal manuele boringen geplaatst.

1.4.1.2. Methoden en technieken

De afgraving van het vlak gebeurde door de firma De Jonge met een rupskraan van 15ton met platte bak. Deze afgraving gebeurde steeds onder begeleiding van de archeologen

⁷In Aalst werd in de 2de helft van de vorige eeuw door Interstoom een verwarmingsnet op basis van stoom uitgebouwd.

van SOLVA. De afgegraven grond werd afgevoerd. Na het afgraven zijn alle structuren opgeschoond, gefotografeerd en digitaal opgemeten met een RTS. Elk spoor kreeg een individueel spoornummer met een daaraan gekoppeld uniek volgnummer voor de vondsten. Aanvullend op de vlakregistratie zijn verschillende profielen, boringen en twee coupes gezet om inzicht te krijgen in de aard en chronologie van de pakketten. Het gebruik van gestandaardiseerde fiches en een gestandaardiseerde nummering van de sporen en de lagen in een spoor – en alles wat daarmee samenhangt (foto's, plannen, vondsten...) – heeft niet alleen te maken met het stroomlijnen van de registratie op het veld, maar ook met de verwerking van deze gegevens tijdens de rapportage. De dienst archeologie van SOLVA heeft in de loop van 2009 de ontwikkeling van een databank geïnitieerd. Haar doel is zowel het kunnen invoeren en opslaan, als raadplegen en beheren van alle gegevens – velddata en externe informatie – in één systeem. Daarenboven is het de opzet om met de databank overzichtelijke lijsten te kunnen genereren, die als bijlagen kunnen dienen in de rapporten. De absolute basis van de databank, de kleinste atomaire eenheid als het ware, is het spoor. Dit valt uiteen in negen types: 'laag', 'muur', 'vloer', 'skelet', 'hout', 'vondst', 'vertical feature interface' of 'VFI', 'horizontal feature interface' of 'HFI' en 'boring'. Voor elk type spoor bestaat één gestandaardiseerde fiche in de databank. Aan deze kleinste eenheid wordt alles gekoppeld: plannen, tekeningen, foto's én vondsten. Bovendien worden op dit niveau de eerste relaties gelegd tussen de sporen onderling: een spoor 'is recenter', 'is ouder', 'gelijktijdig met' of 'hetzelfde als' een ander spoor.

Op een tweede niveau in de databank staan de spoorcombinaties. Deze groeperen één of meerdere sporen. Elke spoorcombinatie krijgt een individueel nummer, namelijk het nummer van het eerste spoor dat tot deze spoorcombinatie behoort. Het is evenwel niet zo dat elk spoor noodzakelijk deel uitmaakt van een spoorcombinatie. Verstoringen en 'negatieve sporen', sporen die na couperen geen of een natuurlijk spoor blijken te zijn, worden niet tot het niveau van een spoorcombinatie gebracht, maar bestaan enkel tot op het spoorniveau. De plannen, tekeningen, foto's en vondsten die gekoppeld zijn aan een spoor worden door de databank automatisch verbonden aan de spoorcombinatie waartoe ze behoren. Vanuit dit niveau kan men dus makkelijk navigeren in de verschillende sporen van die spoorcombinatie en waaraan de vondsten, plannen, tekeningen en foto's verbonden zijn. Op dit niveau laat de databank eveneens toe chronologische/stratigrafische relaties te leggen tussen de spoorcombinaties onderling. Het derde niveau in de databank bevat de structuren. Structuren groeperen op hun beurt één of meerdere spoorcombinaties. Ook zij krijgen een individueel nummer, met name het eerste spoorcombinatienummer dat tot deze structuur behoort. Indien bijvoorbeeld een gebouwplattegrond (structuurniveau) is vastgesteld, bestaande uit verschillende paalsporen (spoorcombinatieniveau), dan zal deze gebouwplattegrond het nummer dragen van een spoorcombinatie (een paalspoor) die deel uitmaakt van deze structuur. Elk paalspoor (spoorcombinatieniveau) kan op zijn beurt bestaan uit een paalkern (spoorniveau) en een insteek (spoorniveau). Opnieuw is het zo dat niet elke spoorcombinatie tot een structuur hoeft te behoren. De databank groepeert onder een structuur telkens de plannen, tekeningen, foto's en vondsten die gekoppeld zijn aan de spoorcombinaties die deel uitmaken van de structuur. Opnieuw is vanuit het structuurniveau gemakkelijk te navigeren tussen de verschillende spoorcombinaties die ertoe behoren en zo, verder afdalend, uiteindelijk tussen de verschillende sporen. Op dit niveau kunnen eveneens chronologische/stratigrafische relaties gelegd worden tussen structuren. Wat de vondsten en de staalnames betreft, wensen we mee te geven dat de databank een uitgebreide mogelijkheid tot determinatie, datering en assessment voorziet. Dit gebeurt zoals vermeld op het spoorniveau. Hieraan zijn de verschillende vondst- en staalnummers van de vondsten gekoppeld. Bij het ingeven van de vondsten wordt 'automatisch' een datering gegenereerd, maar deze kan manueel overschreven worden. Dit geldt op spoor-, spoorcombinatie- en

structuurniveau. De databank laat eveneens toe de vondstgegevens te bevragen en te exporteren naar Excel. Bovendien kan voor elke vondst een logboek van de verschillende behandelingen aangemaakt worden. De databank bevat tot slot alle relevante documenten met betrekking tot een project in een map 'bijlagen': rapporten, plannen, overzichtsfoto's, rapporten natuurwetenschappelijk onderzoek, totaalplan...

1.4.2. Beschrijving van de organisatie van de opgraving

De werfbegeleiding vond plaats tussen 01-06-2021 en 08-06-2021. Katleen Couchez en Erik Verbeke waren de archeologen op het terrein. Inhoudelijke keuzes en afwegingen werden door hen gemaakt in samenspraak met Wouter De Maeyer. Voor het manueel graafwerk, de boringen en het opkuisen van het vlak werden zij bijgestaan door de technisch assistenten Wahid Khogyani, Harry Bonnarens, Khalid Zammani, Kevin Strube en Wim Vanrolleghem.

1.4.3. Beschrijving van het gebruikte materiaal

Het vlak (GPL A) is aangelegd met een rupskraan van 15ton met platte bak. De sporen zijn na het afgraven onmiddellijk manueel opgeschoond, gefotografeerd met een fotobordje (met projectcode 18-AAL-PC/2021E133), beschreven in de SOLVA-Archeologiedatabank en topografisch ingemeten met een RTS.

De boringen zijn uitgevoerd met een Edelmanboor dia 7cm, een gutsboor of een combinatie van de twee.

Alle vondsten kregen een uniek identificatienummer (= inventarisnummer). Bij de verwerking van de opgravingsgegevens worden alle spoorbeschrijvingen, plannen, foto's, vondstbeschrijvingen en –behandelingen ingevoerd in de SOLVA-Archeologiedatabank.

Na de veldregistratie zijn alle vondsten gewassen, gedroogd, geteld en ingevoerd in de SOLVA-Archeologiedatabank. De terreinfoto's zijn uitgeselecteerd en opgeladen in de SOLVA-Archeologiedatabank. Alle gegevens werden hierna samengebundeld in het voorliggende eindrapport.

1.4.4. Beschrijving en motivering van eventuele afwijkende methodiek en van eventuele bijstellingen van de oorspronkelijke strategie

De werfbegeleiding is uitgevoerd conform het programma van maatregelen van archeologienota 2020H7. De enige afwijking op het programma is de verkleining van de werkput in het noordwesten en zuidwesten. Hier liep het oorspronkelijke projectgebied tot over het voetpad. Het opbreken van het voetpad zou geen meerwaarde geleverd hebben voor het onderzoek, daar er zich nog verschillende actieve nutsleidingen onder bevinden.

1.4.5. Motivatie van de keuze ten aanzien van de selectie van vondsten

Er werd geen selectie gemaakt wat betreft de vondsten: alle vondsten werden ingezameld.

1.4.6. Motivatie van de keuze ten aanzien van de staalname

Wanneer aanwezig en relevant voor de vraagstelling zijn er uit verschillende lagen stalen genomen van het hout- en/of houtskool voor 14C-datering. Uit enkele lagen geconcentreerd organisch materiaal zijn zeefstalen en stalen voor zaden en vruchten genomen. Uit de bovenste volledig gereduceerde lagen waar schelpresten in voorkwamen zijn stalen voor malacologie genomen. De zeefstalen, stalen voor zaden en vruchten en de stalen voor malacologie zijn aangeduid op de profieltekeningen.

De stalen kunnen gebruikt worden voor het bekomen van enerzijds absolute dateringen en anderzijds voor een reconstructie van het toenmalige landschap en/of leefmilieu.

Voor de beantwoording van de huidige onderzoeksvragen bleek het niet nodig te zijn om deze stalen effectief verder te laten onderzoeken. Ze kunnen echter nog ingezet worden bij eventueel toekomstig onderzoek met nieuwe onderzoeksvragen.

1.4.7. Tekstuele omschrijving van de inbreng van specialisten

Niet van toepassing.

1.4.8. Tekstuele omschrijving van de algemene wetenschappelijke advisering door personen die buiten het project stonden

Niet van toepassing.

02 | ASSESSMENTRAPPORT





2. ASSESSMENTRAPPORT

2.1. BESCHRIJVING VAN DE OBSERVATIES EN REGISTRATIES UIT HET ASSESSMENT

2.1.1. Assessment van vondsten

Het assessment van de vondsten gebeurt op contextniveau en is terug te vinden in de lijsten in bijlage.

2.1.2. Assessment van stalen

Er zijn stalen genomen voor ¹⁴C-datering, zeefstalen, stalen voor zaden en vruchten en stalen voor malacologie. De volledige lijst van de genomen stalen is te vinden in de bijlagen.

2.1.3. Conservatie-assessment

Niet van toepassing.

2.1.4. Assessment van sporen, spoorcombinaties, archeologische structuren en archeologische site

Tijdens de werfbegeleiding zijn er in totaal 81 individuele sporen geregistreerd. Deze zijn allen beschreven in Zone II.⁸ Na interpretatie zijn ze ondergebracht in 20 contexten (= spoorcombinaties).

Een groot deel van de sporen is als alluviale laag te interpreteren en in wezen niet antropogeen. Daarnaast zijn de meeste antropogene sporen eveneens als laag te interpreteren. Zo zijn er bij de verlanding van het terrein wellicht afzonderlijke loopniveaus waar te nemen, al of niet geassocieerd met een vegetatiehorizont. Nadien zijn er ook verschillende ophogingslagen te identificeren. Het gaat dan bijvoorbeeld om ophogingslagen in een poging het terrein droger te maken.

Een speciale laag is de onderkant van een wallichaam dat zich wellicht nog in situ bevindt. Van dit wallichaam en de muur die er ooit op gestaan heeft zijn afbraakresten aangetroffen in een kuil. Er is daarnaast slechts één andere kuil geregistreerd. Wel is er nog een insteek van een bakstenen riool opgetekend en ten slotte ook een oud wegniveau van een kasseibaan.

2.2. TEKSTUELE BESCHRIJVING VAN HET POTENTIEEL VOOR WETENSCHAPPELIJK ONDERZOEK EN DE AARD DAARVAN, MET WAARDERING

Het onderzochte gebied is relatief klein. Bovendien is een zeer groot deel van werkput verstoord door nutsleidingen. De grootste toename van kennis zal dan ook voortkomen uit de geregistreerde contexten in de profielen. In het bijzonder door de absolute en relatieve chronologie te combineren met historisch kaartmateriaal. In dat opzicht zijn de vondsten van belang voor de datering van de contexten.

De studie van deze profielen in vergelijking met de historische gegevens is bijzonder relevant voor het begrip van de historische stadsontwikkeling van Aalst. Onze (archeologische) kennis over dit stadsdeel is momenteel immers zeer gering. Op een lokaal niveau kan dit, ondanks de beperkte omvang van het onderzoek, toch een significante bijdrage leveren aan het onderzoek van de geschiedenis van Aalst.

Ook op regionaal niveau kunnen deze resultaten bijdragen om tot een groter inzicht te komen van de ontwikkeling van kleinere stedelijke kernen aan de oostelijke grens van het graafschap Vlaanderen.

⁸ Zone I is gebruikt voor de sporen uit het eerder uitgevoerde proefsleuvenonderzoek. Zie ook hoofdstuk 1.2 en voetnoot 23.

2.3. TEKSTUELE BESCHRIJVING VAN HET UIT TE VOEREN ONDERZOEK

2.3.1. Te beantwoorden onderzoeksvragen

- Zijn er antropogene sporen aanwezig?
- Op welke niveaus manifesteren deze zich?
- Maken de sporen deel uit van één of meerdere structuren? Stadsgracht en/of stadsomwalling?
- Behoren de sporen tot één of meerdere periodes? Laatmiddeleeuws? Postmiddeleeuws?
- Kan op basis van het sporenbestand in de proefsleuven een uitspraak worden gedaan over de aard en omvang van een occupatie?
- Kunnen archeologische vindplaatsen in tijd, ruimte en functie afgebakend worden?
- Wat is de vastgestelde en verwachte bewaringstoestand van de archeologische vindplaatsen?
- Wat is de waarde en het kennispotentieel van de vastgestelde archeologische vindplaatsen?

2.3.2. Strategie voor de verwerking

De verzamelde terreingegevens zullen verder verwerkt worden in de Archeologiedatabank van SOLVA. Nadien zullen deze gegevens door Erik Verbeke en Wouter De Maeyer geconfronteerd worden met de verschillende historische bronnen. De datering van de site wordt opgesteld op basis van het aardewerk. Tot slot volgt een interpretatie in functie van de vraagstelling.

Voor de beantwoording van de huidige onderzoeksvragen was het niet noodzakelijk om de natuurwetenschappelijke stalen verder te laten onderzoeken. De stalen blijven evenwel bewaard voor eventueel toekomstig onderzoek.

2.3.3. Conservatiestrategie

Het aardewerk, bouwmetaal en botmateriaal is gewassen, gedroogd en gedetermineerd en wordt conform de vigerende normen bewaard in het erkende archeologiedepot van SOLVA. Er is voor deze materiaalsoorten geen bijkomende noodzaak tot conservatie. De metaalvondsten worden in een zuurstofarme omgeving op een gestabiliseerde manier bewaard, zodat ze beschermd zijn voor verdere desintegratie. Er werden geen organische vondsten verzameld die een bijzondere conservatiestrategie vragen.

2.3.4. Onderzoeksvragen voor vervolgonderzoek

- Is het mogelijk om het chronologisch framework nog fijner te stellen door bijvoorbeeld gebruik te maken van 14C-dateringen?
- Kan verder natuurwetenschappelijk onderzoek van de zeefstalen, de macro-botanische stalen en de stalen voor malacologie informatie opleveren over het toenmalige landschap, landgebruik en/of leefmilieu?
- Kan de datering van de verschillende fasen in de ontwikkeling van dit stadsdeel nog verder verfijnd worden met een meer doorgedreven historisch onderzoek?
- Kunnen de vastgestelde archeologische relicten gebruikt worden voor een herevaluatie van de historische kaarten? Zijn er kaarten die uitzonderlijk accuraat blijken te zijn of net niet? Gaat het in dat laatste geval om een uitzonderlijke “fout” op deze kaart(en) of zijn er op basis van andere archeologische onderzoeken nog meer “fouten” vastgesteld?

03 | INTERPRETATIE VAN DE ARCHEOLOGISCHE SITE





SEPS

Devil deal

SOLLY
Dienstverlening

3. INTERPRETATIE VAN DE ARCHEOLOGISCHE SITE

3.1. BESCHRIJVING VAN HET KADER VAN DE ARCHEOLOGISCHE SITE

Aalst is gesitueerd in het oosten van de provincie Oost-Vlaanderen, in de Dendervallei. De historische binnenstad is grotendeels te situeren op de linkeroever van de Dender. Dit gebied behoort tot de ecoregio van de Midden-Vlaamse overgangsgebieden, meer bepaald het Midden-Vlaams glooiend zandleemdistrict. De overgang van dit zandleemdistrict naar het Zuid-Vlaamse lemig heuveldistrict situeert zich ter hoogte van Aalst.

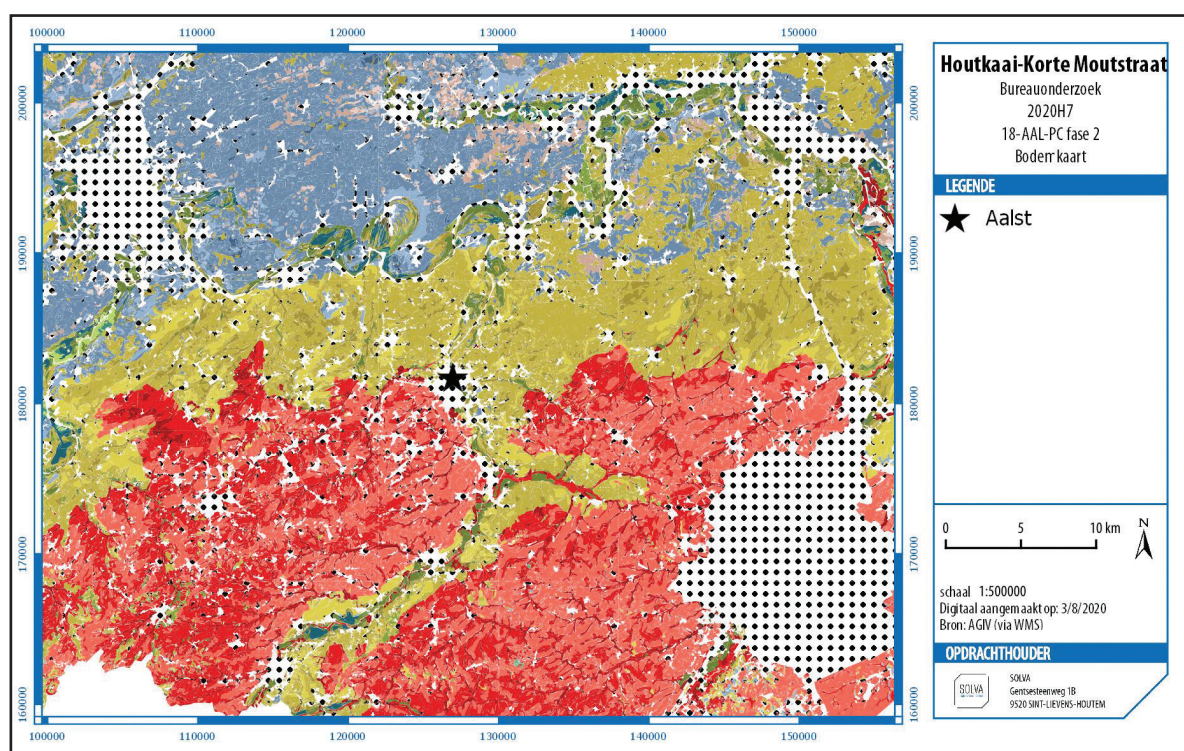


Fig. 11. Bodemkaart (algemeen) met aanduiding van Aalst (bron: AGIV; digitaal aangemaakt op 3/8/2020)

Het projectgebied situeert zich in het noorden van Aalst, ten oosten langs de Dender. Het projectgebied valt volgens het gewestplan deels in woongebied en deels in gebieden voor ambachtelijke bedrijven en de gebieden voor kleine en middelgrote ondernemingen.



Fig. 12. Gewestplan met aanduiding van het projectgebied (bron: AGIV; digitaal aangemaakt op 28/11/2024).

3.1.1. Beschrijving van de landschappelijke ligging

ALGEMENE GEOLOGISCHE EN GEOMORFOLOGISCHE SCHETS VAN DE REGIO⁹

De Dendervallei waarbinnen het projectgebied is gesitueerd, is gelegen in het zogenaamde Midden-Vlaams glooiend zandleemdistrict. Het district bestaat uit een weinig tot matig geaccidenteerd Tertiair glooiend landschap waarop voornamelijk zandlemige eolische gronden werden afgezet. Het district bevindt zich in Midden-Vlaanderen.

Het district vormt in feite een overgangszone tussen het 'Pleistoceen riviervalleiendistrict' (Vlaamse vallei) in het noorden en het 'Zuid-Vlaams lemig heuveldistrict' in het zuiden. In principe zijn dergelijke gebieden soort- en gradiëntrijk, waarbij naast de typische ecosystemen van zandige en lemige gebieden ook allerlei soorten voorkomen die aan gradiënten gebonden zijn. Het is een bijna open kouterlandschap met nat bos en weiden in de depressies. In principe zou het ecodistrict nog verder in drie subgebieden onderverdeeld kunnen worden: een vlak nat zandleemgebied vooral in het noordelijke deel van het district, een droog zandleemgebied voornamelijk in het centrale gedeelte en een golvend zandleemgebied met sterke invloed van de Tertiaire ondergrond vooral in het zuidelijk deel. Deze subgebieden duiden nog maar eens op het feit dat het district eerder als een overgangsgebied te beschouwen is.

Tertiair

Tijdens het Tertiair werden mariene zand- en kleilagen afgezet, achtereenvolgens de Formatie van Kortrijk, Formatie van Tielt, Formatie van Gent, Formatie van Lede en Formatie van Maldegem. Na daling van de zeespiegel werden deze sedimenten in het Pleistoceen (Quartair) door erosie aangetast, en dan voornamelijk de zandige formaties. De kleiige lagen boden meer weerstand aan de erosie en vormden de heuveltoppen van het Tertiair reliëf. Het resultaat is een vrij sterk golvend en versneden tertiair oppervlak met een lichte daling naar het noorden toe.

⁹We baseren ons voor deze beschrijving op de definitie en karakterisering van de ecodistricten in Vlaanderen. In het concept 'ecodistrict' worden diverse geologische, geomorfologische, bodemkundige, hydrografische en historisch-geografische aspecten, die ook een determinerende invloed hebben gehad op het menselijk handelen in het verleden, in relatie tot elkaar besproken: Sevenant *et al.* 2002.

Het Tertiaire substraat bestaat in het oostelijke deel overwegend uit klei (leden uit de Formatie van Maldegem), terwijl het westelijke deel meer zandig is, met plaatselijk (kleiige) heuveltoppen. Dit weerspiegelt zich sterk in het huidige landschap (reliëf, waterhuishouding). Tijdens het Weichselglaciaal werd het Tertiaire landschap grotendeels afgedekt met een Quartaire voornamelijk niveo-eolische dekmantel. Dit pakket bezit een dikte van 0 tot 10m. De variatie in dikte wordt verklaard door topografie en de overheersende westenwind-richting tijdens de afzettingen. Het eolisch materiaal is het dikst in de depressies en op zwakke, naar het oosten gerichte hellingen (5 tot 10m). Op de ruggen bedraagt het nog 1 à 2 m, terwijl het op de heuveltoppen dikwijls ontbreekt.

Quartair

De Quartaire afzettingen werden in verschillende perioden tijdens het Weichselglaciaal afgezet. Het materiaal, dat tijdens de eerste twee fasen sedimenteerde, werd in de nabijheid van de Tertiaire verhevenheden vaak weggeërodeerd. In het begin van de derde fase werd ten gevolge van afspoeling en afglijding vaak Tertiair, vooral zandig materiaal, verplaatst en vermengd met de niveo-eolische sedimenten. Dit verspoelde materiaal komt voor in de ondergrond van de meeste zandleemprofielen en is van groot belang voor de bodemgesteldheid, inclusief de waterhuishouding van de gronden. Op het einde van het Tardiglaciaal werden langs de Dender (Wieze-Denderbelle) duinruggen afgezet door verwaaing van lokale voornamelijk licht zandleem sedimenten. Tijdens het Holoceen werd alluvium in de valleien afgezet en in recente tijden traden nieuwe verstuiwingen en afzettingen op ten gevolge van ontbossingen.

Geomorfologie

Hoewel de Quartaire afzettingen een verzachting van het Tertiaire landschap teweegbrachten, is het reliëf in hoofdzaak als een erosiereliëf te beschouwen. Het reliëf wordt in dit zandlemig gebied nog beïnvloed door het onderliggende Tertiaire substraat. Vooral in het zuidelijke deel (aansluitend op het 'Zuid-Vlaams lemig heuveldistrict') is deze invloed nog vrij duidelijk aanwezig. Het Tertiair geaccidenteed landschap in het noordelijk gedeelte is vrijwel geheel genivelleerd door de Quartaire niveo-eolische dekmantel die tijdens het Weichselglaciaal werd afgezet.

Bodem

De Pleistocene sedimenten zijn de voornaamste bodemvormende bestanddelen in het district. Het zandige lössleem, dat in dit gebied afgezet werd tijdens de laatste ijstijd, wordt op een lager reliëfniveau aangetroffen dan de zuivere lössafzettingen (afgezet in de zuidelijk gelegen districten). Het bezit soms een sterk variërende textuur indien het tijdens zijn afzetting vermengd werd met verspoeld Tertiair zand. Niet tot zwak gleyige bodems met een textuur B-horizont (grijsbruine podsolachtige bodems) bevinden zich eerder in het zuiden van het district. Deze bodems werden gevormd onder een gemengd loofbos en zijn typisch voor zandleem- en leemgebieden. Doorgaans vertonen deze gronden een normale waterhuishouding. Elders overwegen gronden met een sterk gevlekte of verbrokkelde textuur B-horizont. Het betreft gedegradeerde grijsbruine podsolachtige bodems, die onder andere ontstaan zijn door het in cultuur brengen van gronden (en dus het rooien van de natuurlijke bosvegetatie). De zandleemgronden zijn niet tot matig gleyige gronden. Op de Tertiaire opduikingen komen niet tot sterk gleyige gronden voor met een niet bepaalde profielontwikkeling. De beekvalleien worden gevormd door hydromorfe alluviale gronden.

De textuur van de meeste zandleemgronden wordt lichter (zandiger) naarmate ze dieper liggen of gaan over tot verspoeld, kleiig, Tertiair materiaal. In het zandleemgebied, waar het Quartaire dek vaak op matige diepte op een zandig-lemig complex rust, hebben vele gronden

een gebrekkige waterhuishouding, te wijten aan de langzame oppervlakkige drainering en aan een tijdelijk opgehouden watertafel. Deze watertafel wordt plaatselijk gevormd op een weinig doorlatende (Tertiaire) laag (indien deze op minder dan 2-3 m diepte voorkomt). Op andere heuvels (bijvoorbeeld de heuvel ter hoogte van Lede), waar een sterk doorlatende Tertiaire ondergrond voorkomt (Tertiair zand), liggen goed ontwaterde gronden.

HET PROJECTGEBIED

De **Quartairgeologische profieltypekaart** karakteriseert het projectgebied als **Holocene en/ of Tardiglaciale afzettingen boven de Pleistocene sequentie** (type 3a).

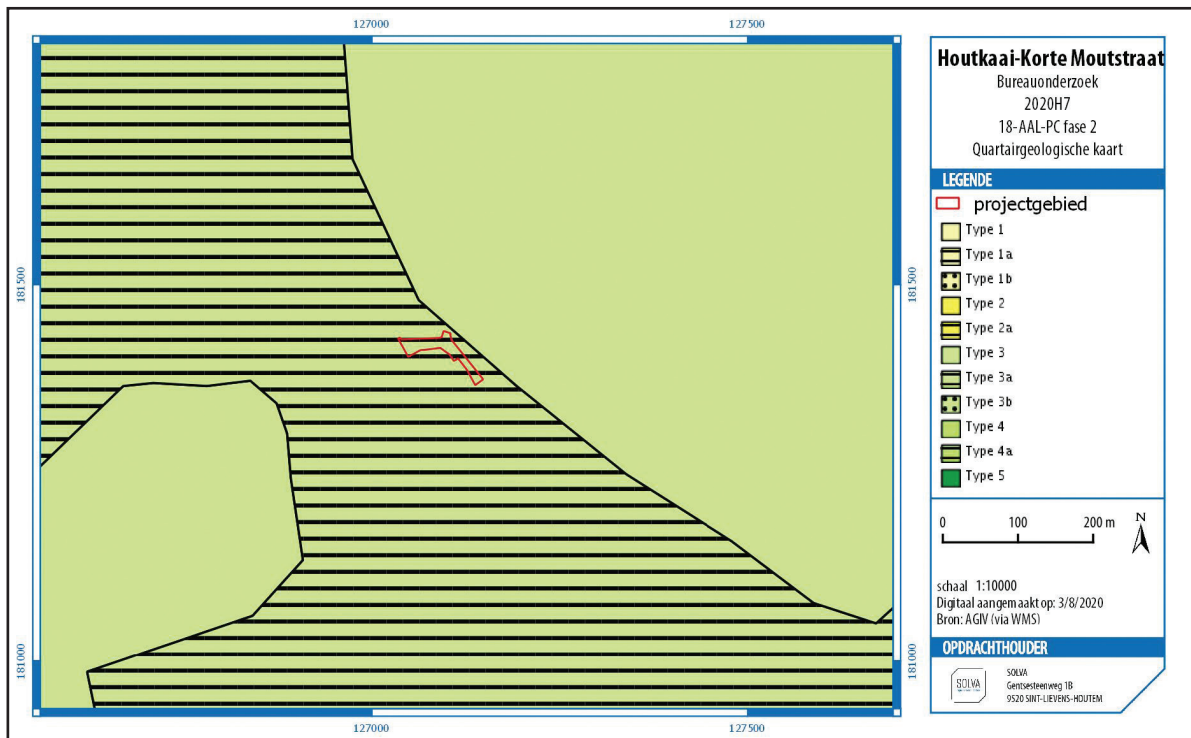


Fig. 13. Quartairgeologische kaart met aanduiding van het projectgebied (bron: AGIV; digitaal aangemaakt op 3/8/2020).

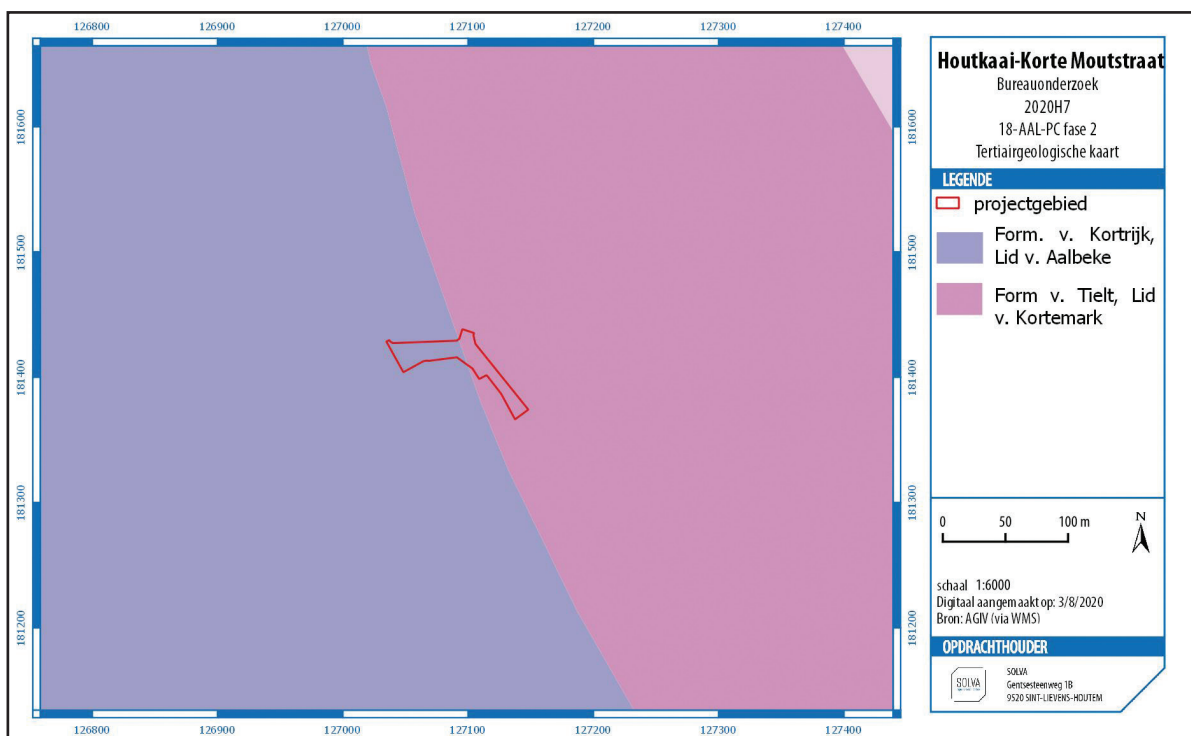


Fig. 14. Tertiairgeologische kaart met aanduiding van het projectgebied (bron: AGIV; digitaal aangemaakt op 3/8/2020).

INTERPRETATIE VAN DE ARCHEOLOGISCHE SITE

Op de **Tertiairgeologische profieltypekaart** is te zien dat het projectgebied deels gelegen is op de Formatie van Kortrijk, meer bepaald het Lid van Aalbeke, en in het noordoosten ook op de Formatie van Tielt, meer bepaald op het Lid van Kortemark.

Voor het gebied is **geen geomorfologische kaart** beschikbaar.

3.1.1.1. Fysisch-geografische situering

De stad Aalst is gelegen op de flank van de Dendervallei. Op het **hoogtemodel** is te zien hoe het projectgebied volledig binnen het laaggelegen valleigebied valt.

Het projectgebied zelf is **vrij effen** met hoogtes schommelend tussen +5m en +15 m TAW.

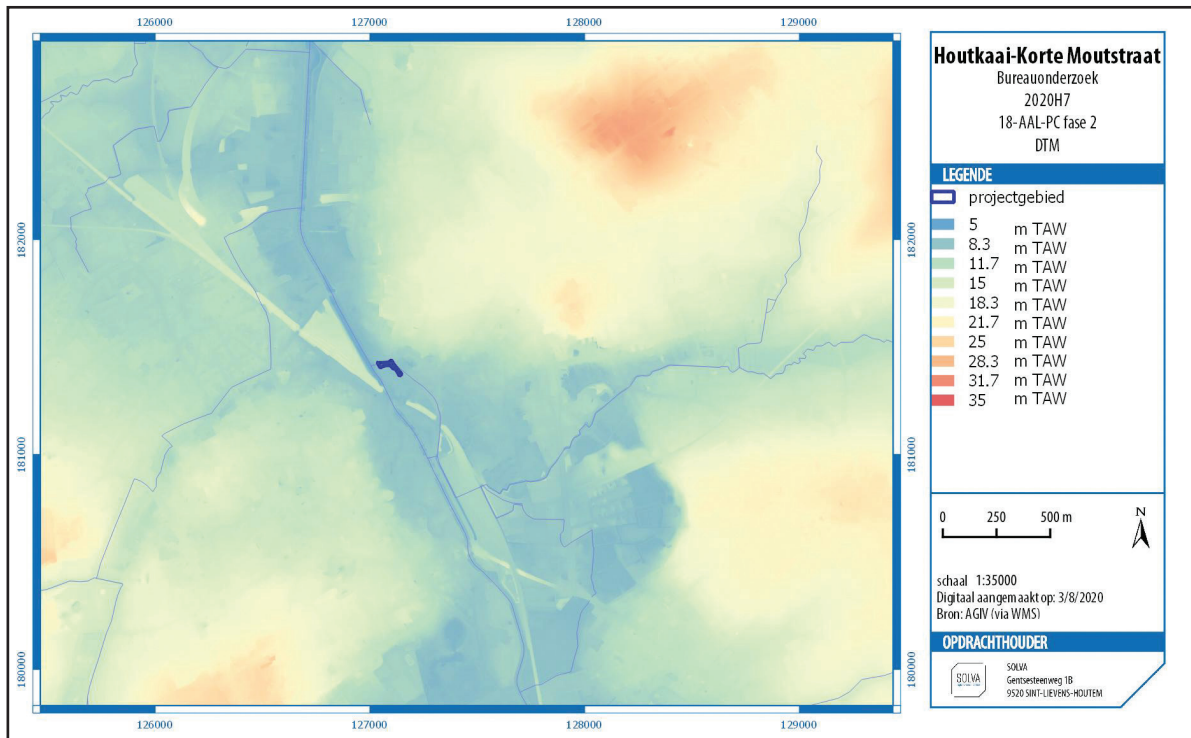


Fig. 15. Digitaal terreinmodel met aanduiding van het projectgebied (bron: AGIV; digitaal aangemaakt op 3/8/2020).

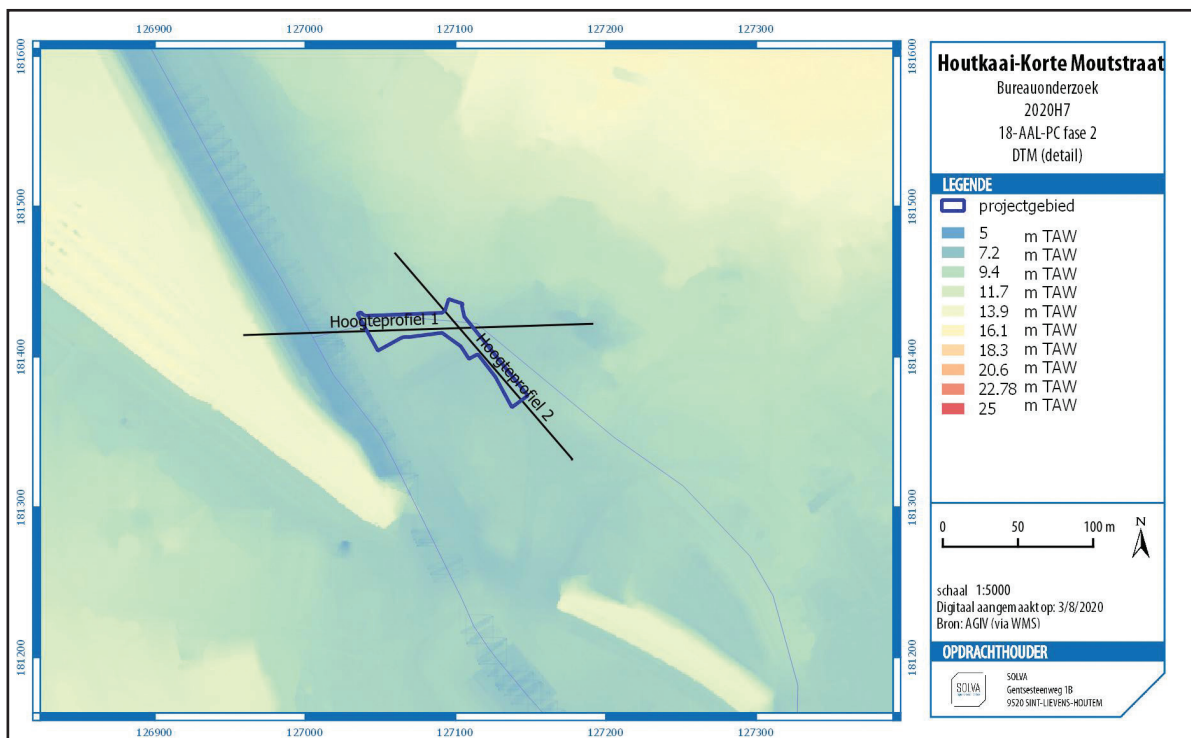


Fig. 16. Digitaal terreinmodel met aanduiding van het projectgebied en hoogteprofielen (bron: AGIV; digitaal aangemaakt op 3/8/2020).

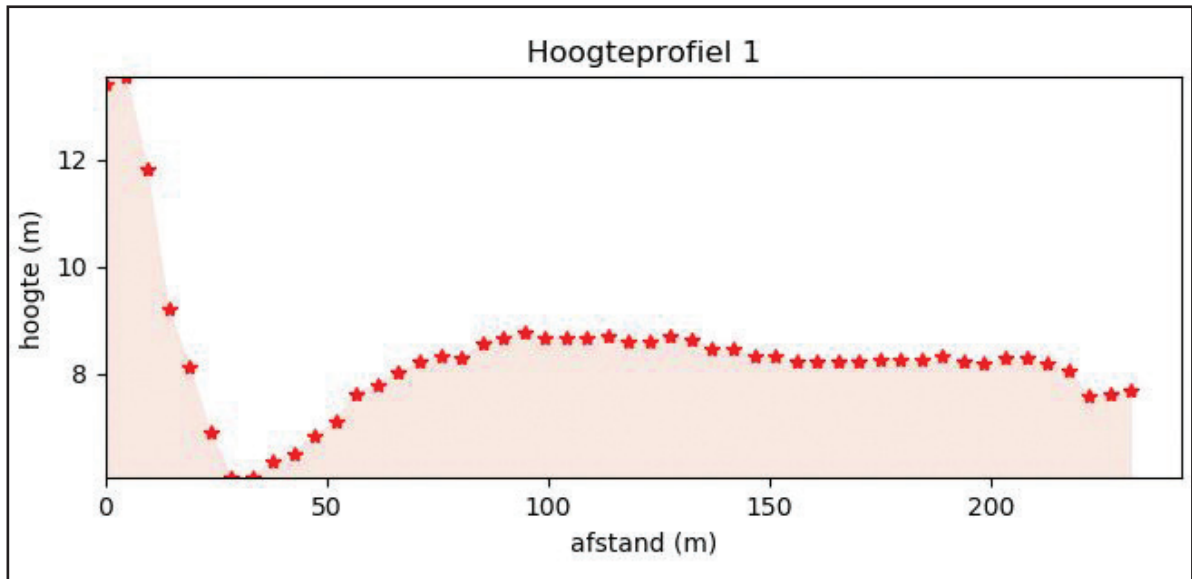


Fig. 17. Weergave van hoogteprofiel 1 (bron: SOLVA).

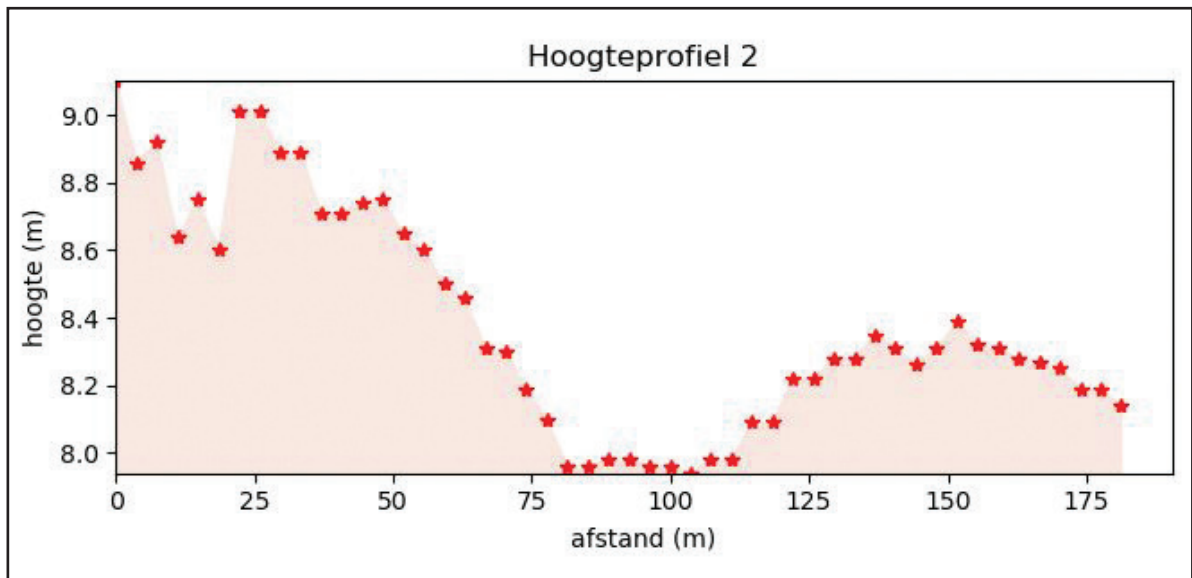


Fig. 18. Weergave van hoogteprofiel 2 (bron: SOLVA).

De **potentiële bodemerosiekaart** toont voor het projectgebied geen waarden, maar voor de percelen in de wijde omgeving van het projectgebied worden grotendeels lage, zeer lage en verwaarloosbare erosie aangeduid.

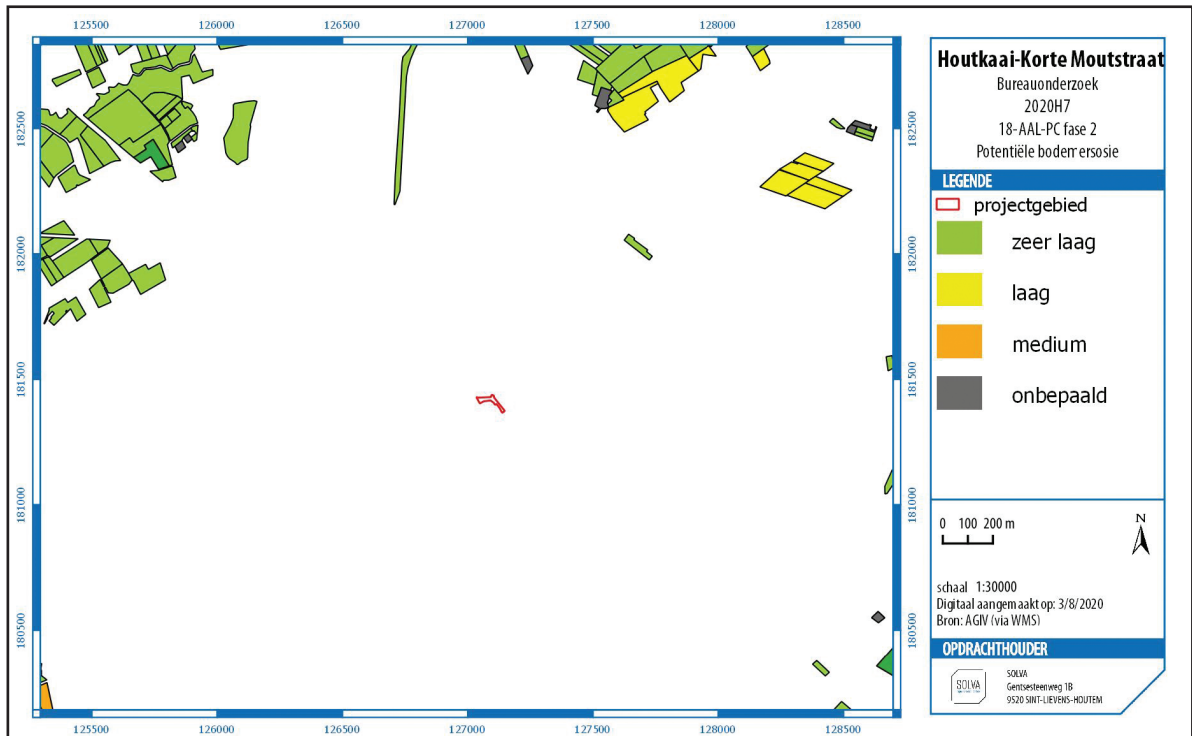


Fig. 19. Potentiële bodemerosiekaart met aanduiding van het projectgebied (bron: AGIV; digitaal aangemaakt op 3/8/2020).

De **bodemkaart** geeft aan dat de gronden van het projectgebied volledig in bebouwde zone liggen (OB).

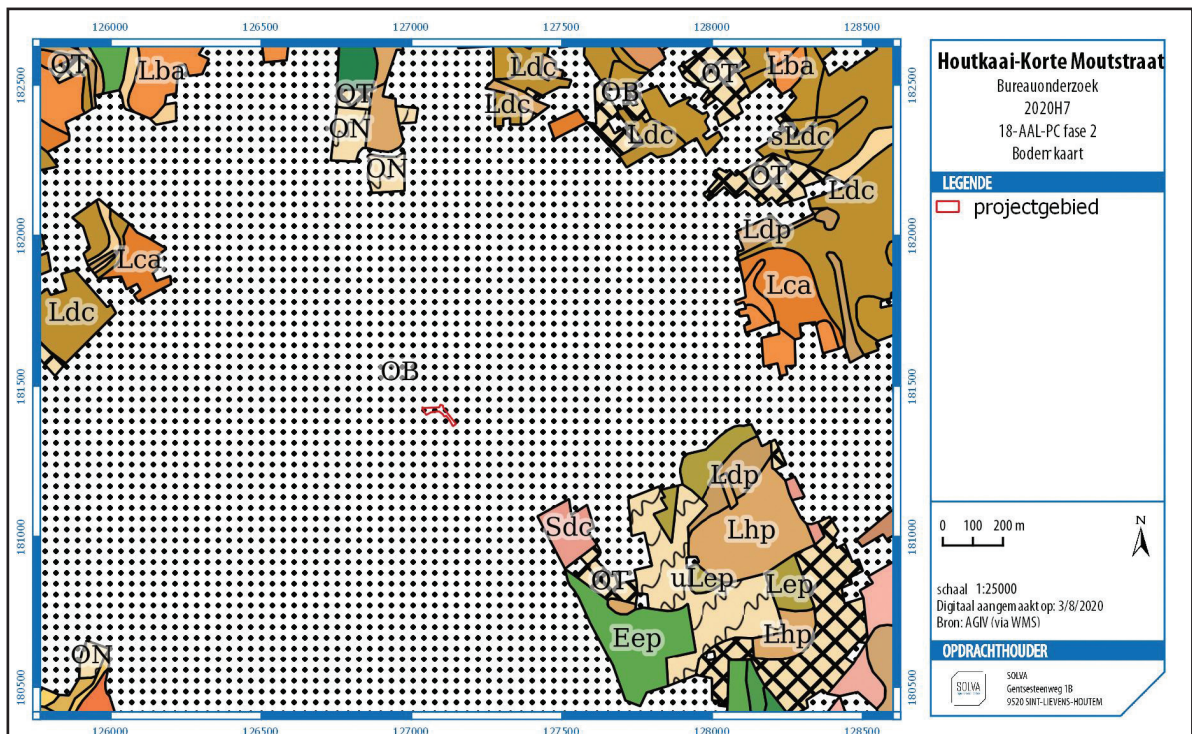


Fig. 20. Bodemkaart met aanduiding van het projectgebied (bron: AGIV; digitaal aangemaakt op 3/8/2020).

De **bodemassociatiekaart** duidt de gronden van het projectgebied aan als een niet gekarteerde zone (0).

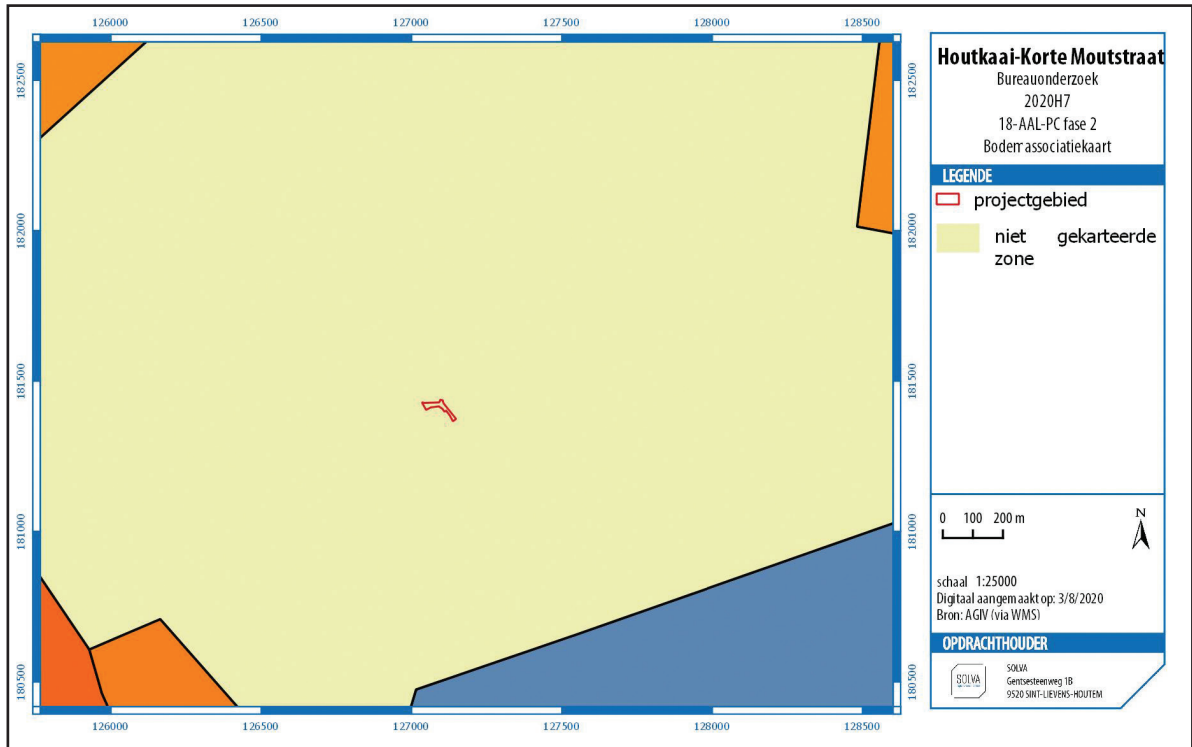


Fig. 21. Bodemassociatiekaart met aanduiding van het projectgebied (bron: AGIV; digitaal aangemaakt op 3/8/2020).

3.1.1.2. Grondgebruik

De **bodemgebruikskaart** geeft aan dat de het projectgebied grotendeels wordt ingenomen door kernstadbebouwing en in kleine mate door 'andere bebouwing'.

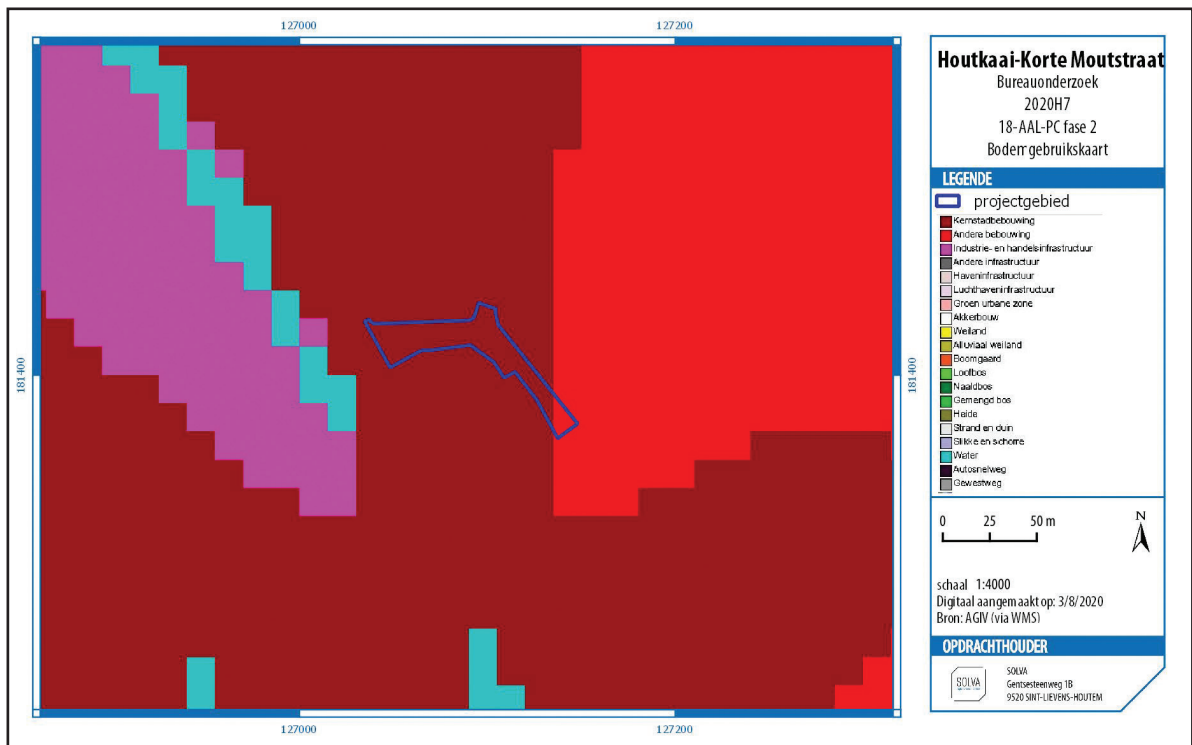


Fig. 22. Bodemgebruikskaart met aanduiding van het projectgebied (bron: AGIV; digitaal aangemaakt op 3/8/2020).

INTERPRETATIE VAN DE ARCHEOLOGISCHE SITE

Ook de **bodembedekkingskaart** toont dat het projectgebied grotendeels wordt ingenomen door autowegen, en in mindere mate gras, struiken en bomen (pleintje).

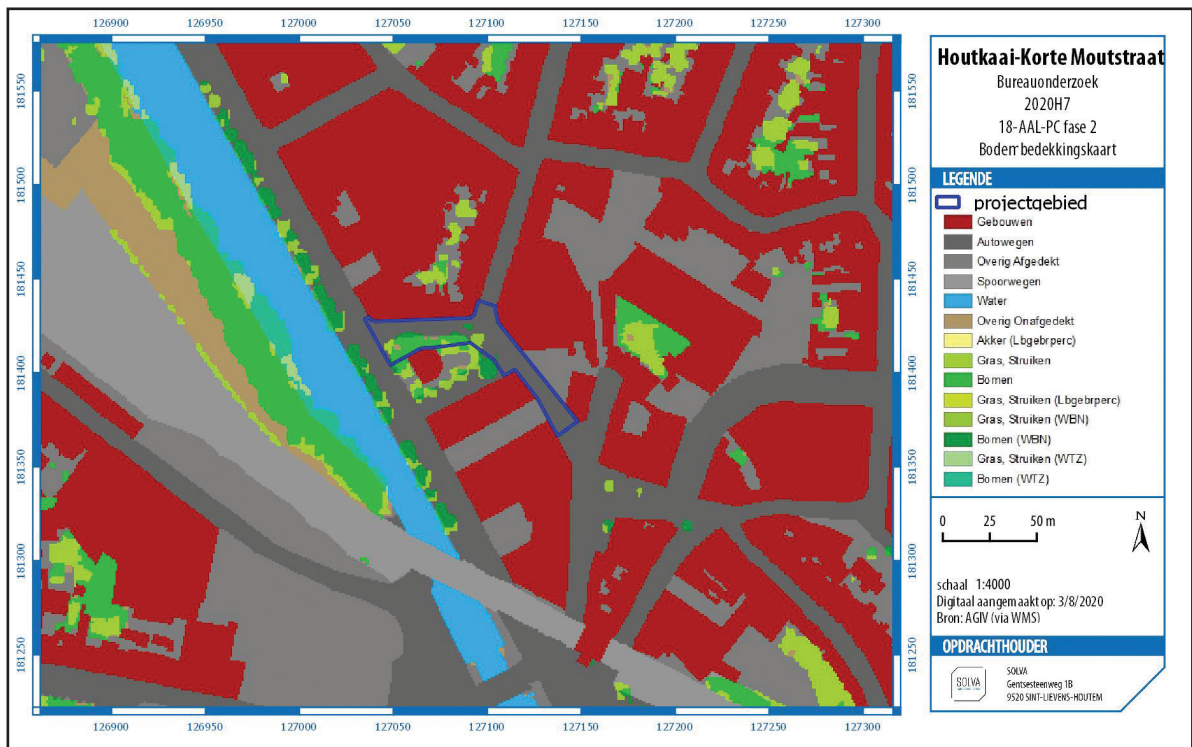


Fig. 23. Bodembetekingskaart met aanduiding van het projectgebied (bron: AGIV; digitaal aangemaakt op 3/8/2020).

Een **recente luchtfoto** uit 2019 geeft een gelijkaardig beeld weer.



Fig. 24. Recente luchtfoto uit 2019 met aanduiding van het projectgebied (bron: AGIV; digitaal aangemaakt op 3/8/2020).

3.1.2. Historisch kader

3.1.2.1. Archeologisch Aalst

De archeologische activiteiten te Aalst hebben steeds veel aandacht opgebracht voor de middeleeuwse stadsontwikkeling. Het onderzoek naar het ontstaan en de (pre)stedelijke ontwikkeling van Aalst werd omkaderd door een hypothetisch model dat destijds door Dirk Callebaut (toenmalige NDO, Nationale Dienst voor Opgraving) werd opgesteld, op basis van een confrontatie van historische, cartografische en toponymische bronnen.¹⁰ Volgens dit model ontwikkelde zich rond een Karolingische curtis (Villa Alost) een prestedelijke kern die in de volle middeleeuwen omwijd werd. Deze in oorsprong D-vormige omwalling die aansloot op de Dender, zou volgens het model van Callebaut op een bepaald ogenblik naar het zuiden toe uitgebreid worden. Deze uitbreiding, parallel aan de Dender, heeft de Pontstraat als centrale as. Vermoedelijk ten laatste in het eerste kwart van de 13de eeuw zou de stad nogmaals uitbreiden. Het zou tenslotte nog tot de 19de eeuw duren vooraleer Aalst buiten deze laatmiddeleeuwse omwalling zou uitgroeien.

Callebaut gaf rond dezelfde periode het startsein voor archeologisch onderzoek in Aalst, wat meteen de mogelijkheid bood het hypothetische model te toetsen aan de archeologische gegevens.¹¹ In de jaren die hierop volgden, is dit thema een belangrijk aandachtspunt gebleven bij diverse onderzoeken die in de Aalsterse binnenstad werden gevoerd.

Een geactualiseerde visie op de stadsontwikkeling, van de hand van Koen De Groote, en met een aantal belangrijke aanpassingen ten opzichte van het model van Callebaut, is te vinden in het *Festschrift* "Exchanging Medieval Material Culture" ter ere van Frans Verhaeghe.¹² In dit artikel komt duidelijk naar voren dat de lokalisering van de Villa Alost, op basis van de latere vermelding van de term Zelhof bij de stichting van het Onze-Lieve-Vrouw-Hospitaal in de 13de eeuw, moet genuanceerd worden. Zo bleek uit opgravingen op deze plaats dat de helft van de oppervlakte van dit hospitaal zich bevindt in de winterbedding van de Dender. Op basis van de archeologische gegevens is de ophoging ervan te plaatsen in de loop van de 12de eeuw. Ook het ontbreken van Karolingische vondsten spreekt een strikte lokalisering van de Villa Alost op deze plaats tegen. Integendeel, een beetje verder, ter hoogte van de Oude Vismarkt zijn enkele sporen uit de Karolingische en zelfs de Merovingische periode aangetroffen.¹³ Ook bij opgravingen op de speelplaats van het Sint-Jozefscollege kwamen in 2009 Merovingische houtbouwsporen aan het licht. Voor de identificatie van de Villa Alost komt dus een veel ruimer gebied dan oorspronkelijk gedacht in aanmerking en de oorsprong ervan gaat bovendien veel verder terug in de tijd.¹⁴ Het is pas na 1050 dat de stadswording op gang trekt onder invloed van verschillende factoren. In de eerste plaats speelt de locatie van Aalst, gelegen aan de kruising van de oude handelsroute Brugge-Keulen en de Dender, een belangrijke rol. Ook de aanwezigheid van een nieuwe heer zal vanaf 1050 een grote invloed hebben. Op dat ogenblik verovert de Graaf van Vlaanderen immers het noordelijk landgedeelte tussen Schelde en Dender. Aalst neemt de functie van zetel van het nieuwe burggraafschap, het latere Land van Aalst, op en de nieuwe burggraaf start met de bouw van een motte. Een combinatie van de vorige factoren zorgt voor de aantrekking van handelaars en ambachtslui die de stad in wording een nieuwe impuls geven. Deze fase verloopt zeer snel en in de loop van de tweede helft van de 11de eeuw start de bouw van de eerste D-vormige stadsomwalling. Op dit ogenblik begint de echte stadsontwikkeling.¹⁵ De hypothese van een uitbreiding van deze eerste omwalling naar het zuiden zoals D. Callebaut suggereerde, lijkt bij

10 Callebaut 1983a.

11 Callebaut 1983b en 1983c.

12 De Groote 2010, 249-266.

13 De Groote 2010, 253.

14 De Groote, Moens & Ameels 2010, 44-45.

15 De Groote 2010, 254-259.

opgravingen in 2008 in de Louis D'Haeseleerstraat tegengesproken te worden. Nergens op het vermoede tracé waren hiervoor aanwijzingen te vinden.¹⁶ De herorganisatie van de zone rond de Oude Vismarkt, met onder andere de opvulling van een deel van de winterbedding van de Dender, in de tweede helft van de 12de eeuw en de bouw van de tweede omwalling vormen het sluitstuk van de stedelijke ontwikkeling.¹⁷ De bouw van deze tweede omwalling, gesitueerd op de zogenaamde 'Wallenring', is dankzij een archeologisch onderzoek van SOLVA op het Vredeplein (2009) en Keizersplein (2013) te plaatsen in het eerste kwart van de 13de eeuw.¹⁸

3.1.2.2. Het projectgebied

Het projectgebied is, zoals uit de historisch-cartografische bronnen zal blijken (zie 3.1.2.2.2), gelegen aan de rand van de laatmiddeleeuwse omwalling, maar op de rechteroever van de Dender. De middeleeuwse stad is grotendeels op de linkeroever gelegen, slechts in beperkte mate op de rechteroever. De functie en stedenbouwkundige ontwikkeling van dit deel van de middeleeuwse stad is bijzonder slecht gekend. Archeologische waarnemingen zijn er tot op heden zeer beperkt (zie verder, 3.1.3). Uit het historisch kaartmateriaal blijkt dit stadsdeel gedomineerd te worden door de positie van verschillende Denderarmen, waardoor het omsloten wordt. Bebouwing lijkt er beperkt te zijn tot de straat die de verbinding maakt via de Sint-Annabrug met de middeleeuwse stadskern op de linkeroever. Over de ouderdom van dit stadsdeel/stadsomwalling kan gespeculeerd worden dat het terug gaat tot de grote laatmiddeleeuwse stadsuitbreiding van begin dertiende eeuw, maar concrete aanwijzingen daarvoor zijn er tot op heden niet.

De aanwezigheid van de stadsgracht in deze zone werd reeds bevestigd in een voorgaand bureauonderzoek en proefsleuvenonderzoek uitgevoerd door SOLVA. De rand van de gracht of sporen van een wallichaam of een weermuur en torens in natuur- en/of baksteen werden niet aangetroffen in dit onderzoek. Er werd besloten dat deze wellicht gezocht moeten worden onder de gebouwen ten zuidoosten van het plein (zone Korte Moutstraat).

3.1.2.2.1. Inventaris onroerend erfgoed

Er zijn **geen erfgoedobjecten** op het projectgebied die zijn opgenomen in de inventaris onroerend erfgoed.

3.1.2.2.2. Historisch-cartografische documenten

3.1.2.2.2.1. Jacob van Deventer (1550-1565)

De eerste kaart waar het projectgebied op teruggevonden kan worden is die van Deventer. Georeferentie op deze kaart is niet mogelijk, enkel kan het projectgebied bij benadering gesitueerd worden. Op deze figuratieve is de Dender te zien in zijn (grotendeels) natuurlijke loop, waarbij het projectgebied tussen de Dender en een aftakking van deze rivier lijkt te liggen. Deze aftakking bepaalde de vorm van de stadsomwalling, die nu nog steeds herkend kan worden in het stratenplan van de Houtkaai en Pierre Corneliskaai. De stadsomwalling ter hoogte van het projectgebied lijkt uit een muur met drie torens te bestaan. In het zuiden lijkt wat meer bebouwing aanwezig te zijn. Ter hoogte van het projectgebied lijkt nog een stuk grasland te liggen tussen de ommuring en de Dender/zijtak van de Dender. Het projectgebied ter hoogte van het huidige Jagerspad bestaat op deze kaart uit akkerland/weide.

¹⁶ De Groote & Moens 2009, 120-122.

¹⁷ De Groote 2010, 254-259.

¹⁸ Bartholomieux et al. 2015.



Fig. 25. Kaart van Jacob van Deventer met aanduiding van locatie projectgebied (bron: kbr.be).

3.1.2.2.2. Georg Braun en Frans Hoogenbergh (1588)



Fig. 26. Kaart van Braun en Hoogenbergh met aanduiding locatie projectgebied (bron: antiquemaps.com).

Op de kaart van Georg Braun en Frans Hoogenbergh is eveneens geen georeferentie mogelijk, ook hier kan het projectgebied enkel bij benadering gesitueerd worden. Op deze kaart is een toren minder op te merken. Wel is er in het noorden van het projectgebied een bastion weergegeven, dat voordien nog niet werd aangeduid op historische kaarten. Het lijkt er naar dat het grasland nu geïncorporeerd is binnen een vernieuwde stadsversterking/ontwikkeling van de bastionnering, waardoor over twee versterkingen kan gesproken worden (bastionnering vs laatmiddeleeuwse omwalling). Binnen de stadsomwalling lijkt het gebied ingenomen te zijn door akkers en bebouwing.

3.1.2.2.3. Antonius Sanderus kaart (1649)

De Sanderuskaart, waarop ook geen georeferentie toegepast kan worden, geeft buiten het projectgebied een extra toren. Het bastion dat nog werd weergegeven op de kaart van Georg Braun en Frans Hoogenbergh is hier niet weergegeven. Het stratenpatroon en gebruik van het projectgebied blijft min of meer ongewijzigd. Opvallend is hier dat van de tweedeling (laatmiddeleeuwse stadsmuur vs bastionnering) niet duidelijk sprake is. Het lijkt om slechts één omwalling te gaan, hoewel het perspectief van de kaart geen zekerheid biedt.



Fig. 27. Kaart van Sanderus met aanduiding locatie projectgebied (bron: Geheugenvannederland.nl).

3.1.2.2.4. Villaretkaart (1745 – 1748)

Door een foutenmarge bij het georefereren geeft de projectie van de Villaretkaart binnen het moderne coördinatensysteem een kleine afwijking. Hierdoor komt het projectgebied iets meer naar het zuidoosten te liggen dan aangegeven op de kaart. Buiten een indicatie van de ligging van het projectgebied, geeft de Villaretkaart weinig nieuwe informatie. Een lijn suggereert nog de (restanten?) aanwezigheid van een stadsmuur (bij correctie van de projectie zou deze dan te situeren zijn ter hoogte van de huidige Dender/kaaimuur). De contour van het latere centrale plein van het projectgebied suggereert dat de omgrachting en (een deel van) de noordelijke omwalling onder dit centrale plein valt.

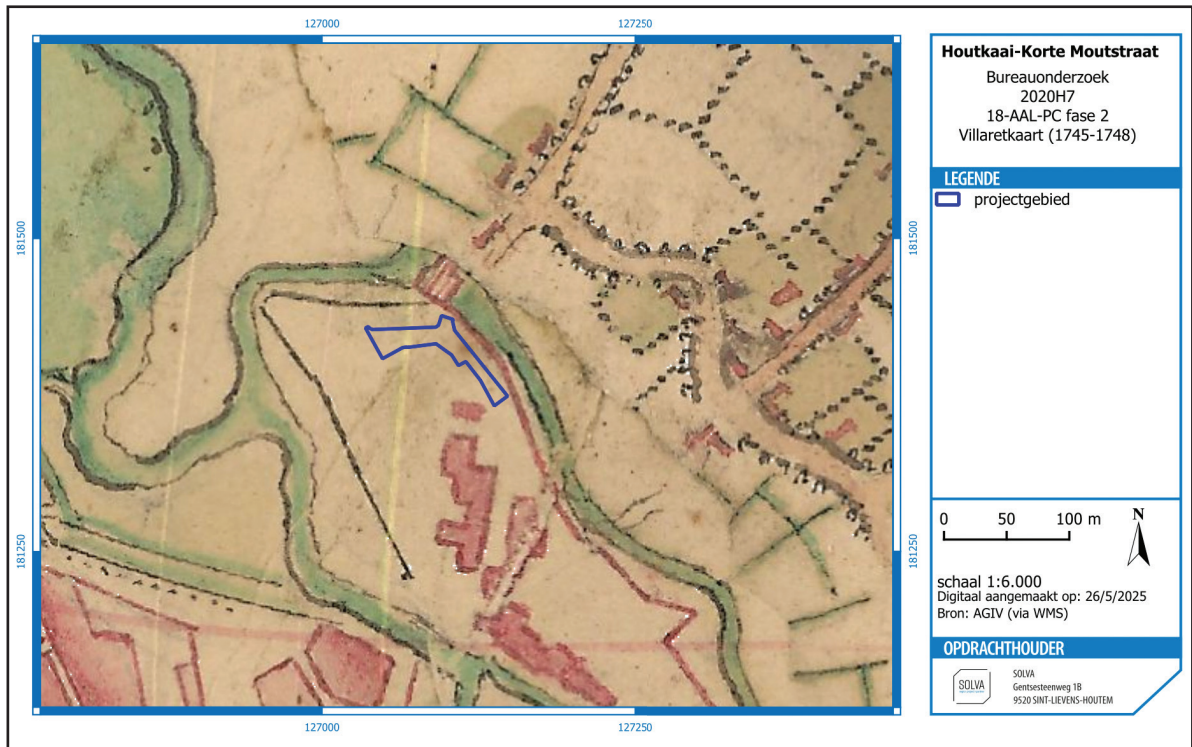


Fig. 28. Villaretkaart met aanduiding van het projectgebied.

3.1.2.2.2.5. Jozef Johan Frans Ferraris – Kabinetskaart der Oostenrijkse Nederlanden en het Prinsbisdom Luik (1771-1778)



Fig. 29. Ferrariskaart met aanduiding van het projectgebied.

De Ferrariskaart laat zien dat het projectgebied volledig werd ingenomen door weiland. Opvallend is dat de Dender op deze kaart rechtgetrokken is, terwijl de landschappelijke resten van de kronkelende rivier nog steeds zichtbaar zijn. De Villaretkaart geeft deze aanpassing nog niet te kennen. Het projectgebied is gelegen aan dit rechtgetrokken deel,

zoals het vandaag de dag nog steeds is, en raakt in het noorden bijna aan een waterloop afkomstig van de 'oude' Dender, die de 'nieuwe' Dender doorkruist. Van de stadsomwalling, torens en andere verdedigingswerken zoals bastions is op de kaart van Ferraris geen sprake meer, hoewel deze ten oosten van het projectgebied duidelijk nog relictten hebben nagelaten in de perceelsgrenzen en boomrijen. Vermoedelijk is de projectie niet correct en dient het projectgebied iets meer noordelijker gesitueerd te worden. Uit een vergelijking tussen de Villaretkaart en de Ferrariskaart, en de ligging van het projectgebied, kan afgeleid worden dat de rechte trekking van de Dender een grote impact heeft gehad op de oorspronkelijke stadsomwalling aldaar.

3.1.2.2.6. Atlas der Buurtwegen (ca. 1841)

In vergelijking met Ferrariskaart geeft de georeferentie op de Atlas der Buurtwegen een projectie van het projectgebied weer die iets meer noordelijk is gelegen. De waterloop afkomstig van de originele Dender, op de Ferrariskaart net ten noorden van het projectgebied gesitueerd, wordt op de Atlas der Buurtwegen deels opgenomen in het projectgebied. Ook de bebouwde zone ten oosten van het projectgebied is deels opgenomen. Verder is op deze kaart voor het eerst een duidelijke percelering weergegeven.

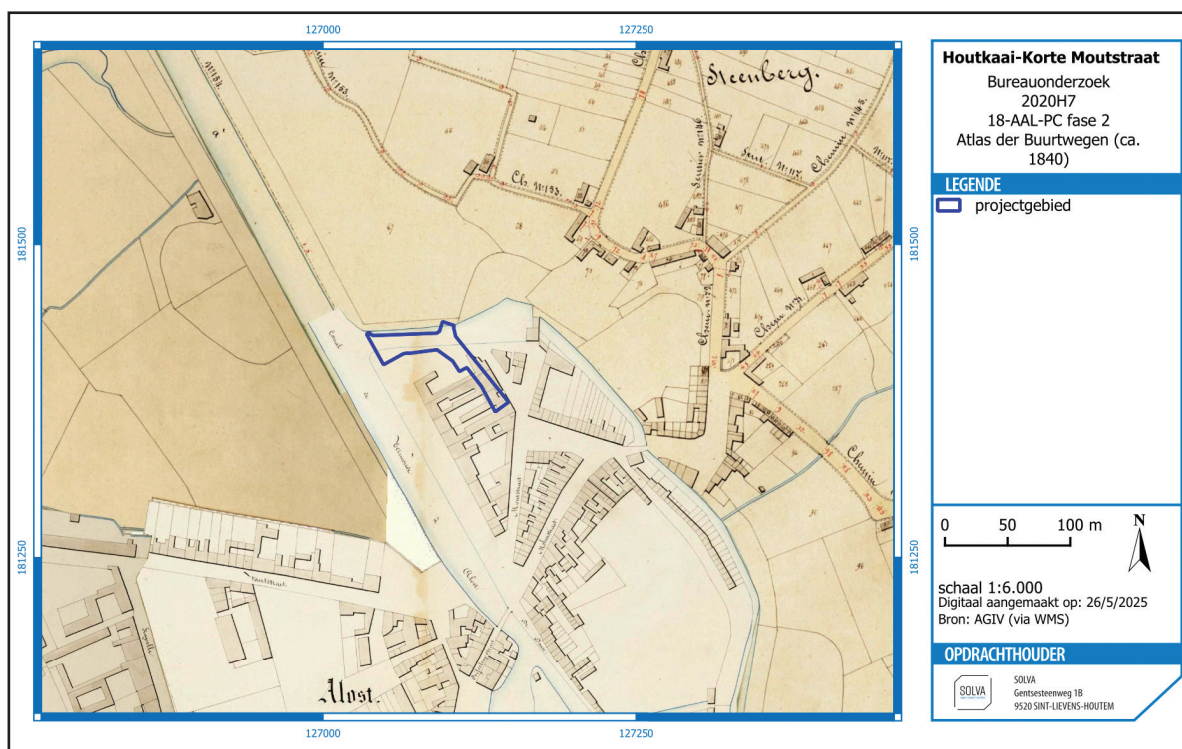


Fig. 30. Atlas der Buurtwegen met aanduiding van het projectgebied.

3.1.2.2.7. Philippe Vandermaelen – Cartes Topographiques de la Belgique (1846-1854)

De georeferentie op de kaart van Vandermaelen toont een foutenmarge, waardoor het projectgebied op de kaart wellicht iets meer noordoostelijk gelegen is dan in werkelijkheid het geval zou zijn. Het projectgebied is normaliter vlak langsheen de Dender gelegen. Deze kaart is wat schematischer dan de Atlas der Buurtwegen, en geeft bijgevolg niet veel meer informatie.

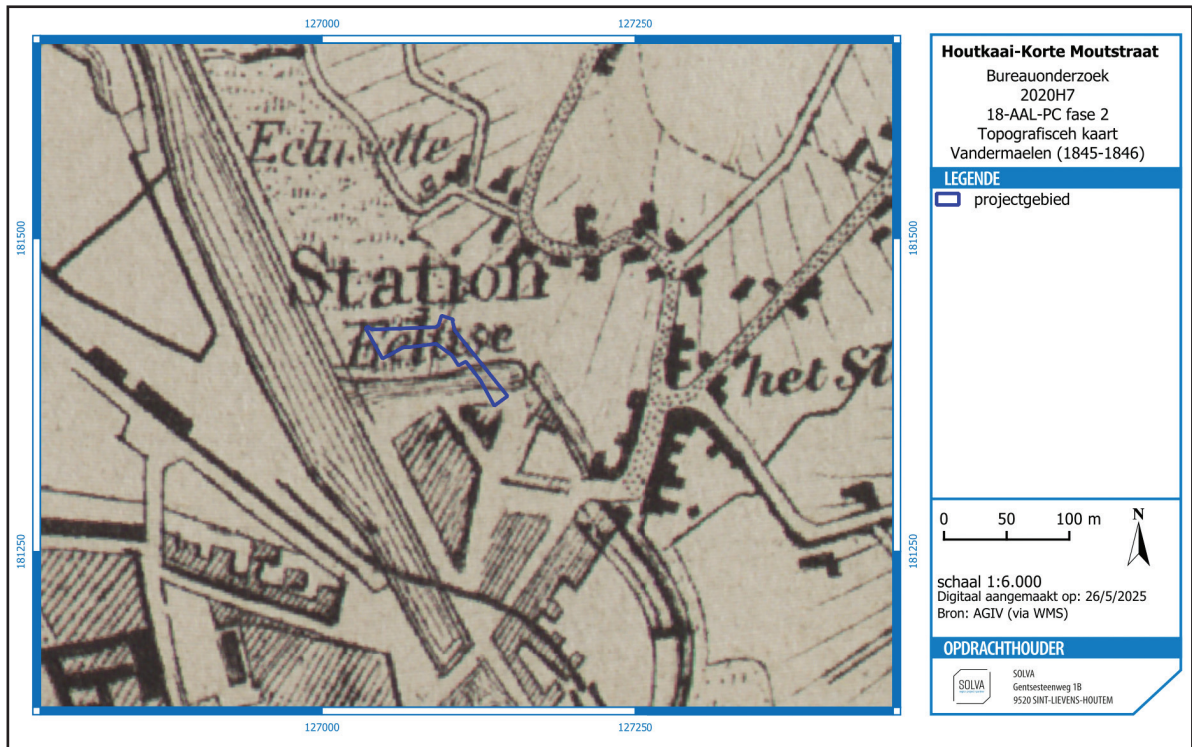


Fig. 31. Kaart Vandermaelen met aanduiding van het projectgebied.

3.1.2.2.2.8. Philippe Chrétien Popp – Atlas Cadastral Parcellaire de la Belgique (1842-1879)

De georeferentie op de Poppkaart lijkt veel nauwkeuriger te zijn, afgaande op het samenvallen van de begrenzing van het projectgebied en de rooilijn op de Poppkaart. Het projectgebied sluit mooi aan langs de Dender en de bebouwde zone ten oosten ervan. Opvallend is dat ook hier de resterende waterloop van de oorspronkelijke Dender in het werkingsgebied gesitueerd is, in tegenstelling tot wat te zien is op de Ferrariskaart.

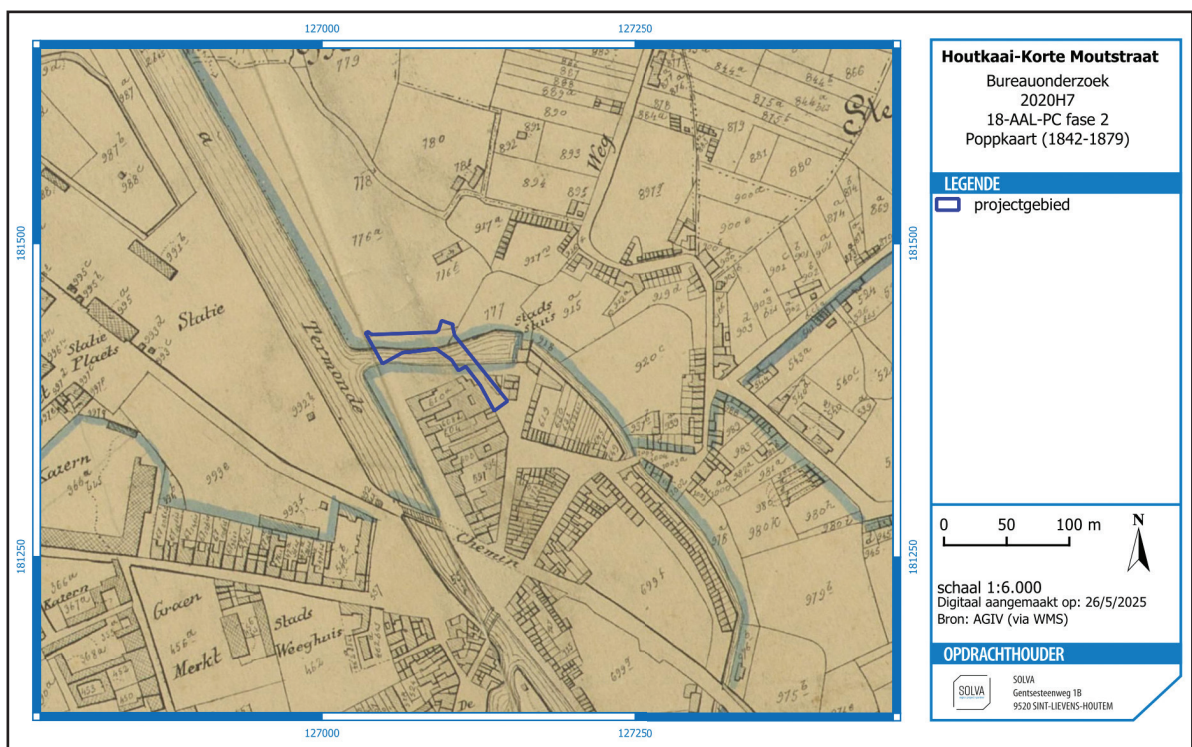


Fig. 32. Poppkaart met aanduiding van het projectgebied.

3.1.2.2.9. Recente luchtfoto's

Op een luchtfoto uit 1971 is te zien hoe het huidige werkingsgebied vormt begint te krijgen. De waterloop is verdwenen, en de wegen die nu de Houtkaai vormen maken deel uit van het landschap. Latere luchtfoto's tonen weinig veranderingen.

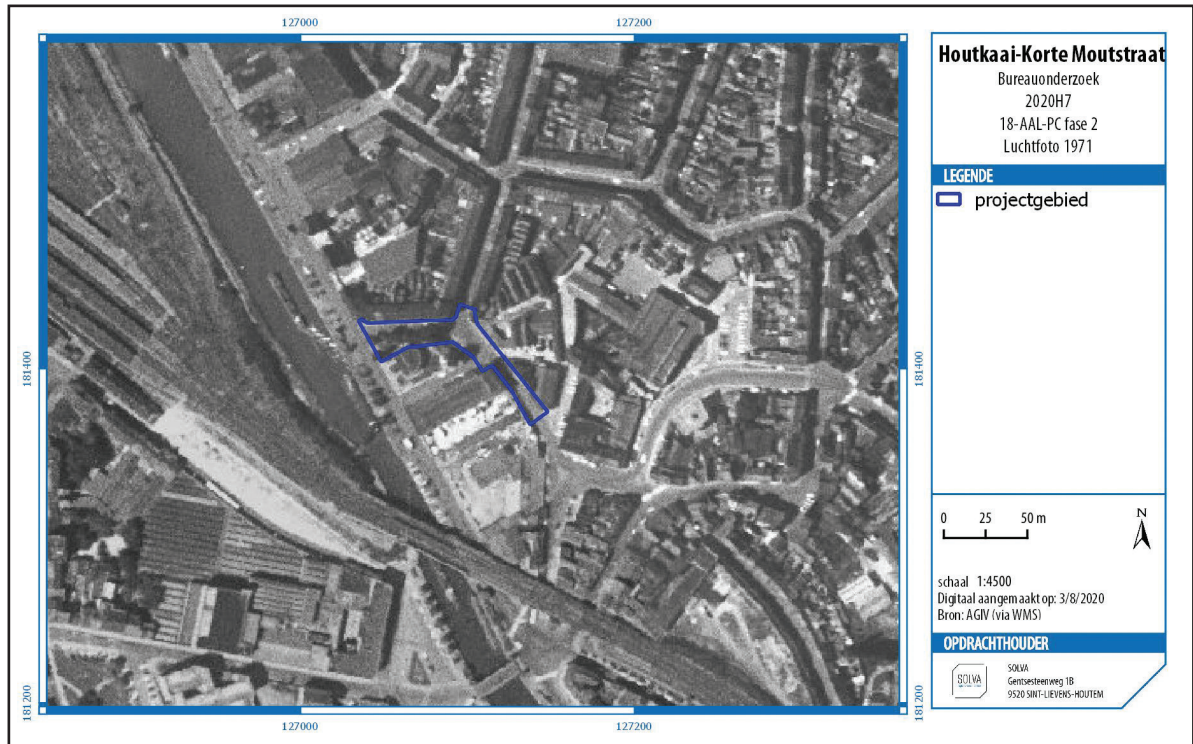


Fig. 33. Luchtfoto uit 1971 met aanduiding van het projectgebied.

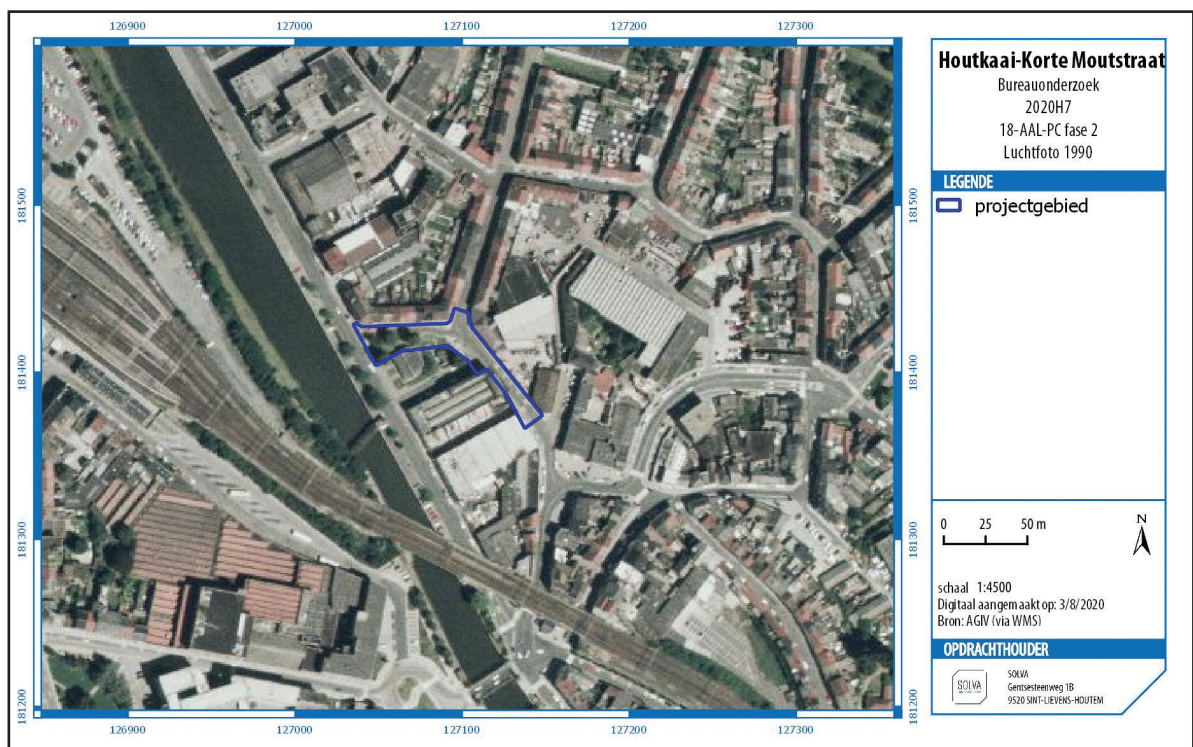


Fig. 34. Luchtfoto uit 1990 met aanduiding van het projectgebied.

3.1.3. Het archeologisch kader

In de **omgeving** van het projectgebied toont de centrale archeologische inventaris (**CAI**) vooral middeleeuwse vondsten, wat niet hoeft te verbazen gezien de nabijheid van het projectgebied bij het historisch centrum. Bij één van de dichter gelegen sites, ter hoogte van Werf 8, is tijdens een archeologisch vooronderzoek een deel van wellicht de 13e-eeuwse stadsgracht aangesneden en ook onder meer kelders en vloerniveaus uit de Nieuwste Tijd. In mindere mate werden ook zones uit de Nieuwe Tijd gekarteerd, zoals **CAI locatie 159871**, waar tijdens een opgraving, naast sporen uit de Late middeleeuwen, bouwresten uit deze periode werden geregistreerd.

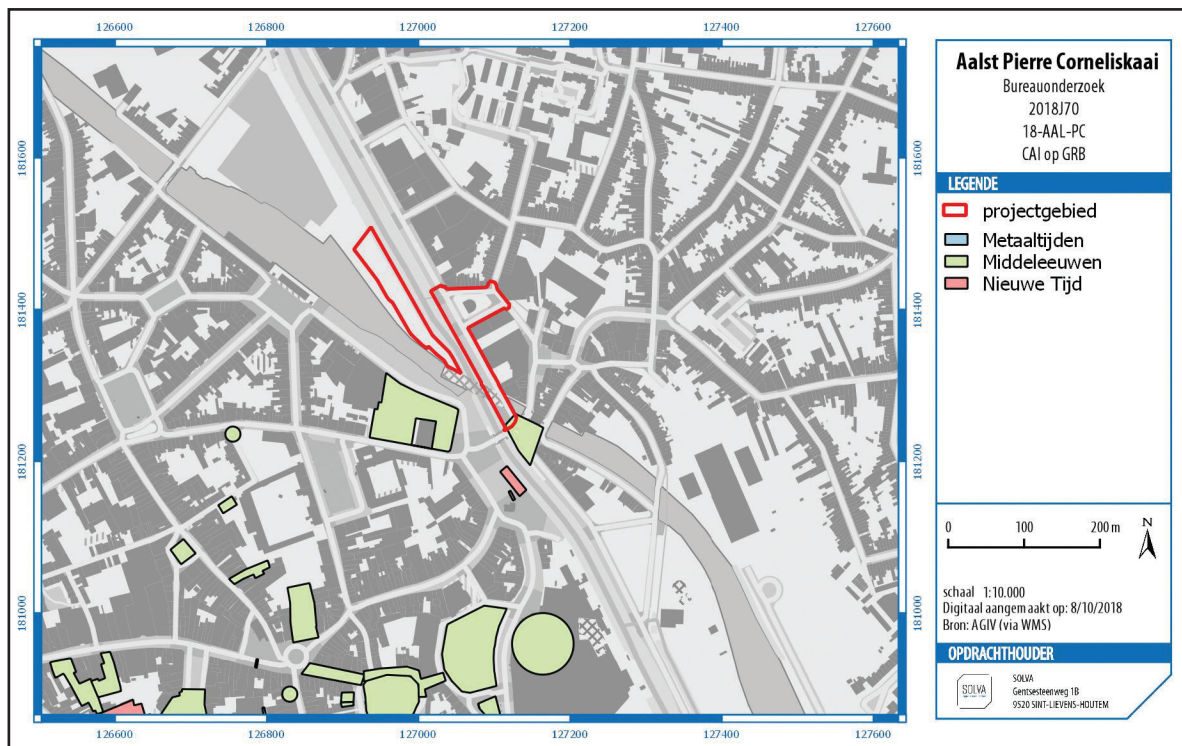


Fig. 35. CAI op GRB met aanduiding van het projectgebied (bron: AGIV; digitaal aangemaakt op 3/8/2020).

3.2. BESCHRIJVING VAN DE BODEMS EN ANDERE COMPLEXEN VAN AARDKUNDIGE EENHEDEN

3.2.1. Genese van de bodems of andere complexen van aardkundige eenheden

Het projectgebied bevindt zich in verstedelijkt gebied, waardoor op de bodemkaart staat aangegeven dat de ondergrond kunstmatig is (**OB**, zie Figuur 20). Dit wordt bevestigd met het huidige onderzoek.

Het projectgebied bestaat grotendeels uit een verharde wegenis en deels uit opgevoerde grond die ingericht is als groenzone. Uit de werfbegeleiding blijkt dat de natuurlijke bodemsequentie zich bevindt onder een reeks straatniveaus en/of historische antropogene lagen (zie 3.3.2.3). De diepte waarop deze natuurlijke bodem wordt aangetroffen varieert tussen ca. 0,5 en 1,2m onder het straatniveau. Het betreft alluviale pakketten, afgezet door de Dender in het Holoceen, met aan de bovenkant vermoedelijk restanten van enkele vegetatiehorizonten, van elkaar gescheiden door nieuwe fasen van alluviale afzetting. De bodem van het alluvium werd niet bereikt, ondanks boringen tot 4,84m onder het huidige straatoppervlak. Dit komt neer op +3,16m TAW.

Het alluvium en de vegetatiehorizonten vertonen duidelijk sporen van antropogene invloed. Antropogeen materiaal werd aangetroffen tot in de onderste lagen. Deze invloed is ook af te

leiden uit de historische inrichting van het landschap door de inwoners van de stad Aalst (zie 3.1.2.2.2). Om herhaling te voorkomen wordt hier niet verder ingegaan op de kenmerken van het alluvium en de vegetatiehorizonten. De antropogene invloed wijst er immers al op dat ze onlosmakelijk verbonden zijn met het archeologische verhaal. Ze worden dan ook meer in detail besproken verdere hoofdstukken (3.3.2.3.1 en 3.3.2.3.2).

3.2.2. Bewaring van de bodems of andere complexen van aardkundige eenheden

Ter hoogte van het projectgebied zijn vele recente verstoringen aanwezig (zie 1.4.1.1). Hierdoor zijn in het bijzonder de bovenste lagen van de natuurlijke bodemsequentie verstoord.

In de zone van de werfbegeleiding is echter aan de oostkant een smalle strook relatief ongeschonden gebleven. Hieruit blijkt dat de natuurlijke bodemsequentie een goede tot zeer goede bewaring kent op plaatsen zonder diepgaande recente verstoring. In het bodemprofiel zijn hier immers bovenaan de bodemsequentie nog enkele restanten van vegetatiehorizonten (Ah horizonten) te zien. Dit wijst op een snelle afdekking, zonder significante verstoring van de ondergrond (zie ook 3.3.2.3.2).

3.2.3. Effecten van de aanwezige bodems en sedimenten op de bewaring van de archeologische site en de archeologische artefacten daarbinnen

Op plaatsen zonder recente verstoring is het oorspronkelijk bodemprofiel goed tot zeer goed bewaard. Archeologische sporen en artefacten die zich hierin bevinden kennen daardoor eveneens een goede tot zeer goede bewaring.

Ter hoogte van het projectgebied is bovendien een hoge grondwatertafel aanwezig. Dit is niet verwonderlijk gezien de geografische positie (zie 3.1.1.1). De bodemsequentie is grotendeels gereduceerd tot aan het eind 18de / begin 19de-eeuwse straatniveau (C. II-53, zie 3.3.2.3.4). Dit is echter ook te wijten aan een recente verstikking van de bodem van bovenaf door de huidige wegnis. De originele grondwatertafel rijkt vermoedelijk ongeveer tot aan de 17de-eeuwse ophoging (C. II-25, zie 3.3.2.3.2). De permanente reductie zorgt hier voor een goede bewaring van het organisch materiaal en metaal. Boven de permanente grondwatertafel zijn de organische resten echter slecht of niet bewaard en de metalen vondsten sterk gecorrodeerd.

Anderzijds heeft de reductie tijdens de opgraving ook voor een vertroebeling van de resultaten gezorgd. Door de reductie is het immers niet altijd eenvoudig om individuele lagen van elkaar te onderscheiden. Bovendien zijn de profielen door latere uitgravingen van nutsleidingen regelmatig onderbroken. Deze combinatie bemoeilijkt in het bijzonder het aan elkaar linken van alluviale lagen die in verschillende delen van het profiel voorkomen, temeer daar deze ook van nature onderbroken kunnen zijn. Hetzelfde probleem stelt zich bij de lagen uit de verschillende boringen en bij de vergelijking van de profielen van het vooronderzoek met die van de werfbegeleiding.

3.2.4. Referentie aan gelijkaardige bodems en andere complexen van aardkundige eenheden op gekende archeologische sites

Alluviale afzettingen van de Dender werden in Aalst reeds op verschillende opgravingen teruggevonden. Zo bleek uit opgravingen aan de Oude Vismarkt en in het Oud-Hospitaal dat de Dender tot in de middeleeuwen voor alluviale afzettingen zorgde tot de oostelijke steilrand van de leemrug waarop Aalst ontstaan is.¹⁹ Ophogingslagen uit de 12de eeuw binnen de winterbedding tonen aan dat deze pas gedempt wordt vanaf de tweede helft van de 12de eeuw.²⁰ Een recente opgraving van SOLVA in de Molenstraat situeert zich iets meer naar het noordoosten, gedeeltelijk in de winterbedding. Er zijn opnieuw alluviale afzettingen

¹⁹De Groote 2013, 6.

²⁰De Groote 2013, 18-19.

van de Dender aanwezig die sterk lijken op deze uit het huidige projectgebied (Afb. 1).²¹ Ze worden afgedekt door een organisch pakket uit de tweede helft van de 13de eeuw. Nog meer naar het noordoosten en dichterbij het huidige projectgebied, op het Werfplein aan de voormalige Bisschopstraat, zijn alluviale afzettingen en ophogingslagen aangetroffen die aantonen dat de winterbedding hier in verschillende fasen gedempt is tussen 1300 en 1625.²²

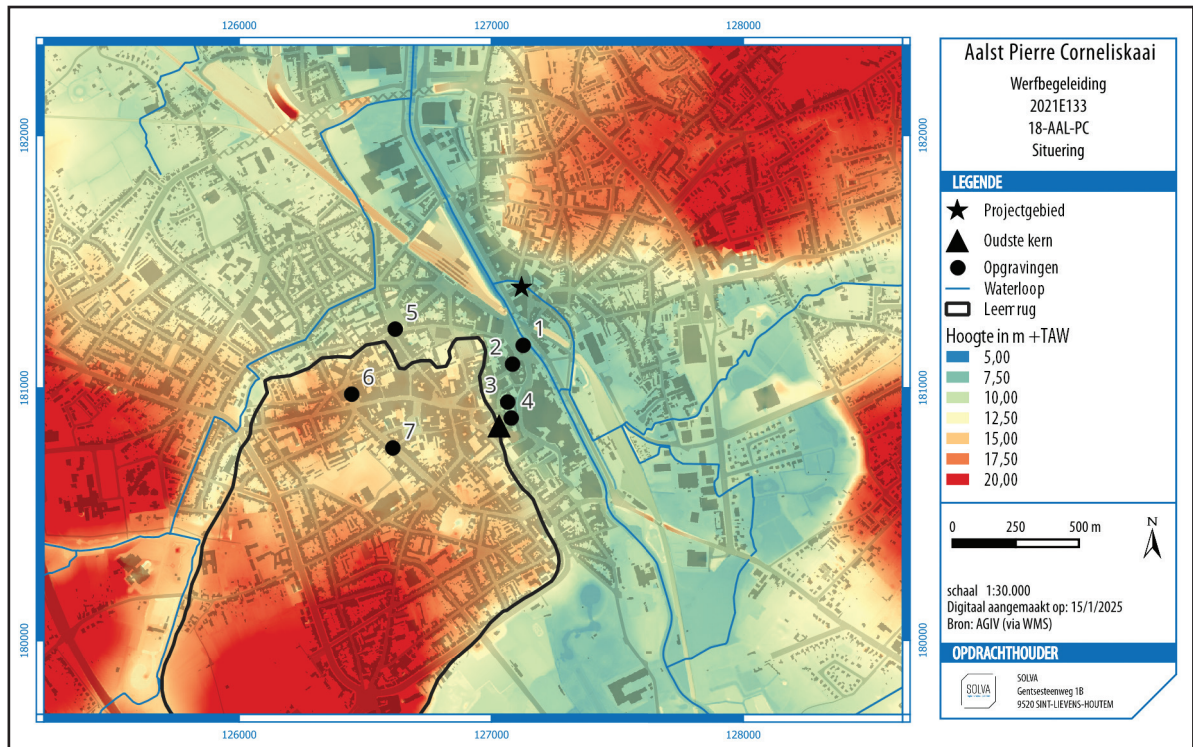


Fig. 36. DHM van de regio Aalst met aanduiding van het projectgebied, de leemrug, de oudste kern van Aalst en locaties van andere opgravingen die in dit verslag vermeld worden (1: Werfplein, 2: Molenstraat, 3: Oud-Hospitaal, 4: Oude Vismarkt, 5: Esplanadeplein, 6: Vredeplein en 7: Keizersplein). Deze kaart is voor een deel gebaseerd op een afbeelding uit: De Grootte 2013, 6.



Afb. 1. Detail van profiel 21AB uit de opgravingen in de Molenstraat. De alluviale pakketten (II-626, II-706 en II-727) zijn afgedekt door het organische pakket II-625 (bron: Couchez, Clement & Klinkenberg 2021, 18, Foto 2).

21 Couchez, Clement & Klinkenberg 2021, 18.

22 De Maeyer et al. 2013, 58.

3.3. BESCHRIJVING VAN DE ARCHEOLOGISCHE SITE AAN DE HAND VAN HET SPORENBESTAND OF DE VONDSTENSPREIDING

3.3.1. Analyse van de opbouw van de archeologische site

3.3.1.1. Beschrijving van de wijze waarop de archeologische site zich aan het huidige oppervlak manifesteert

De archeologische site die met een eerder uitgevoerd proefputtenonderzoek vlakbij²³ en de werfbegeleiding onderzocht is, bevindt zich onder de huidige wegenissen van de Korte Moutstraat en de Houtkaai en het pleintje aan de Houtkaai. Ze is aan het huidige oppervlak dus niet zichtbaar. Wel is in de Korte Moutstraat een zonk waarneembaar aan de oostkant van het pleintje aan de Houtkaai. Deze zonk zit ter hoogte van de collector die de vroegere stadsgracht/Denderarm vandaag overwelft.²⁴ Het verloop van de vroegere stadsgracht/Denderarm kan dus nog afgeleid worden uit de open ruimte van het plein en de zonk in de Korte Moutstraat.

3.3.1.2. Beschrijving van de stratigrafische opbouw van de archeologische site

De archeologische site kent een relatief complexe stratigrafische opbouw. Gezien de beperkte (onverstoorde) oppervlakte die kon onderzocht worden tijdens het eerder uitgevoerde proefputtenonderzoek en de werfbegeleiding is dan ook vooral ingezet op de registratie en analyse van de profielen teneinde deze stratigrafische opbouw te ontleden. De stratigrafische opbouw zal dan ook uitvoerig beschreven worden in een verder hoofdstuk (3.3.2.3).

3.3.1.3. Gemiddelde diepte van de waargenomen archeologische niveaus ten opzichte van de Tweede Algemene Waterpassing en het maaiveld

De algemene topografie van het terrein is relatief horizontaal en is reeds eerder besproken (3.1.1.1). Het straatniveau van de Korte Moutstraat ter hoogte van de werfbegeleiding bevindt zich op ca. +8,00m TAW. Het maaiveld ter hoogte van de proefput op de Houtkaai ligt op ca. +7,90m TAW. Bij de proefput op het pleintje ligt het iets hoger op ca. +8,45m TAW.

Zowel tijdens het proefputtenonderzoek als bij de werfbegeleiding is slechts één vlak aangelegd. In de proefput op de Houtkaai is laagsgewijs afgegraven tot in de alluviale afzettingen op ca. +6,50m TAW. In de proefput op het pleintje is laagsgewijs en met behoud van een trap afgegraven tot in de 18de-eeuwse opvulling van de Denderarm/stadsgracht. Lokaal is verdiept tot in de alluviale bodem. De hoogste trap bevindt zich op ca. +6,75m TAW, de lokale verdieping in de onderste trap reikt tot +5,65m TAW. Bij de werfbegeleiding is laagsgewijs afgegraven tot op een niveau waarbij individuele sporen/lagen van elkaar te onderscheiden waren. Dit niveau bevindt zich onder de 19de-eeuwse straatniveaus op ca. +7,20 tot +7,40m TAW. Hier zijn de resten van een wallichaam en weermuur te onderscheiden van de talrijke recente verstoringen. Er is door het grote aantal verstoringen besloten om nadien enkel nog lokaal te verdiepen in functie van de profielen (zie 1.4.1.1).

Zowel tijdens het proefputtenonderzoek als bij de werfbegeleiding is voor het onderzoek van de diepere lagen gebruik gemaakt van boringen. Vanwege de beperkte ruimte en de hoge grondwatertafel was het immers vanuit veiligheidsoverwegingen niet wenselijk om tot op grote diepte te graven. De diepte van de boringen varieert sterk, met een maximaal bereikte diepte van +3,16m TAW.

3.3.1.4. Profielen

Zoals vermeld vormen de profielen de kern van het archeologisch onderzoek (zie Fig. 41, Fig. 42, Fig. 44, Fig. 48). De foto's van de profielen komen aan bod in de hoofdstukken waar ze in

²³De Maeyer & De Graeve 2019. Dit proefputtenonderzoek is uitgevoerd in het kader van een eerdere versie van de huidige geplande werken. Nadat hiervoor reeds een archeologienota en nota bekomen waren, is het geplande ontwerp nog gewijzigd. De huidige werfbegeleiding volgde uit de nieuwe archeologienota die hiervoor opgesteld werd (zie ook hoofdstuk 1.2). Gezien de verwovenheid van de respectievelijke dossiers, de nabijheid van de proefputten en de directe relevantie van de resultaten, is met de werfbegeleiding voortgewerkt op de resultaten van het proefputtenonderzoek. Deze worden in dit dossier ook hernomen om een zo compleet mogelijk beeld van de archeologische site te bekomen.

²⁴De Smet, De Graeve & Cherretté 2020, 37.

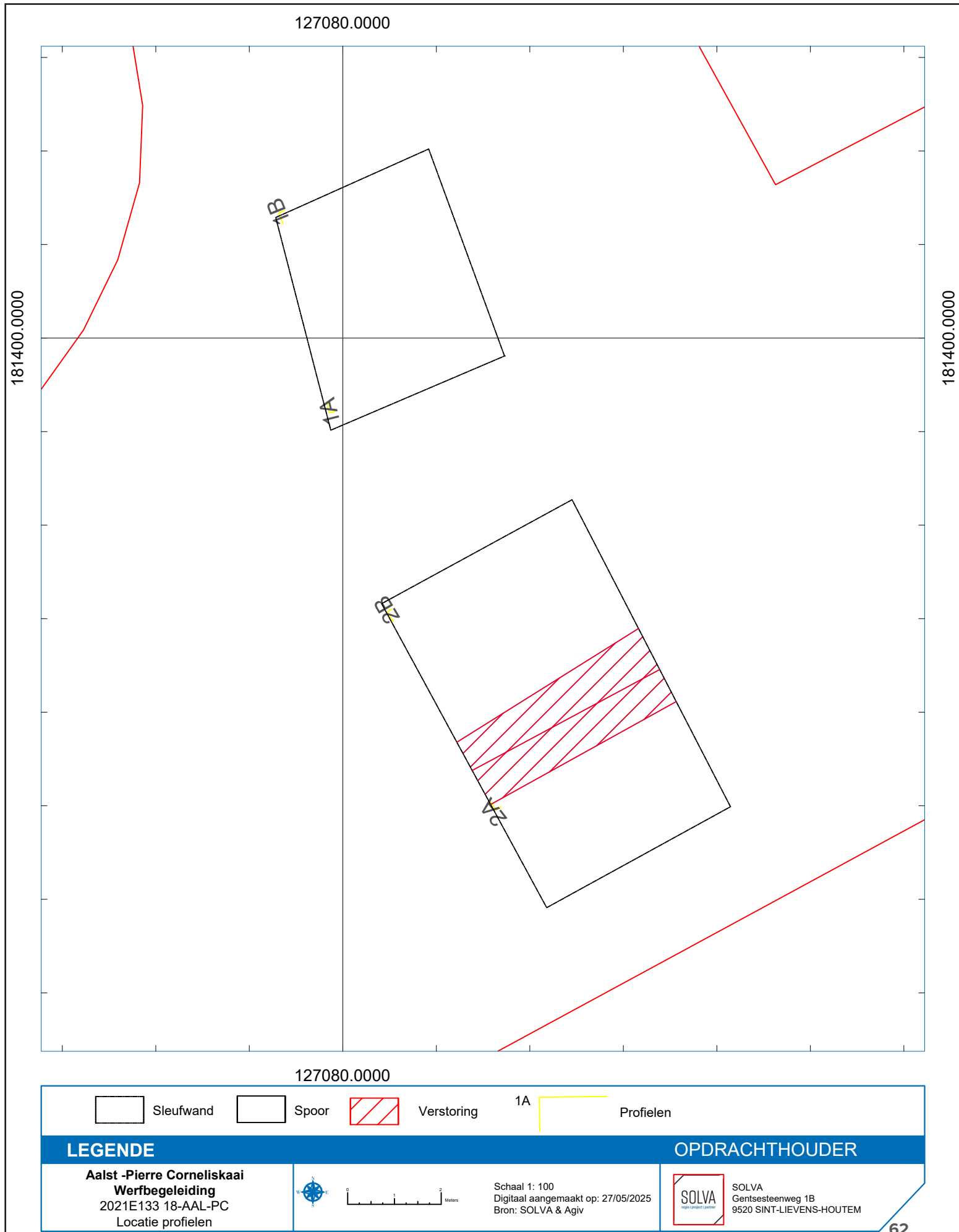


Fig. 37. Aanduiding van de profielen van het proefputtenonderzoek.

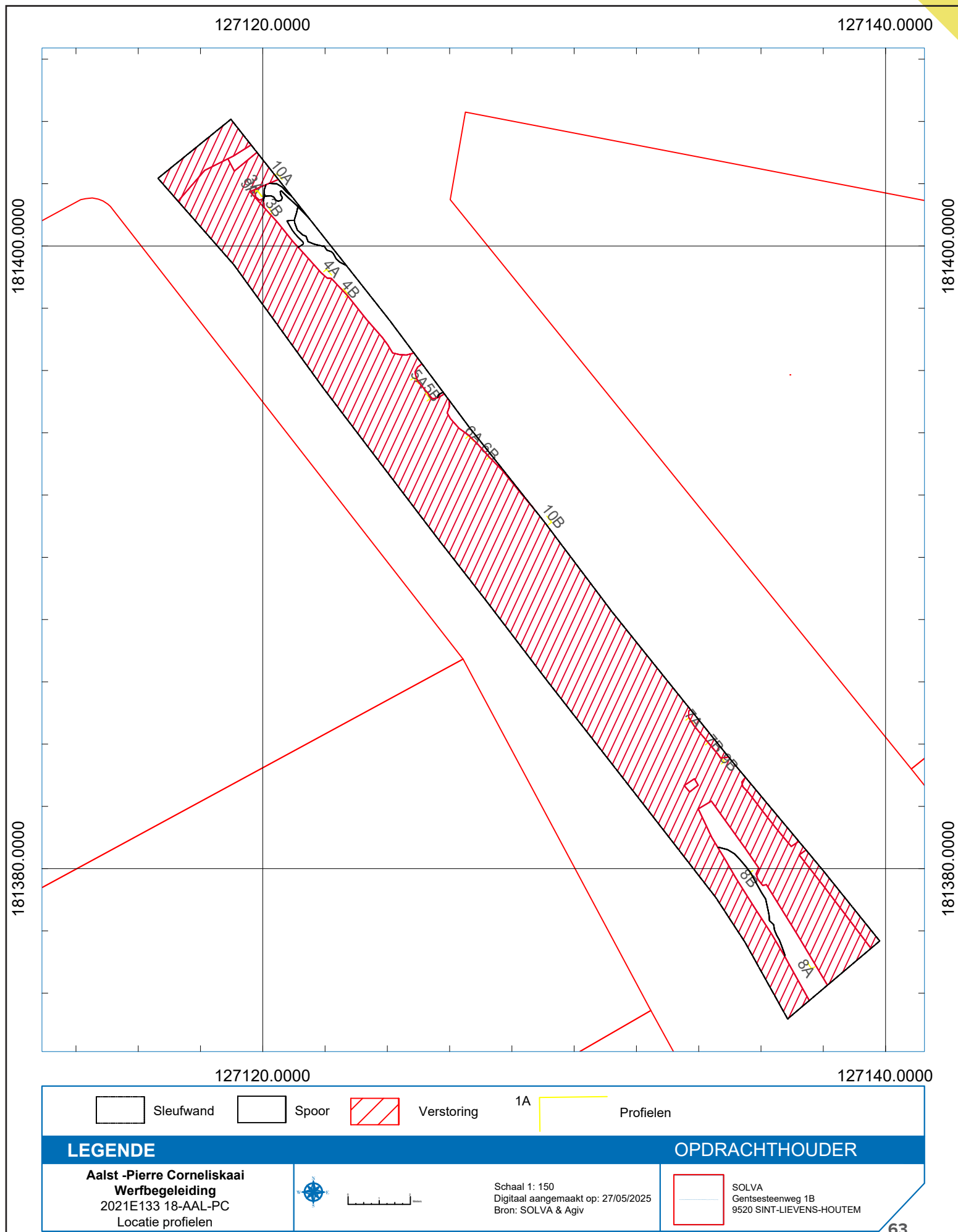


Fig. 38. Aanduiding van de profielen van de werfbegeleiding.

detail besproken worden. Bijgevoegde figuren 37 en 38 situeren de verschillende profielen op het terrein.

3.3.2. Analyse van archeologische structuren, spoorcategorieën, spoorcombinaties en individuele sporen

3.3.2.1. Weergave verschillende fases

Uit de profielen van het proefputtenonderzoek en de werfbegeleiding komt een complexe, continue evolutie van het terrein doorheen de eeuwen naar voor. Om de leesbaarheid van dit eindverslag te verhogen is het aangewezen om deze complexe evolutie op te delen in een aantal fases. Er is gekozen voor een opdeling in vier thema's die chronologisch op elkaar volgen. Deze opdeling is echter volstrekt kunstmatig en zeker niet de enige opdeling die gemaakt kan worden. Ze is te beschouwen als een pragmatische opdeling door de auteur van dit eindverslag.

De opdeling bestaat uit:

- Fase 1: accumulatie van alluviaal/fluviatiel sediment (... - eind 15de/16de eeuw)
- Fase 2: stabilisatie en ophoging (eind 16de eeuw - begin 17de eeuw)
- Fase 3: stadsversterkingen (begin 17de eeuw – begin 19de eeuw)
- Fase 4: straat en plein (eind 18de eeuw – nu)

Gezien het beperkte aantal sporen dat in het vlak werd aangesneden en de kunstmatige aard van de fasering biedt een gefaseerde weergave van de allesporenkaart weinig tot geen meerwaarde. Er is voor dit eindverslag dan ook enkel een niet-gefaseerde sporenkaart aangemaakt.

3.3.2.2. Behoud in situ van niet-onderzochte zones

Het gebied dat geselecteerd was voor vervolgonderzoek door middel van een werfbegeleiding is volledig onderzocht. Er komen geen zones in aanmerking voor behoud in situ. De archeologische resten die nog niet verdwenen waren door recente verstoringen zijn niet langer aanwezig door de uitvoering van de werfbegeleiding.

3.3.2.3. Tekstuele beschrijving en interpretatie van het sporenbestand

3.3.2.3.1. Fase 1: Accumulatie van alluviaal/fluviatiel sediment (... - eind 15de/16de eeuw)

Beschrijving

De diepere en dus ook oudste lagen van het projectgebied zijn onderzocht door middel van boringen tot maximaal 4,84m onder het straatniveau of +3,16m TAW. Tijdens het proefputtenonderzoek is één boring geplaatst in de proefput op de Houtkaai. Verspreid in de zone van de werfbegeleiding hebben zeven boringen een bruikbaar resultaat opgeleverd (Figuur 40). In het opgeboorde sediment is een groot aantal verschillende lagen met sterk variërende kenmerken aanwezig. Met uitzondering van één laag²⁵ bovenaan boring 3 betreft het steeds natuurlijke afzettingen. Om de boorresultaten onderling te kunnen vergelijken zijn de lagen op basis van hun kenmerken onderverdeeld in zeven soorten. Deze zijn om pragmatische redenen met een contextnummer benoemd, hoewel het strikt genomen geen spoorcombinaties betreft. De contextnummers zijn: C. I-6²⁶, C. II-29, C. II-45, C. II-48, C. II-78, C. II-79, en C. II-80.

²⁵Besproken in 3.3.2.3.2.

²⁶Door de bijkomende inzichten ten gevolge van het huidige onderzoek wordt laag I-11 niet langer als onderdeel beschouwd van C. I-6, zoals dat in het verslag van resultaten van het proefputtenonderzoek (De Maeyer, De Graeve 2019) wel nog het geval is. Laag I-11 vormt nu de nieuwe context C. I-11.

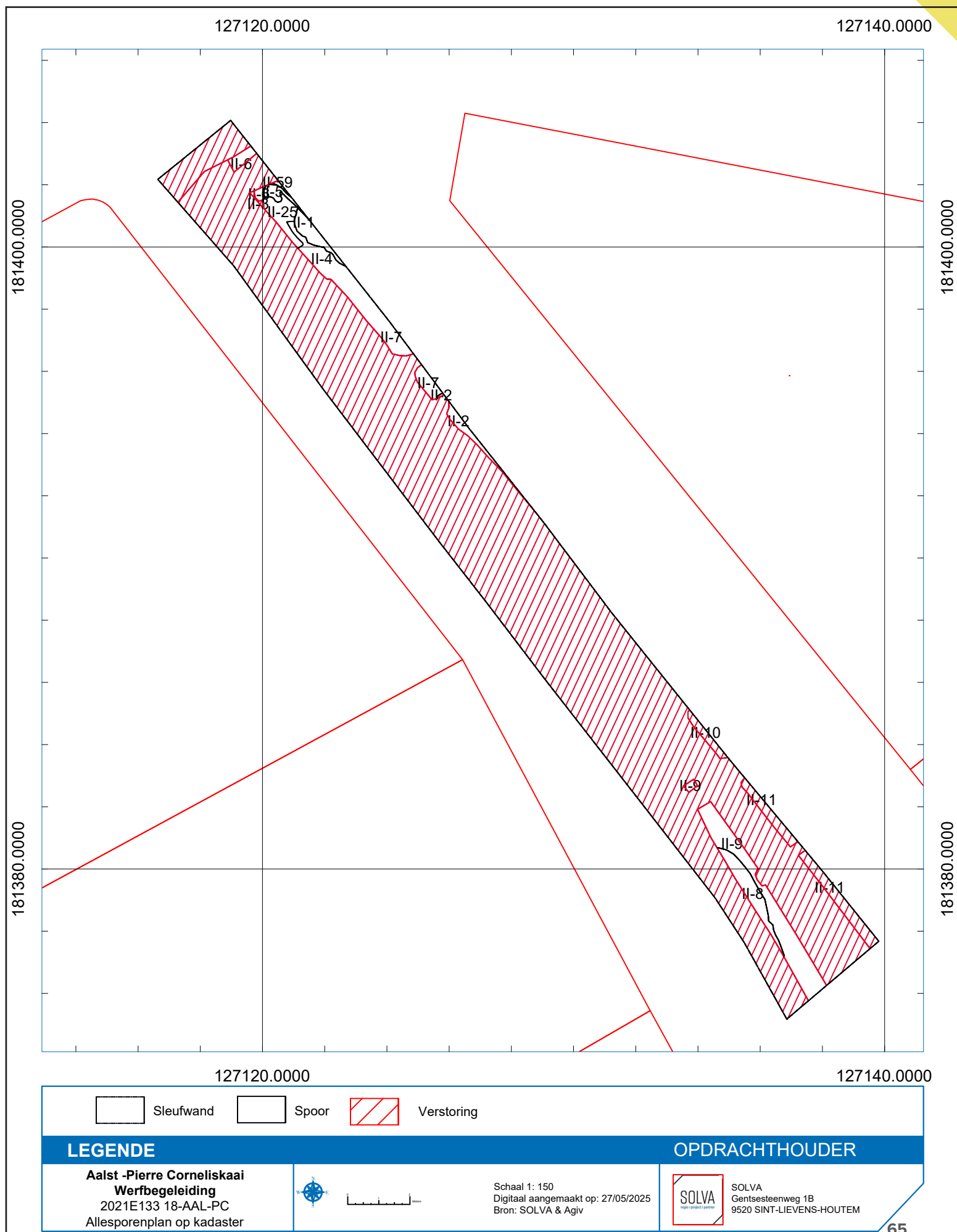


Fig. 39. Allesporenkaart op het kadaster.

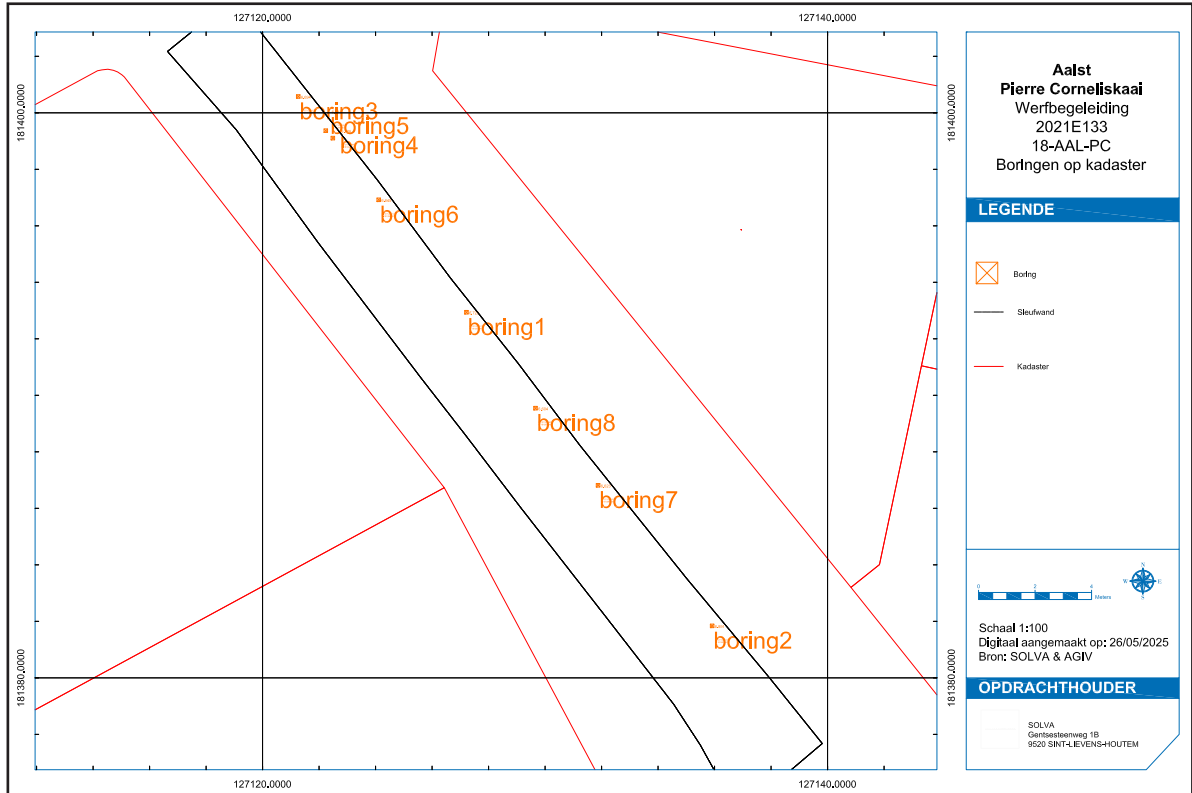


Fig. 40. Locatie van de boringen uit de werfbegeleiding.



Afb. 2. Zicht op profiel 9AB.

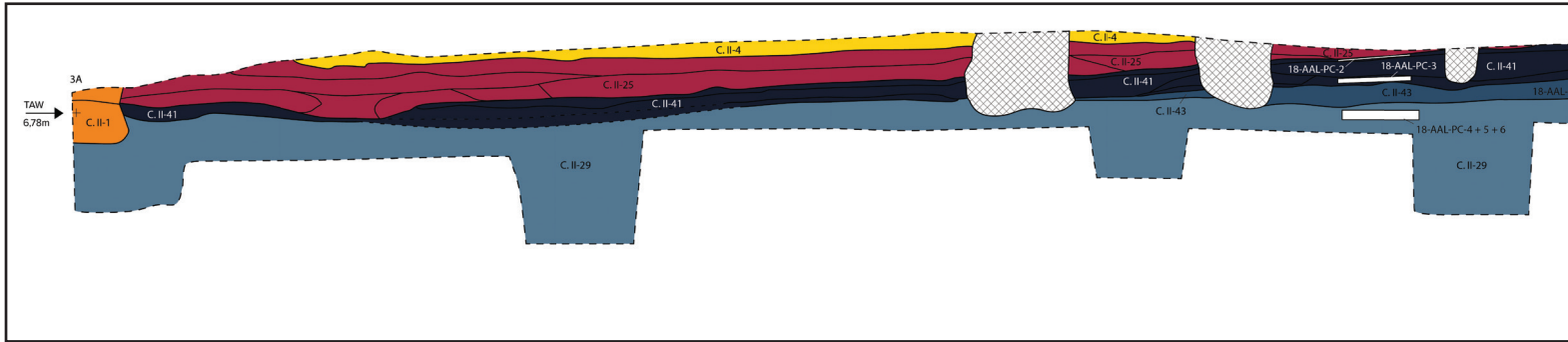


Fig. 41. Gedigitaliseerd profiel 9AB met met aanduiding van de verschillende contexten

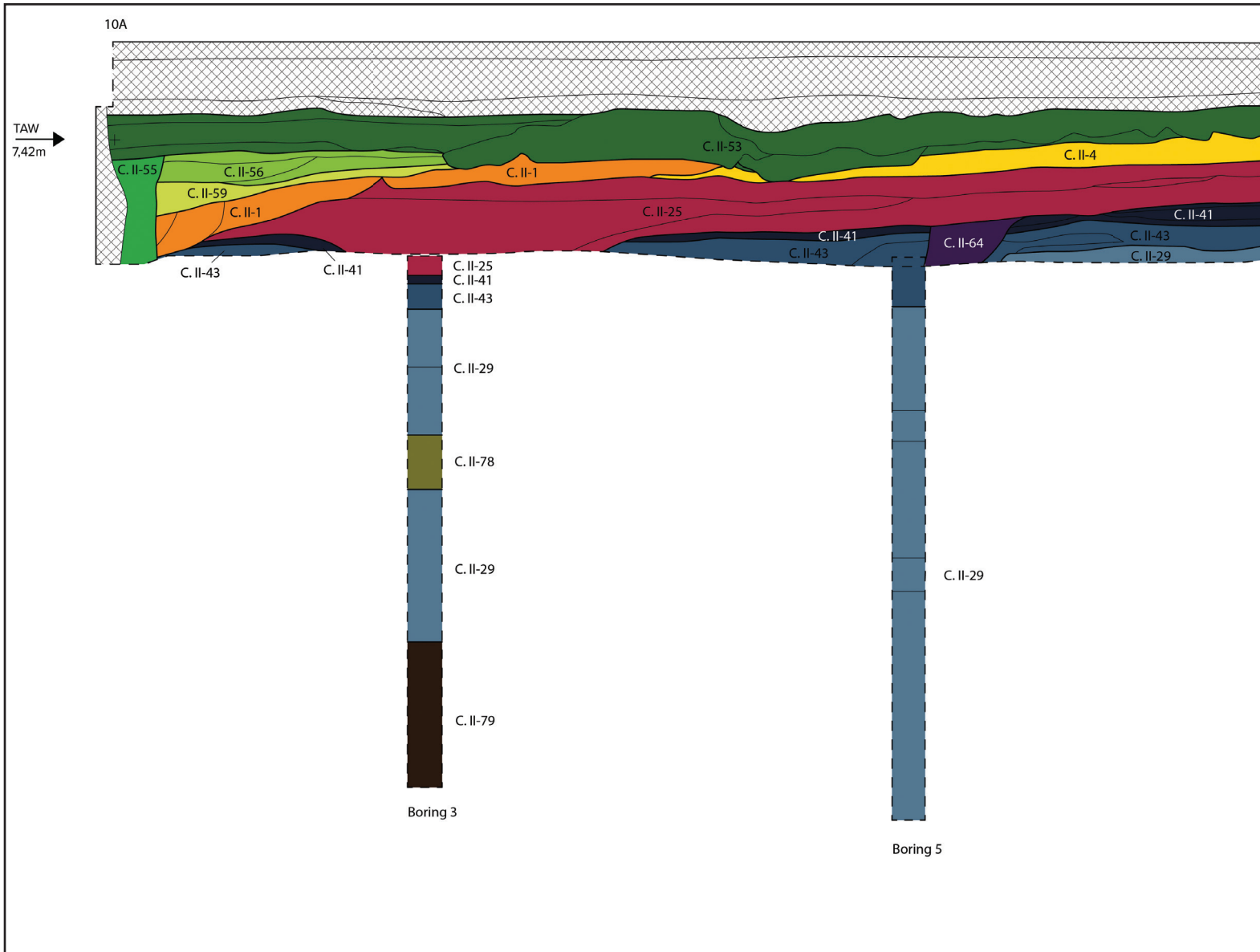
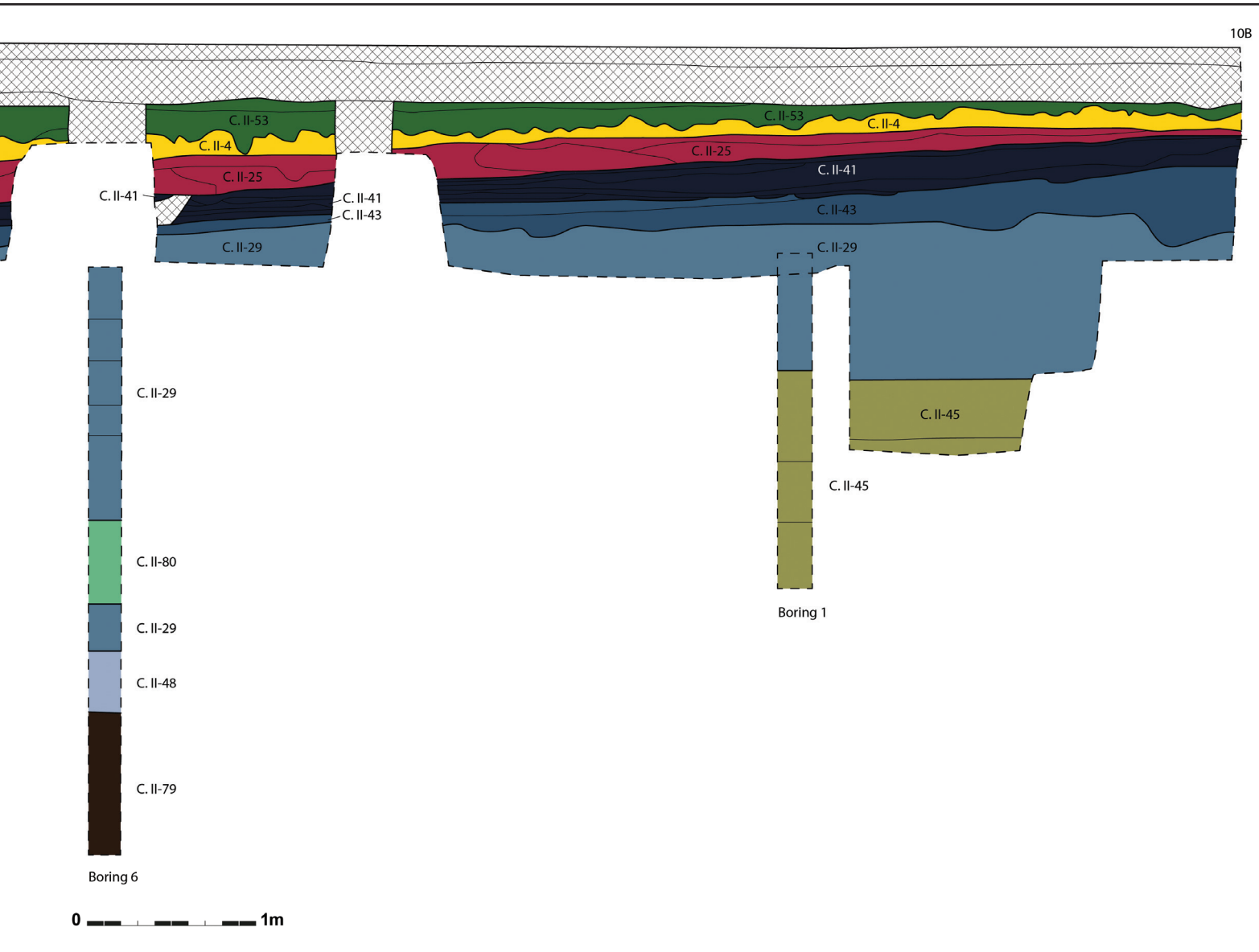
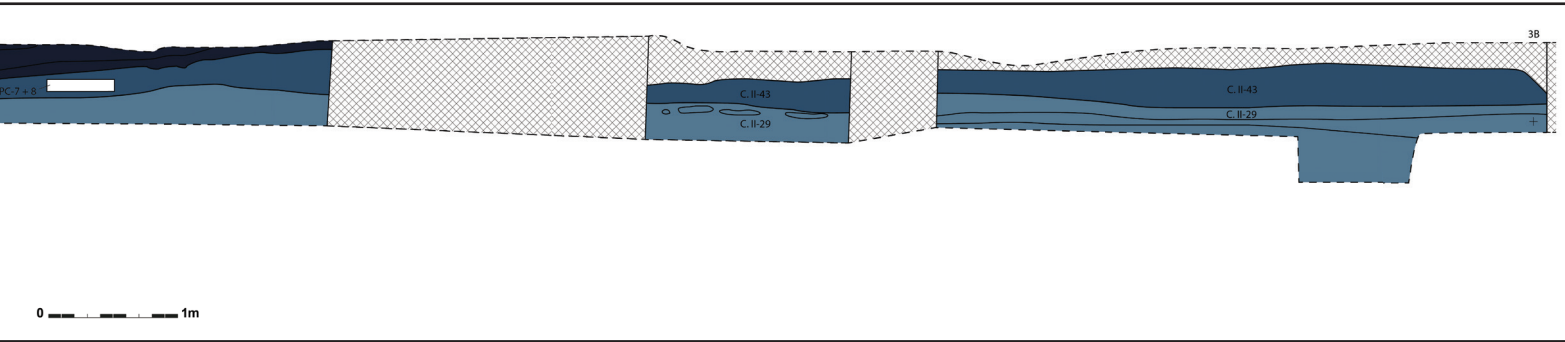


Fig. 42. Gedigitaliseerd profiel 10AB met met aanduiding van de verschillende contexten.

INTERPRETATIE VAN DE ARCHEOLOGISCHE SITE





Afb. 5. Zicht op profiel 10AB.



Afb. 6. Detail van profiel 10AB.

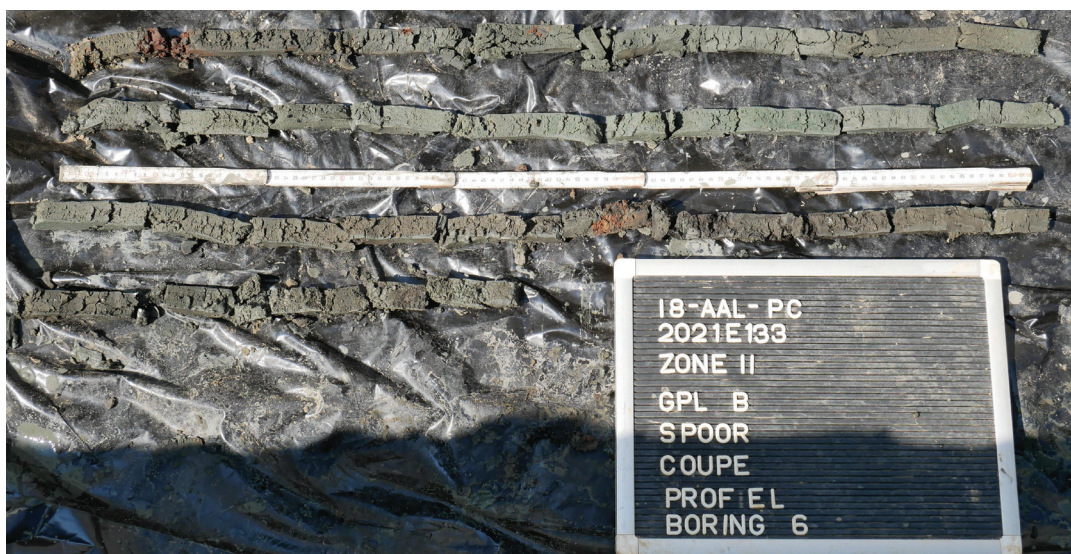
Op deze manier kunnen de meeste lagen uit de boringen benoemd worden als C. II-29 (zie Afb. 6, Afb. 9). Ze zijn vrij homogeen, volledig gereduceerd en (donker)blauwgrijs tot (donker) grijsblauw. De textuur varieert van lemig zand in de meer noordwestelijke boringen tot zware leem in de meer zuidoostelijke boringen. De lagen kunnen humeus zijn of humusspikkels -en/ of brokken bevatten. Op alle dieptes kunnen schelpfragmenten voorkomen alsook baksteen en mortel. C. II-29 komt niet alleen in de boringen voor maar is ook steeds aanwezig onderaan alle profielen van de werfbegeleiding.

De lagen uit het proefputtenonderzoek die samengevat zijn onder C. I-6 hebben dezelfde kenmerken als deze van C. II-29 (Afb. 10). Het enige verschil is dat er geen antropogeen materiaal is aangetroffen in deze lagen.

Enkele lagen lijken sterk op deze van C. II-29 maar bevatten daarenboven riviergrind. Centraal in de werkput van de werfbegeleiding is een sterke grindconcentratie (C. II-45) aanwezig in boringen 1 en 8 alsook in een lokale verdieping van profiel 10AB. Een weinig grind is ook aanwezig in één laag in boring 3 in de noordelijke hoek van de werkput (C. II-78).

In boring 2 en boring 6 (Afb. 7) is telkens één laag aanwezig die zeer zandig is of tenminste dikke, zeer zandige sublagen bevat (C. II-48). Bij boring 2 is deze laag homogeen grijsblauw gereduceerd met schelpfragmenten. Bij boring 6 is ze homogeen donkergrijs met witgrijze vlekken en baksteenfragmenten.

In boring 6 is bovendien bovenop C. II-48, maar ervan gescheiden door een zandig lemige laag (C. II-29), nog een zeer zandige laag aanwezig (C. II-80). Deze is echter heterogeen donkergroenblauw met houtskoolspikkels. Het is de enige plaats waar dit soort sediment is aangetroffen.



Afb. 7. Foto van boring 6 van 0 (links bovenaan) tot 3,50 m (rechts onderaan) diepte.



Afb. 8. Detail van boring 6, van 2,64m (links) tot 3,02m (rechts) diep, waarin organische, bijna venige resten en schelpfragmenten te zien zijn.

Bij drie boringen (3, 6 en 7) is onderaan opvallend veel organisch materiaal aanwezig (C. II-79). In boring 3 gaat het vooral om takjes, waartussen zich ook nog schelpfragmenten bevinden. De matrix is een homogeen donkerbruingrijze zandige leem. Bovenaan zat tussen het organisch materiaal nog een baksteenfragment en onderaan stuitte de boor op een ondoordringbaar hard object (geen baksteen of grind, vermoedelijk natuursteen). De organische laag in boring 6 is eerder venig en bevat opnieuw schelpfragmenten (Afb. 8). De donkergrijze, zwaar lemige en humeuze matrix bevat zandige sublagen. Antropogeen materiaal lijkt hier niet aanwezig te zijn. De organische laag in boring 7 tenslotte is opnieuw venig en heeft een donkergrijsblauwe, zandig lemige matrix met baksteenspikkels.

Vondsten

In de hierboven besproken contexten zijn niet veel vondsten aangetroffen. Dit is niet verwonderlijk gezien de meeste contexten enkel in boringen zijn aangesneden. Enkele baksteen- en/of mortelfragmenten zijn desalniettemin waargenomen in de matrix van C. II-29, C.II-45, C. II-48, en C. II-79.

Enkel in C. II-29 zijn dateerbare vondsten aanwezig. Deze context bevindt zich dan ook voor een groot stuk in de profielen, wat de kans op het aantreffen van vondsten significant verhoogt. Het gaat om 11 fragmenten aardewerk (MAI: 4), een dierlijk botfragment en drie ijzeren nagels.

Het aardewerk is dateerbaar en bevat onder meer een fragment zogenaamd Doorniks aardewerk in lichtoranje klei dat te dateren is tussen ca. 1450 en 1550 . Drie fragmenten (MAI: 2) grijs lokaal gedraaid aardewerk, waaronder een fragment met een meervoudig geknepen standvin, zijn niet nauwer te dateren dan ca. 1050-1600. Zeven fragmenten rood lokaal gedraaid aardewerk, vermoedelijk afkomstig van één individu, zijn te dateren tussen ca. 1175 en 1600.

TABEL 1: VONDSTEN UIT C. II-29.

Materiaal	Aantal
Aardewerk / Middeleeuws / Aardewerk in lichtoranje klei / Niet gedetermineerd	1
Aardewerk / Middeleeuws / Grijs / Lokaal gedraaid / niet gedetermineerd	1
Aardewerk / Middeleeuws / Grijs / Lokaal gedraaid / niet gedetermineerd	2
Aardewerk / Middeleeuws / Rood / Lokaal gedraaid / niet gedetermineerd	7
TOTAAL	11
Bot / Dierlijk bot	1
Metaal / Ferro / Constructie / Spijker/nagel	2
Metaal / Ferro / Constructie / Spijker/nagel	1

Interpretatie

De diepere lagen van het projectgebied in de boringen en de onderkant van de profielen zijn wellicht te interpreteren als alluviale/fluviatiele sedimenten van de Dender. De verscheidenheid in textuur en inclusies van de aangetroffen lagen getuigen immers van een sterk variërend en dynamisch afzettingsmilieu. Bovendien situeert het projectgebied zich in de oude winterbedding van de Dender (Figuur 43). Vandaag de dag is de Dender gekanaliseerd en overstroomt ze (normaalgezien) niet meer. Voor de menselijke ingrepen zorgden de Dender en zijn zijrivieren echter voor sedimentatie- en erosieprocessen in de gehele Dendervallei. Bij de sedimentatie hing de grootte van het afgezette materiaal af van de stroomsterkte van het water waar het zich tot kort daarvoor in suspensie in bevond. Bij snelstromend water werden enkel de grotere en zwaardere deeltjes afgezet, bij traag stromend water ook de fijnere en lichtere. Wanneer de loop van de Dender of een zijrivier

wijzigde, konden (delen van) oudere afzettingen uitgeschuurd worden. Het resultaat is een complex en sterk variërend bodemprofiel.

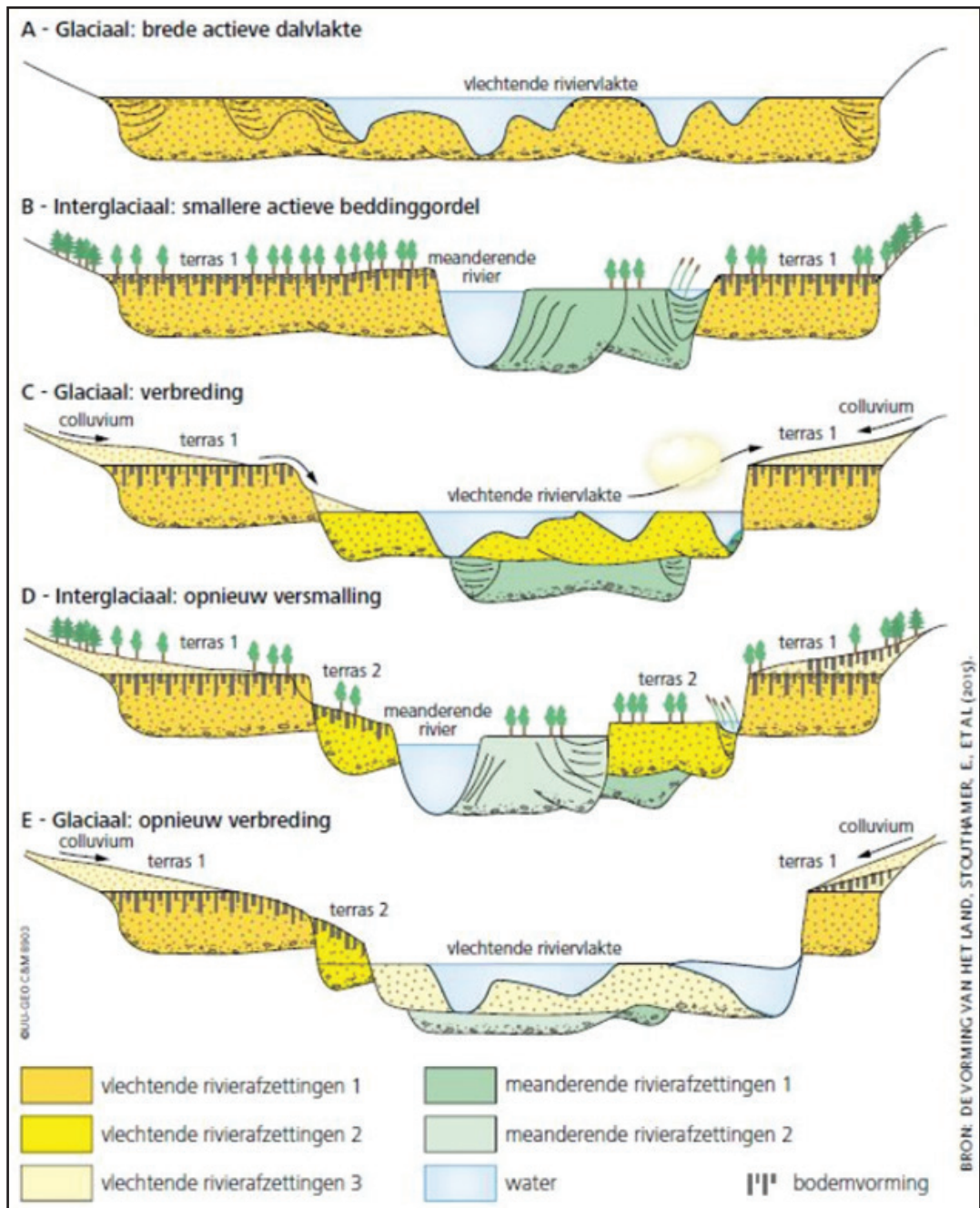


Fig. 43. Schematische weergave van het ontstaan van rivierafzettingen gedurende glacialen en interglacialen. Op een soortgelijke wijze is ook de Dendervallei ontstaan (bron: Stouthamer, Cohen & Hoek, 2015).

Deze sedimentatie- en erosieprocessen zijn een volstrekt natuurlijk fenomeen waar de mens weinig invloed op had, althans tot in de middeleeuwen. Toch is met de boringen vastgesteld dat op alle dieptes in bijna alle contexten ook antropogeen materiaal aanwezig is, voornamelijk baksteen- en mortelfragmenten. Dit materiaal kan door de rivier van elders meegevoerd en hier afgezet zijn. Enkele dateerbare vondsten uit de bovenste lagen van C. II-29 geven hiervoor een terminus ante quem rond ca. 1600. Aangezien op dat moment al minstens 3,5m sediment met antropogeen materiaal aanwezig is, kan men stellen dat dit proces dan al enkele decennia en zelfs eeuwen aan de gang moet zijn. Het is echter opvallend dat er ook in lagen met een fijnere textuur, getuigend van traagstromend water, veel en groot antropogeen materiaal aanwezig is, zeker bij de bovenste lagen die ook in de profielen zitten. Het is dan

ook onwaarschijnlijk dat enkel natuurlijke processen verantwoordelijk zouden zijn voor de aanwezigheid van dit antropogene materiaal. Wellicht ligt de verklaring bij de bewoners van Aalst die reeds gebruik zullen gemaakt hebben van het terrein, in het bijzonder gedurende de zomermaanden, wanneer de winterbedding deels droog lag. Sinds de late middeleeuwen is de stadsmuur immers reeds vlak naast het projectgebied te situeren (zie 3.3.2.3.3 en Figuur 39). In het bijzonder kunnen (afbraak)werken aan de stadsmuur de relatief grote hoeveelheid bouw materiaal verklaren.

3.3.2.3.2. Fase 2: Stabilisatie en ophoging (eind 16de eeuw - begin 17de eeuw)

Beschrijving

Bovenop de alluviale sedimenten zijn nog drie contexten (C. I-11/C. II-43 en C. II-41) aanwezig die het gevolg lijken te zijn van natuurlijke processen (Afb. 9). Zo is C. II-43 een pakket dat bestaat uit kleine bandjes met een verschillende textuur. Hierbij vallen vooral de blekere, lichtgrijze bandjes zand op waarin soms een nog fijnere gelaagdheid kan waargenomen worden. De meerderheid van de bandjes heeft echter een zandlemige tot lemige textuur en een donkerblauwgrijze kleur (door reductie), sterk vergelijkbaar met de onderliggende C. II-29. De grens tussen C. II-29 en C. II-43 is abrupt en scherp te noemen met een golvend verloop.



Afb. 9. Detail van profiel 10AB met aanduiding van de verschillende contexten.



Afb. 10. Profiel 2AB.

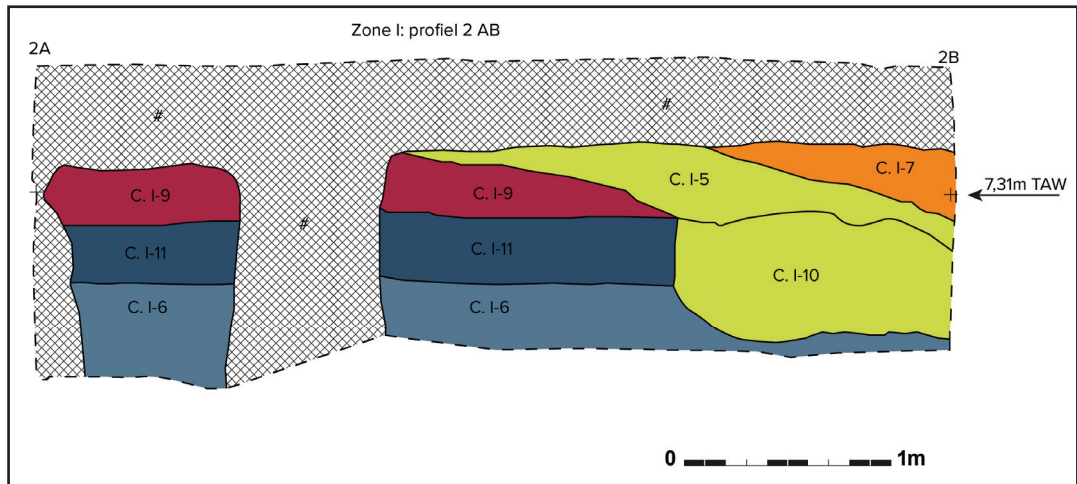


Fig. 44. Gedigitaliseerd profiel 2AB met aanduiding van de verschillende contexten.

De eigenschappen van laag I-11 uit het proefputtenonderzoek (Afb. 10) zijn exact dezelfde als deze van C. II-43. Hierbij moet de bruine kleur (door oxidatie) van een gedeelte van de laag buiten beschouwing worden gelaten omdat deze het gevolg is van de aanleg van recente nutsleidingen. Oorspronkelijk is deze laag als onderdeel van C. I-6 beschouwd. Omdat de relatie tussen laag I-11 en de rest van C. I-6 echter dezelfde is als deze van C. II-43 met C. II-29, wordt I-11 hier als aparte context beschouwd.

De gelaagdheid van C. I-11/C. II-43 zet zich in zekere zin door in C. II-41. Bij C. II-41 uit zich dit echter niet in kleine bandjes maar in iets dikkere en vlakdekkende lagen (Afb. 9). Deze worden afgewisseld met minstens drie donkergrijze tot zwarte, organisch-rijke lagen (II-39, II-41 en II-67). Onderaan laag II-66 is nog een fijn organisch bandje aanwezig dat mogelijk het restant is van een vierde exemplaar. De gehele context helt schuin af in noordwestelijke richting, waarbij het steeds meer insnijdt in C. II-43. Ook worden de individuele lagen steeds dunner in noordwestelijke richting en zijn ze steeds moeilijker van elkaar te onderscheiden. Het aantal antropogene inclusies is duidelijk groter dan in de onderliggende contexten. Zo zijn in de meeste lagen baksteenspikkels- en brokjes aanwezig. Af en toe is ook een kleine concentratie kalkmortel aanwezig of een matige hoeveelheid natuursteen, waaronder leisteen. In het proefputtenonderzoek is een soortgelijke context niet aanwezig.

Bovenop C. II-41 zijn enkel nog lagen aanwezig die ontegensprekelijk antropogeen van aard zijn. De oudsten zijn verzameld onder C. II-25 (Afb. 9). Deze context bestaat uit enkele puinlagen, afgewisseld met (zand)lemige lagen die brokken puin bevatten. Deze lagen kennen onderling verschillende, onregelmatige oversnijdingen maar de onder- en bovenkant van het geheel (de context) zijn nagenoeg vlak. Het sediment is volledig gereduceerd, getuigend van de hoge grondwatertafel, en bevat een matige hoeveelheid houtskoolspikkels. Het puin bestaat hoofdzakelijk uit baksteen en kalkmortel. In het proefputtenonderzoek is deze context geregistreerd als laag I-9, een onderdeel van C. I-4. In het licht van de huidige inzichten is het echter aangewezen om ook van laag I-9 een aparte context te maken. Deze krijgt het nummer C. I-9 (Afb. 10).

Vondsten

In C. II-43 is een grijs lokaal gedraaid stuk van een kan of kruik met een worstoor aangetroffen (ca. 1150-1600) alsook twee fragmenten rood lokaal gedraaid aardewerk, wellicht van eenzelfde individu (ca. 1175-1600). Deze context is met andere woorden op basis van het vondstmateriaal niet nauwer te dateren dan ca. 1175-1600.

TABEL 2: AARDEWERK UIT C. II-43.

Materiaal	Aantal
Aardewerk / Middeleeuws / Grijs / Lokaal gedraaid / kan/kruik	1
Aardewerk / Middeleeuws / Rood / Lokaal gedraaid / niet gedetermineerd	2

In C. II-41 zijn vier nagels, een dierlijk botfragment en drie fragmenten aardewerk aangetroffen. Een fragment van een kom in grijs lokaal gedraaid aardewerk uit laag II-41 is te dateren van ca. 1050 tot 1600. De productie van een fragment rood lokaal gedraaid aardewerk en een steengoedfragment type Westerwald met kobaltblauwe versiering en een stempel uit laag II-39 zijn respectievelijk na ca. 1500 en na ca. 1580 te dateren. Dit geeft voor C. II-41 een datering van eind 16de tot begin 17de eeuw.

TABEL 3: VONDSTEN UIT C. II-41.

Materiaal	Aantal
Aardewerk / Middeleeuws / Grijs / Lokaal gedraaid / kom	1
Aardewerk / Postmiddeleeuws / Rood / Lokaal gedraaid / niet gedetermineerd	1
Aardewerk / Postmiddeleeuws / Steengoed / Steengoed type Westerwald / niet gedetermineerd	1
Bot / Dierlijk bot	1
Metaal / Ferro / Constructie / Spijker/nagel	1
Metaal / Ferro / Constructie / Spijker/nagel	3

De duidelijk antropogene C. II-25 bevat een duidelijk grotere hoeveelheid vondstmateriaal in vergelijking met de onderliggende, natuurlijke contexten. Zo zijn 37 fragmenten aardewerk (MAI: 18), 5 fragmenten dierlijk bot, 1 daktegel, 5 nagels en 2 metaalslakken ingezameld.

Een stuk van een pijpkopje, een fragment porselein met blauwe beschildering en een fragment van een kachelpan of kom zijn gezien de relatieve chronologie met de stratigrafisch jongere contexten (cf. infra) vermoedelijk als intrusief te beschouwen. De rest van het vondstenassemblage is wellicht te dateren eind 16de tot begin 17de eeuw. Enkele fragmenten middeleeuws aardewerk worden immers slechts geproduceerd tot het einde van de 16de eeuw terwijl de productie van het overige aardewerk pas start in de 17de eeuw of in het geval van de fragmenten faience pas vanaf ca. 1625.

TABEL 4: VONDSTEN UIT C. II-25.

Materiaal	Aantal
Aardewerk / Middeleeuws / Grijs / Lokaal gedraaid / niet gedetermineerd	1
Aardewerk / Middeleeuws / Grijs / Lokaal gedraaid / niet gedetermineerd	3
Aardewerk / Middeleeuws / Rood / Lokaal gedraaid / grape	1
Aardewerk / Middeleeuws / Rood / Lokaal gedraaid / niet gedetermineerd	7
Aardewerk / Middeleeuws / Steengoed / Steengoed met engobe/zoutglazuur (Langerwehe, Raeren, Frechen, Keulen) / niet gedetermineerd	1
Aardewerk / Middeleeuws / Steengoed / Steengoed Siegburg / eierdopbeker	1
Aardewerk / Postmiddeleeuws / Ander aardewerk / Ander witbakkend aardewerk / niet gedetermineerd	1
Aardewerk / Postmiddeleeuws / Ander aardewerk / Faience / bord	1
Aardewerk / Postmiddeleeuws / Ander aardewerk / Faience / niet gedetermineerd	1
Aardewerk / Postmiddeleeuws / Ander aardewerk / Porselein / niet gedetermineerd	1
Aardewerk / Postmiddeleeuws / Pijpaarde / Pijpjes	1
Aardewerk / Postmiddeleeuws / Rood / Lokaal gedraaid / kachelpan/kom	1
Aardewerk / Postmiddeleeuws / Rood / Lokaal gedraaid / kamerpot	1

Aardewerk / Postmiddeleeuws / Rood / Lokaal gedraaid / niet gedetermineerd	5
Aardewerk / Postmiddeleeuws / Rood / Lokaal gedraaid / niet gedetermineerd	7
Aardewerk / Postmiddeleeuws / Rood / Lokaal gedraaid / niet gedetermineerd	1
Aardewerk / Postmiddeleeuws / Rood / Lokaal gedraaid / niet gedetermineerd	2
Aardewerk / Postmiddeleeuws / Steengoed / Steengoed met engobe/zoutglazuur algemeen / niet gedetermineerd	1
Totaal	37
Bot / Dierlijk bot	2
Bot / Dierlijk bot	3
Bouwmateriaal / Daktegel	1
Metaal / Ferro / Constructie / Spijker/nagel	1
Metaal / Ferro / Constructie / Spijker/nagel	3
Metaal / Ferro / Constructie / Spijker/nagel	1
Metaal / Metaalslak	2

Interpretatie

De scherpe grens tussen C. I-6/C. II-29 en C. I-11/C. II-43 is, gezien het golvende oppervlak, niet het gevolg van aftopping door de mens. Wellicht moet eerder gedacht worden aan een plotse verandering in het fluviaatiele afzettingmilieu ter hoogte van het projectgebied. Deze verandering is vermoedelijk op het einde van de 15de eeuw of in de eerste helft van de 16de eeuw te situeren. Deze datering volgt enerzijds uit het vondstmateriaal (*terminus ante quem* rond ca. 1600) en de stratigrafische positie van C. II-43 bovenop C. II-29 (met bovenaan een fragment Doorniks aardewerk, ca. 1450-1550, zie 3.3.2.3.1). Anderzijds is op de historische kaarten uit de tweede helft van de 16de eeuw te zien dat de Dender reeds een vaste loop heeft gekregen. De kaarten van zowel Deventer (1550-1565), Guicciardini (1567) en Braun en Hoogenbergh (1588) als alle latere kaarten tonen immers dezelfde Y-vormige samenvloeiing van de Dender met een zijtak. Wellicht is dit een gevolg van de systematisch voortschrijdende ophoging van de winterbedding vanaf de 12de eeuw (zie 3.2.4). Het is wellicht een van deze ophogingsfasen die voor de plotse verandering in het sedimentatieproces ter hoogte van het projectgebied heeft gezorgd. Op de kaarten uit de tweede helft van de 16de eeuw is deze transformatie reeds verleden tijd, wat een *terminus ante quem* geeft voor C. I-11/C. II-43. De blekere, lichtgrijze bandjes zand in C. I-11/C. II-43 zijn mogelijk te interpreteren als stuifzand dat door de steeds drogere en initieel onbegroeide winterbedding welig kon tieren.

De kaarten van Deventer en Guicciardini tonen tussen de Dender en de zijtak grasland tot aan de gebogen stadsmuur. Dit suggereert dat het gebied minder vaak overstroomde en begon op te drogen, met het ontstaan van een vegetatiehorizont (Ah horizont) tot gevolg. Dit lijkt te corresponderen met de organisch-rijke donkergrijze tot zwarte lagen van C. II-41 in de noordelijke helft van het projectgebied. Enkele onderbrekingen tussen de verschillende organische-rijke lagen tonen aan dat het terrein nog niet volledig gevrijwaard was van overstromingen. Deze zorgden vermoedelijk voor zowel erosie als sedimentatie. Meer naar het noordwesten van de profielen neemt de erosie toe. De onderliggende, horizontaal gelegen C. II-43 is steeds meer ingesneden en de verschillende vegetatiehorizonten van C. II-41 zijn steeds moeilijker van elkaar te onderscheiden of verdwijnen geheel. Meer naar het zuidoosten krijgt de sedimentatie meer de overhand. De onderliggende C. II-43 is minder ingesneden en de vegetatiehorizonten zijn van elkaar gescheiden door stelselmatig dikker wordend alluviaal sediment. Dit patroon is te verklaren door de verandering van een brede overstromingsvlakte, met voornamelijk horizontale afzettingen, naar een smal overstromingsgebied. Het sediment hoopt zich op tegen de nieuwe, opgehoogde randen van het smallere overstromingsgebied (hier in het zuidoosten) en de Dender snijdt zich steeds dieper in (hier in het noordwesten).



Fig. 46. Geschatte mogelijke locatie van de proefputten (blauw) en de werfbegeleiding (rood) op de kaart van Deventer (1550-1565) (bron: Kbr.be (online)).

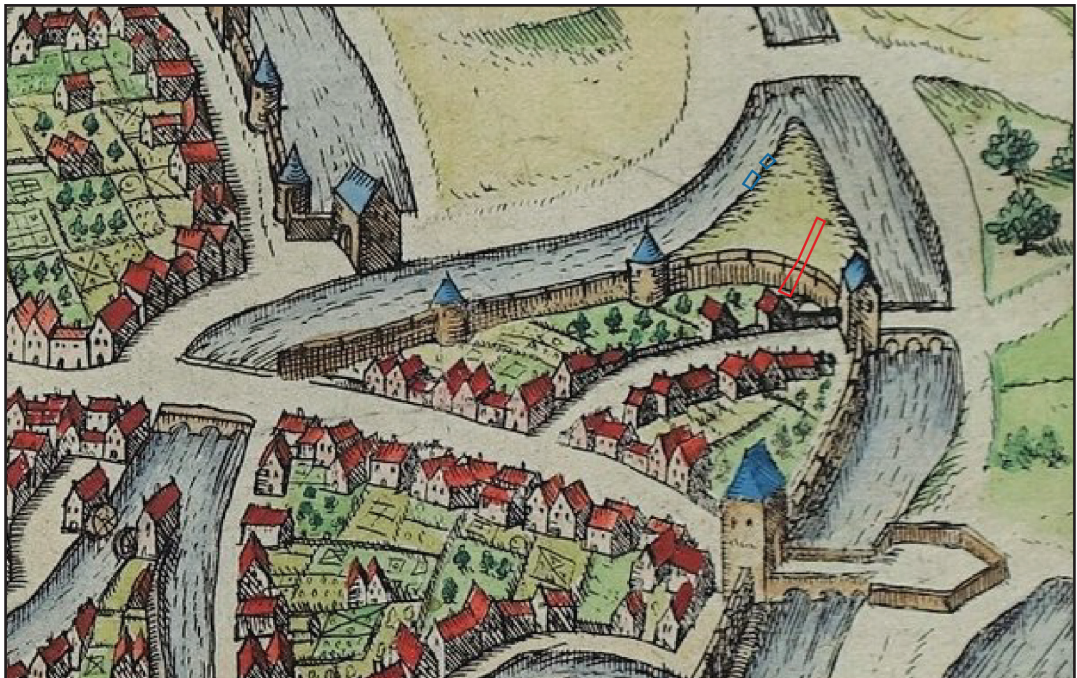


Fig. 45. Geschatte mogelijke locatie van de proefputten (blauw) en de werfbegeleiding (rood) op de kaart van Guicciardini (1567) (bron: Mapsandmaps.com (online)).

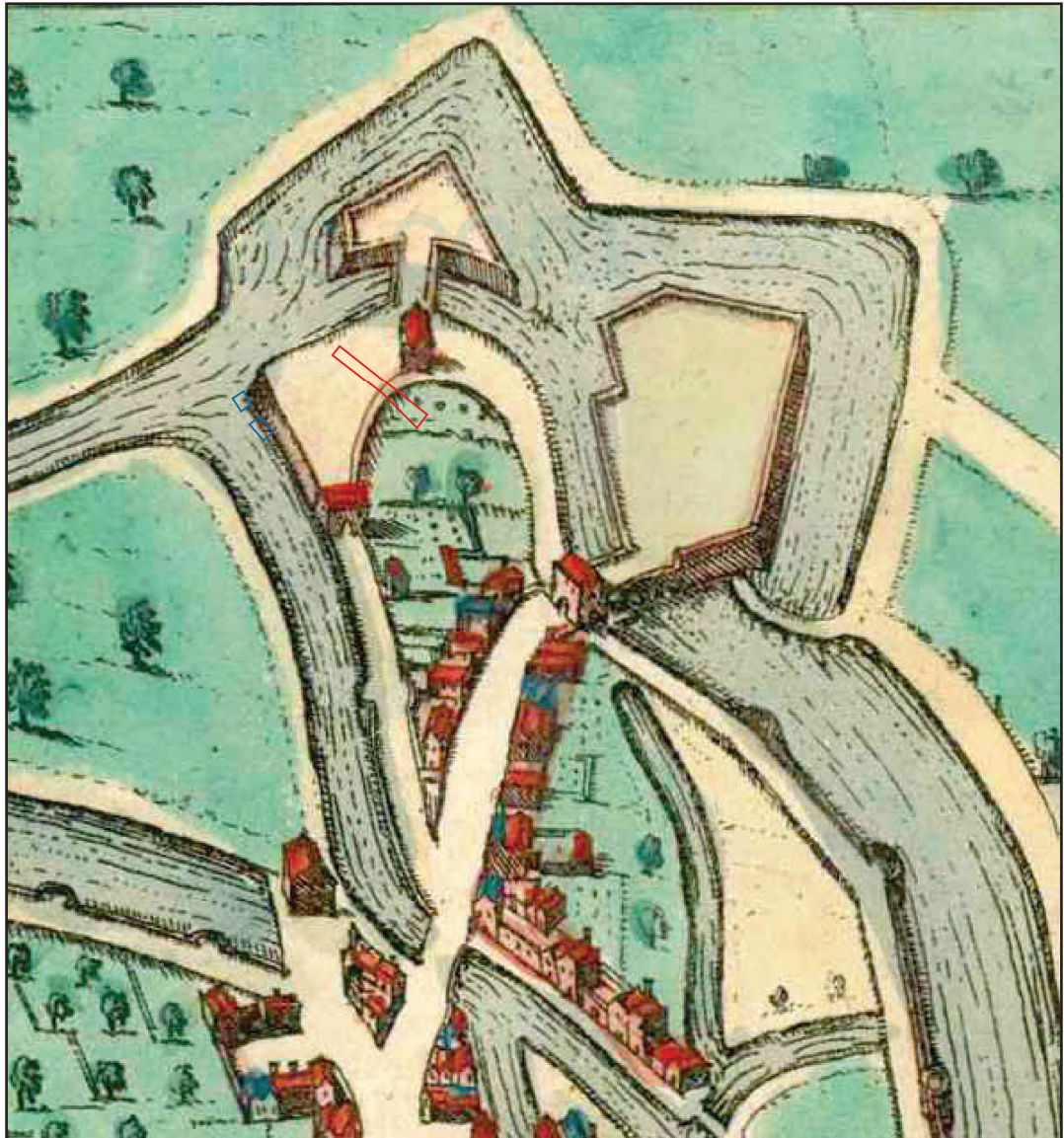


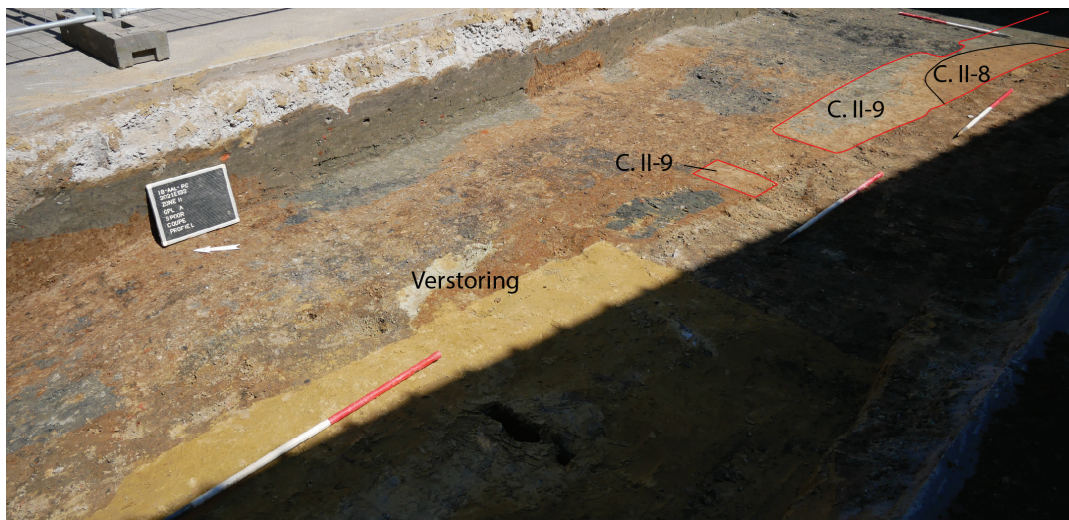
Fig. 47. Geschatte mogelijke locatie van de proefputten (blauw) en de werfbegeleiding (rood) op de kaart van Braun en Hoogenbergh (1588) (bron: antiquemaps.com (online)).

Op basis van de historische kaarten en het vondstmateriaal is deze evolutie te dateren van de eerste helft van de 16de eeuw tot het einde van de 16de eeuw of het begin van de 17de eeuw.

Noch in de proefputten noch in de zuidoostelijke helft van de werfbegeleiding is C. II-41 aangetroffen. De proefputten bevinden zich vermoedelijk vlakbij of in de nieuwe bedding van de Dender. De vegetatiehorizonten zijn hier dus wellicht nooit tot ontwikkeling gekomen of zijn verdwenen door latere erosie. Ook een latere afgraving of verstoring valt niet uit te sluiten. In de zuidoostelijke helft van de werfbegeleiding is het bodemarchief boven C. II-43 volledig verstoord door latere graafwerken bij de aanleg van nutsleidingen en de huidige wegenis. Indien C. II-41 hier ook aanwezig was, is ze niet langer bewaard. Anderzijds doen de kaarten van Deventer, Guicciardini, Braun en Hoogenbergh en ook een latere kaart van De Dijn (1629) vermoeden dat er minstens vanaf het midden van de 16de eeuw een weermuur aanwezig was ter hoogte van het projectgebied. Deze was een segment van de tweede stadsmuur van Aalst, die hoofdzakelijk in de late middeleeuwen werd gebouwd. De geschatte locatie van de muur blijkt echter zwaar verstoord te zijn. Mogelijk in combinatie met de toepassing van fundering op poeren²⁷, verklaart dit vermoedelijk waarom hier geen

²⁷ Zoals bijvoorbeeld waargenomen bij de opgravingen van de stadsmuur op het Esplanadeplein (SOLVA, onuitgegeven rapport).

restanten van zijn aangetroffen tijdens de werfbegeleiding. Het olopemd hellend vlak van C. II-41 in zuidoostelijke richting kan echter gezien worden als een indirect aanwijzing voor het bestaan van deze muur. Deze zou immers voor het water en het alluviale sediment een direct obstakel vormen, wat voor het eerder beschreven proces van erosie en sedimentatie zorgt. Dit zou betekenen dat C. II-41 aan de andere kant van de muur, in de zuidoostelijke helft van de werfbegeleiding, nooit tot stand gekomen is. Aangezien C. II-43 ongehinderd doorloopt in de volledige werkput, zou dit ook betekenen dat deze muur pas ten vroegste op einde van de 15de eeuw en mogelijk pas in de eerste helft van de 16de eeuw opgericht is. Door de recente versterking van alle lagen boven in C. II-43 in de zuidoostelijke helft van de werfbegeleiding kan deze stelling met het huidige onderzoek niet verder gestaafd worden.



Afb. 11. Zicht vanuit het westen op GPL A in de zuidoostelijke helft van de werkput. Op deze locatie zou in de 16de eeuw een weermuur aanwezig kunnen geweest zijn. Deze zone is echter nagenoeg volledig verstoord.

Er komt een definitief einde aan de overstromingen wanneer ook het terrein ter hoogte van het projectgebied doelbewust door de mens wordt opgehoogd en genivelleerd met puin en grond. De puinpakketten en grondlagen van C. II-25 (C. I-9 in het proefputtenonderzoek) bevinden zich rechtstreeks bovenop de jongste organisch-rijke laag van C. II-41. De verschillende oversnijdingen binnen de context zijn wellicht te interpreteren als verschillende karrenvrachten, waarvan sommige vooral puin bevatten en andere meer grond. Het geheel had wellicht tot doel om de ondergrond te verstevigen, vlak te maken en boven het overstromingspeil te tillen. Mogelijk heeft het terrein na de ophoging nog enkele jaren braak gelegen. Anderzijds zou men in dat geval een vegetatiehorizont en/of uitgravingen verwachten die door de ophoging heen gaan. Geen van beide is waargenomen in de profielen. Dit kan dan weer te verklaren zijn door de beperkte oppervlakte van de werkput en de slechte bewaring en/of latere versterking van een eventuele (wellicht dunne) vegetatiehorizont.

Het vondstmateriaal dateert C. I-9/C. II-25 vermoedelijk op het einde van de 16de tot begin 17de eeuw. De stratigrafische positie lijkt dit ook te bevestigen. De jongste vegetatiehorizonten van C. II-41 zijn immers vermoedelijk nog na ca. 1580 te dateren en de contexten boven C. II-25 zijn te linken aan de 17de-eeuwse stadsversterkingen (zie 3.3.2.3.3). Bovendien is op de kaart van Braun en Hoogenbergh (1588) inderdaad een opgehoogd, braakliggend terrein waarneembaar ter hoogte van het plangebied. Het lijkt onderdeel uit te maken van een bastionnering die buiten de tweede stadsmuur tot ontwikkeling komt.

Hoewel het niet onmogelijk is dat de kaart van Braun en Hoogenbergh (1588) een actuele representatie is van de toenmalige situatie, kan men zich de vraag stellen of de voorstelling niet eerder een geplande, eventueel toekomstige situatie weergeeft. Verschillende vondsten uit C. II-25 zijn immers pas na ca. 1600 of zelfs na ca. 1625 te dateren. Bovendien lijkt de

kaart van Braun en Hoogenbergh ook op andere plaatsen toekomstplannen af te beelden in plaats van de toenmalige realiteit. Zo zijn net ten oosten van het plangebied twee bastions weergegeven. Een klein bastion aan een toren en een groter bastion aan een stadspoort. Een latere kaart uit 1629 toont hier echter nog geen bastions (Figuur 45). Nog later lijkt er wel een bastion aan de stadspoort te zijn opgericht (zie Figuur 46 en Figuur 47), waarvan nog relictten zichtbaar zijn in het huidige stratenpatroon (zoals de bocht in de Hoveniersstraat t.h.v. de Jan De Windtstraat), maar het bastion aan de toren is er schijnbaar nooit gekomen. De kaart van Braun en Hoogenbergh wordt dus beter buiten beschouwing gelaten. Een datering voor C. II-25 in het begin van de 17de eeuw, mogelijk pas na ca. 1625, lijkt het meest plausibel.

3.3.2.3.3. Fase 3: Stadsversterkingen (tweede kwart 17de eeuw – derde kwart van de 18de eeuw)

Beschrijving

Bovenop C. II-25 bevinden zich C. II-1 en C. II-4 (Afb. 9, Afb. 15). Hiervan is C. II-4 de oudste context, doorsneden door C. II-1. In de noordelijke hoek van de opgraving doorsnijdt C. II-1 ook C. II-25, C. II-41 en C. II-43 (Afb. 13). Als een homogeen, compact, grotendeels grijsblauw gereduceerd zandlemig pakket, vormt C. II-4 de grens van de reductie. De bovengrens van het pakket is in tegenstelling tot de ondergrens niet vlak, maar sterk “gelobd”. In de matrix zijn slechts weinig tot zeer weinig inclusies aanwezig, waaronder leisteen, baksteen en kalkmortel. Daarentegen is de zandlemige matrix van C. II-1 rood gekleurd²⁸ door het baksteenstof en bevat ze zeer veel spikkels en brokjes baksteen alsook spikkels kalkmortel en stukjes leisteen. In de noordelijke hoek van de werfbegeleiding ligt nog C. II-59 bovenop C. II-1 (Afb. 13). Deze context heeft nagenoeg dezelfde eigenschappen als C. II-4, maar kan hier stratigrafisch gezien geen onderdeel van uitmaken aangezien C. II-4 doorsneden wordt door C. II-1.



Afb. 12. Profiel 1AB.

In het proefputtenonderzoek is een uitgraving C. I-10 geregistreerd doorheen C. I-6 en C. I-11 (Figuur 48, Afb. 12). Het is onduidelijk of C. I-10 ook C. I-9 doorsnijdt omdat laag I-8 (C. I-5) al door C. I-9 heen gaat en contact maakt met C. I-10 aan de ondergrens van C. I-9. Laag I-8 ligt op C. I-10 en wordt op haar beurt bedekt door C. I-7. De opvulling van C. I-10 is lichtblauwgrijs gereduceerd zandlemig met zeer veel spikkels baksteen en zeer weinig spikkels kalkmortel.

²⁸Een deel van C. II-1 is donkerblauwgrijs gekleurd, te wijten aan reductie.

Laag I-8 is sterk te vergelijken met C. II-59, inclusief de oriëntatie van de helling. C. I-7 is te omschrijven als een puinpakket met zeer veel baksteen en kalkmortel in de vorm van gruis tot grote brokken. Profiel 2AB uit het proefputtenonderzoek ligt in het verlengde van profiel 1AB. Hierbij lijkt laag I-5 het bruine (geoxideerde) vervolg te zijn van I-8. Laag I-4 lijkt het vervolg te zijn van laag I-7 want het bevat eveneens grote hoeveelheden baksteen, kalkmortel en natuursteen (waaronder leisteen en kalkzandsteen). Het puin is hier echter met veel meer grond vermengd, waardoor ze vermoedelijk toch als twee aparte contexten te beschouwen zijn.

Tenslotte is in het proefputtenonderzoek bovenop laag I-4 een organisch-rijke laag waargenomen (C. I-3) (Figuur 48, Afb. 12). Deze is vrij humeus met enkele brokjes en brokken baksteen, maar geen dateerbare vondsten.

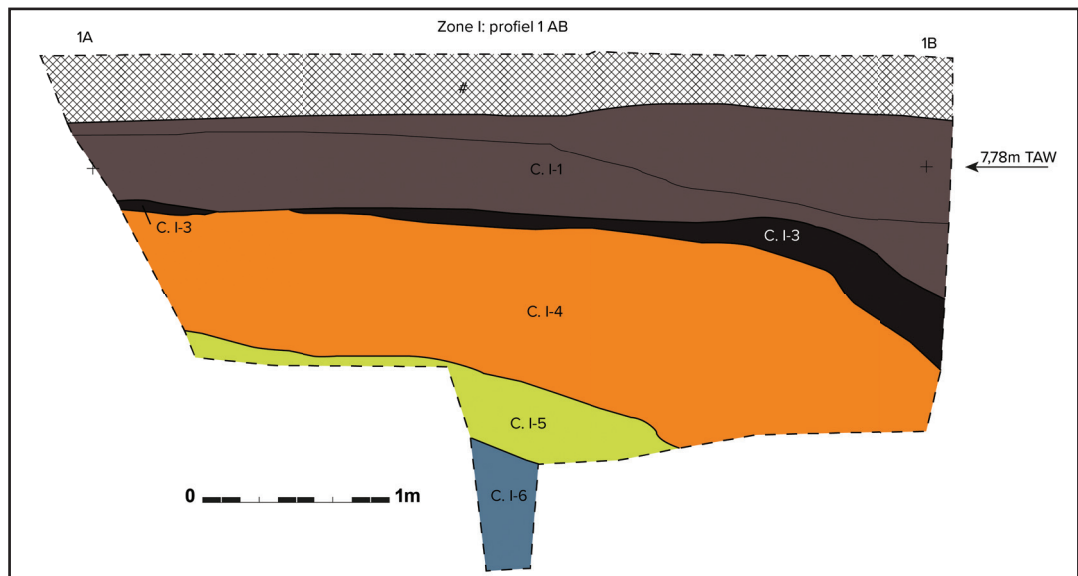


Fig. 48. Profiel 1AB met aanduiding van de contexten.

Vondsten

In C. II-4 en C. II-59 zijn buiten de hierboven vermelde inclusies geen vondsten aangetroffen.

In C. II-1 zijn twee fragmenten van borden in *faïence fine* aangetroffen, alsook twee fragmenten van een kachelpan of kom in lokaal gedraaid rood aardewerk (MAI: 1) en een daktegelfragment, mogelijk van een nokdaktegel. Een van de fragmenten *faïence fine* had een gegolfde rand met daarop een geschilderde blauwe lijn. Het *faïence fine*, geproduceerd vanaf ca. 1750, geeft een *terminus post quem* aan het assemblage.

TABEL 5: VONDSTEN UIT C. II-1.

Materiaal	Aantal
Aardewerk / Postmiddeleeuws / Ander aardewerk / Faïence fine / bord	1
Aardewerk / Postmiddeleeuws / Ander aardewerk / Faïence fine / bord	1
Aardewerk / Postmiddeleeuws / Rood / Lokaal gedraaid / kachelpan/kom	2
Bouwmateriaal / Daktegel	1

Tijdens het proefputtenonderzoek zijn in spoor I-4 van C. I-4 tien fragmenten aardewerk (MAI: 8) en één fragment van een klei pijpje aangetroffen. Het gaat meer bepaald om twee fragmenten witbakkend aardewerk (MAI: 1), twee fragmenten *faïence fine* van een bord en van een koffiekop met goudlusterversiering, een fragment majolica met blauw aan de buitenkant, vier fragmenten rood lokaal gedraaid aardewerk (MAI: 3) van onder meer een kom en een teil en een steengoedfragment met engobe/zoutglazuur. De gehele context kan vanwege

het faïence fine gedateerd worden na ca. 1750. De aanwezigheid van een fragment majolica suggereert dat de context niet veel jonger zal zijn dan ca. 1800.

TABEL 6: AARDEWERK UIT SPOOR I-4.

Materiaal	Aantal
Aardewerk / Postmiddeleeuws / Ander aardewerk / Ander witbakkend aardewerk / niet gedetermineerd	2
Aardewerk / Postmiddeleeuws / Ander aardewerk / Faïence fine / bord	1
Aardewerk / Postmiddeleeuws / Ander aardewerk / Faïence fine / koffiekop	1
Aardewerk / Postmiddeleeuws / Ander aardewerk / Majolica / niet gedetermineerd	1
Aardewerk / Postmiddeleeuws / Pijpaarde / Pijpjes	1
Aardewerk / Postmiddeleeuws / Rood / Lokaal gedraaid / kom	1
Aardewerk / Postmiddeleeuws / Rood / Lokaal gedraaid / niet gedetermineerd	2
Aardewerk / Postmiddeleeuws / Rood / Lokaal gedraaid / teil	1
Aardewerk / Postmiddeleeuws / Steengoed / Steengoed met engobe/zoutglazuur algemeen / niet gedetermineerd	1

Interpretatie



Fig. 49. Geschatte mogelijke locatie van de proefputten (blauw) en de werfbegeleiding (rood) op de kaart van De Dijn (1629) (bron: foto 't Gasthuys Stedelijk Museum Aalst).

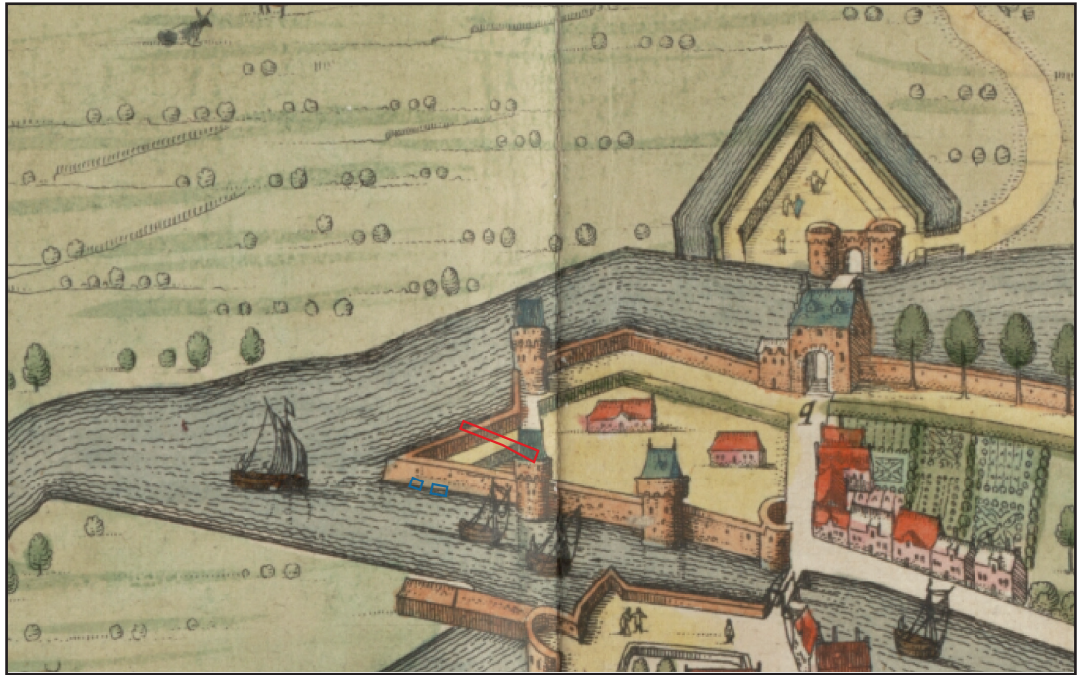


Fig. 50. Geschatte mogelijke locatie van de proefputten (blauw) en de werfbegeleiding (rood) op de kaart van Sanderus (1649) (bron: Universiteitsbibliotheek Universiteit Gent [online]).²⁹

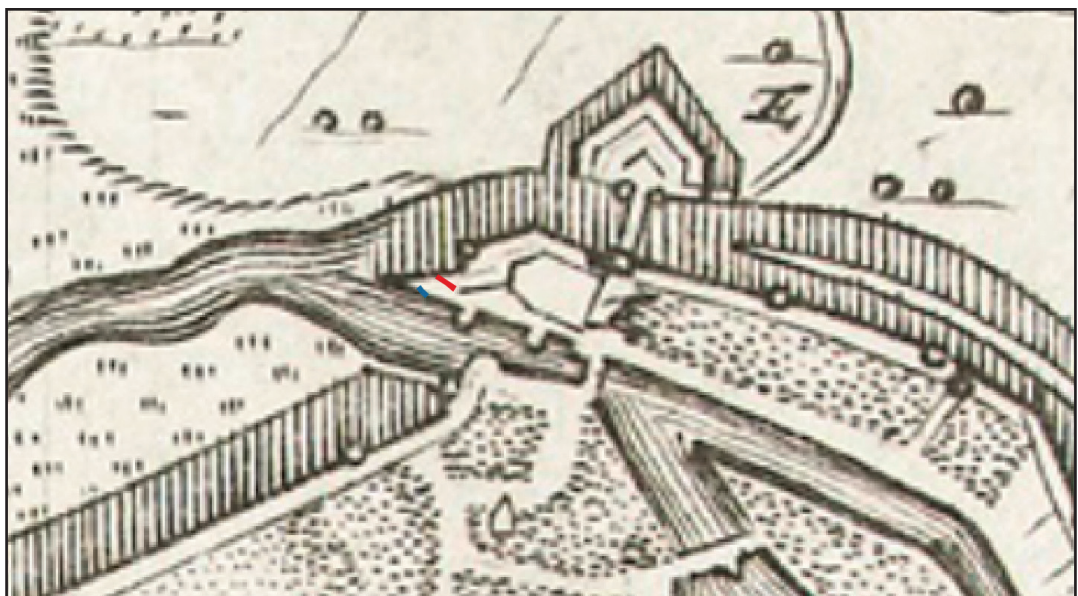


Fig. 51. Geschatte mogelijke locatie van de proefputten (blauw) en de werfbegeleiding (rood) op de kaart van Pieter Mortier (1702-1703) (bron: Rijksmuseum Amsterdam [online]).³⁰

²⁹ <https://lib.ugent.be/viewer/archive.ugent.be%3AEEB84A32-D219-11DF-9DFE-FEF978F64438#?c=&m=&s=&cv=309&xywh=-1486%2C0%2C11140%2C6143>

³⁰ <https://www.rijksmuseum.nl/nl/collectie/object/Plattegronden-van-Gent-Aalst-Brugge-en-Oostende-ca-1702--1c541ce2f58d268ad843a294a4771775>

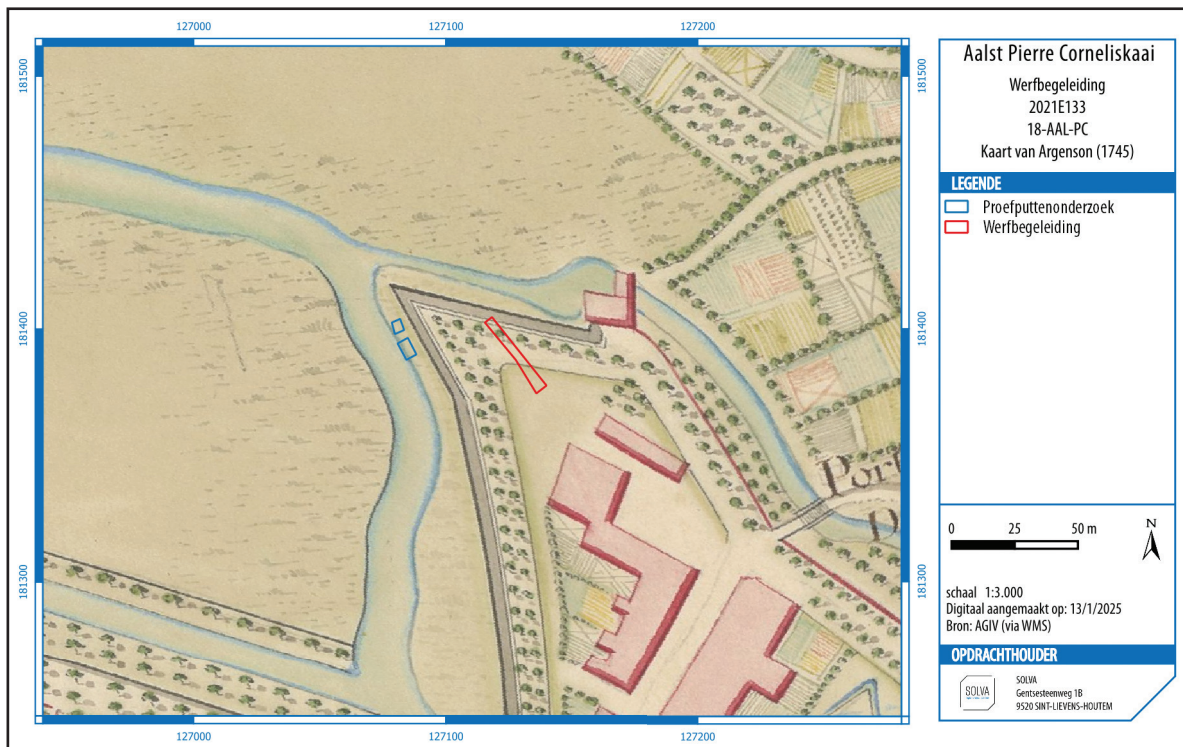


Fig. 52. Locatie van de proefputten en de werfbegeleiding op het gegeoreferende Plan de la Ville et faubourgs d'Alost van de Graaf van Argenson (1745). De nauwkeurigheid van de georeferentie is beperkt en zorgt voor vervormingen van de oorspronkelijke kaart.



Fig. 53. Locatie van de proefputten en de werfbegeleiding op de Villaretkaart. De kaart vertoont weinig detail, waardoor ook de georeferentie niet nauwkeurig is en teveel naar het noordwesten is opgeschoven. De stadsversterking ter hoogte van het projectgebied is met een zwarte lijn weergegeven.



Fig. 54. Locatie van de proefputten en de werfbegeleiding op de Ferrariskaart. De stadsversterkingen ter hoogte van het projectgebied zijn verdwenen. In plaats daarvan is nat weiland opgetekend.



Afb. 13. Zicht op het westelijk stuk van deelzone 2 van de opgravingen op het Esplanadeplein te Aalst. Er zijn onder meer sporen van het wallichaam (cyaan), een pijler van een eerste fase van de stadsmuur (geel) en een omgetrokken muur van een tweede fase (oranje) zichtbaar (bron: SOLVA, onuitgegeven rapport).

De eigenschappen van C. II-4, in het bijzonder de homogeniteit en compactheid van de zandleem alsook het gebrek aan vondsten en de weinige inclusies, doen vermoeden dat dit de *in situ* restanten zijn van een wallichaam. Ze zijn zeer gelijkaardig aan de eigenschappen van de restanten van het laatmiddeleeuwse wallichaam die bij de recente opgravingen op

het Esplanadeplein in Aalst zijn blootgelegd (Afb. 13).³¹ Na het bureauonderzoek en het proefputtenonderzoek werd de (laatmiddeleeuwse) tweede stadsmuur verwacht op de plaats van de werfbegeleiding. Gezien de stratigrafische positie bovenop een ophoging uit de eerste helft van de 17de eeuw (zie 3.3.2.3.2) kan C. II-4 echter geen restant zijn van deze tweede stadsmuur. Deze bevonden zich wellicht iets meer naar het zuidoosten (zie 3.3.2.3.2). Historische kaarten uit de 17de en 18de eeuw tonen echter een uitbreiding van de verdedigingswerken in noordwestelijke richting. Op het voorheen braakliggende stuk terrein tussen de Dender en haar zijtak worden een nieuwe aarden wal en stadsmuur opgericht. De stadsmuur bevindt zich aan de buitenzijde van de wal, aan de waterkant (zie Figuur 47 en Figuur 49). De Dender en haar zijtak fungeren als stadsgracht en lijken tot vlak tegen de muur te lopen. De kaart van De Dijn (1629) is onduidelijk maar toont mogelijk reeds een eerste aanzet tot de bouw van deze nieuwe stadsversterking. Wellicht is C. II-4 dus te interpreteren als de nog *in situ* bewaarde onderkant van het nieuwe wallichaam. Er zijn geen dateerbare vondsten aangetroffen in C. II-4, maar het historisch kaartmateriaal plaatst de bouw van de nieuwe stadsversterkingen in het tweede kwart van de 17de eeuw.

Hieruit volgt dat het puinpakket C. II-1 in de noordelijke hoek van de werfbegeleiding de restanten kunnen zijn van de nieuwe stadsmuur. Deze bevinden zich weliswaar niet meer *in situ*. Het zijn wellicht puinresten van bij de afbraak van de stadsmuur. Bij de afbraak heeft men wellicht vanuit de stadsgracht de wal en muur ondergraven. Dit zou de uitgraving doorheen C. II-4, C. II-25, C. II-41 en C. II-43 verklaren (Figuur 48, Afb. 15). Ook C. I-10 uit het proefputtenonderzoek is in het licht van deze bevindingen vermoedelijk te interpreteren als een uitgraafkuil voor de ondergraving van de wal en muur, opgevuld met restanten van het wallichaam en/of verstoorde moederbodem (Afb. 10). Ook op het Esplanadeplein zijn de stadsversterkingen wellicht op deze manier geslecht.³² De achtergebleven puinresten (C. II-1) zijn sterk verbrokkeld. Dit doet vermoeden dat de nog volledige bakstenen werden gerecupereerd. Vermoedelijk is C. II-59, sterk gelijkend op C. II-4 (cf. supra), te interpreteren als een deel van het wallichaam dat bij afbraakwerken in de uitgraafkuil is gedumpt. Een gelijkaardige redenering gaat ook op voor de lagen I-5 en I-8 uit het proefputtenonderzoek. Deze lagen, oorspronkelijk tot C. I-4 gerekend, zijn daarom als een aparte context (C. I-5) te beschouwen. Ook laag I-7 is wellicht geen onderdeel van C. I-4 en te interpreteren als een aparte context (C. I-7), vergelijkbaar met C. II-1, bestaande uit puinresten van de stadsmuur die bovenop C. I-5 zijn achtergelaten.

Op de kaart van de Graaf van Argenson (1745) staan de verdedigingswerken ter hoogte van de werfbegeleiding nog duidelijk afgebeeld maar elders zijn ze reeds verdwenen of worden ze nog slechts met een lijn aangeduid (zie Figuur 52).³³ Op de Villaretkaart (1745-1748) worden de contouren van de stadsmuur ter hoogte van het projectgebied nog slechts met een lijn aangegeven (zie Figuur 53). Dit lijkt te suggereren dat men er nog weinig belang aan hecht, wellicht is ze ook in staat van verval. Op de Ferrariskaart tenslotte (1771-1778) is de stadsmuur volledig verdwenen en is ter hoogte van het projectgebied weiland afgebeeld rond een rechtgetrokken en versmalde Denderarm/stadsgracht (zie Figuur 54). De Dender zelf is gekanaliseerd. In combinatie met de dateerbare vondsten uit C. II-1 doet dit vermoeden dat de definitieve afbraak te situeren is in het derde kwart van de 18de eeuw. Dit wordt bevestigd door de historische bronnen.³⁴

31 SOLVA, onuitgegeven rapport.

32 De Maeyer, De Graeve & Verbeke 2021, 101-104.

33 Op het Plan de la Ville van de Graaf van Argenson is tevens te zien dat het bastion aan de oostelijke stadspoort is verdwenen. Uit het stratenpatroon valt af te leiden dat het oorspronkelijk van de stadspoort tot de iets noordwestelijker gelegen toren reikte. Ook de stadsmuur is hier nog slechts met een lijn weergegeven i.t.t. de stadsmuur t.h.v. het projectgebied.

34 Wauters 1986, 26.

Uit bovenstaande beschouwingen en hoofdstuk 3.3.2.3.2 blijkt dat de lagen I-5, I-7, I-8 en I-9 uit het proefputtenonderzoek te interpreteren zijn als aparte contexten, los van C. I-4 (Figuur 48, Afb. 12). Hierdoor omvat deze context enkel nog laag I-4 zelf. Deze bestaat uit een dik pakket puin, vermengd met grond, dat aan de hand van de vondsten kan gedateerd worden tussen ca. 1750 en het begin van de 18de eeuw. Gezien de datering is I-4 wellicht ook in verband te brengen met de afbraakwerken van de stadsversterkingen. Wellicht betreft het een mengeling van de restanten van de muur en het wallichaam, hier gebruikt om de Denderarm te versmallen en recht te trekken zoals op de kaart van Ferraris te zien is (zie Figuur 54). In dat geval is ook C. I-4 te dateren in het derde kwart van de 18de eeuw. Overigens kunnen om diezelfde reden ook delen van C. I-5, C. I-8, C. I-10, C. II-1, C. II-4 en C. II-59 beschouwd worden als opvulling van de Denderarm.

Een extra argument voor bovenstaande redenering en datering van C. I-4 is de organisch-rijke C. I-3. Deze dekt C. I-4 af en is wellicht een restant van een vegetatiehorizont (Ah horizont) die zich kon vormen in de korte periode dat het terrein in gebruik was als weiland (zie Figuur 51). Een organisch-rijke laag zoals C. I-3 is nergens in de profielen van de werfbegeleiding waar te nemen. De “gelobde” bovengrens van C. II-4³⁵ geeft hier een mogelijke verklaring voor. Deze lobben zijn wellicht een gevolg van *trampling*, een fenomeen dat zich voordoet bij een intensieve betrapping van een vochtige ondergrond door vee (Figuur 42, Afb. 9, Afb. 14). Wellicht is hierdoor nooit een vegetatiehorizont tot stand kunnen komen ter hoogte van de werfbegeleiding.



Afb. 14. Hedendaags voorbeeld van *trampling* in een nat gebied. Het vee zakt diep weg in de modder en er is geen vegetatieontwikkeling (bron: SOLVA).

3.3.2.3.4. Fase 4: straat en plein (eind 18de eeuw - nu)

Beschrijving

Bovenop de restanten van de stadsverdediging en de vegetatiehorizont C. I-3 is een heterogeen pakket lagen aanwezig (zie Afb. 10). Dit kan grosso modo onderverdeeld worden in C. I-1, C. II-53, C. II-56 en de huidige bestrating die op de profielen als recente verstoring

35 C. II-4, niet te verwarren met C. I-4.

staat aangeduid (Figuur 42, Afb. 15). De opvulling van een lokale uitgraving (C. II-55) bevindt zich nog onder C. II-53 en is daarom als aparte context geregistreerd (zie 3.3.2.3.5). De uitgravingen die C. II-53 doorsnijden (nutsleidingen), zijn als recente verstoring opgetekend.

Ter hoogte van het plein aan de Houtkaai omvat C. I-1 twee zandige lagen met matig tot vrij veel brokjes en brokken baksteen die gestort zijn bovenop de organisch-rijke C. I-3. Ook vensterglas en steenkool/cokes-achtig materiaal is in deze context aangetroffen. In de andere proefput bevindt de huidige wegegrond zich rechtstreeks op de restanten van de stadsverdediging.

In de werkput van de werfbegeleiding bevindt C. II-56 zich bovenop de restanten van het wallichaam in de uitgraafkuil van de stadsmuur (C. II-59, zie 3.3.2.3.3) (Figuur 42, Afb. 15). Deze bestaat uit heterogene, compacte, zandige tot lemig zandige lagen met daartussen een sterk geconcentreerd pakket kalkmortel. Ook zijn er vrij veel stukjes natuursteen aanwezig, naast enkele spikkels en brokjes houtskool en baksteen. Deze context en de restanten van de stadsverdediging zijn afgedekt door C. II-53. Ze bestaat hoofdzakelijk uit een heterogene, bruin met grijze vlekken, lemig zandige laag met zeer weinig houtskoolspikkels (II-54) onder een dik pikzwart pakket (II-53 en II-71). Dit pakket bestaat uit een heterogene concentratie van steenkool/cokes-achtig materiaal, waarin zich ook nog enkele kasseien bevinden. De ondergrens van II-54 vertoont lobbige uitstulpingen in het onderliggende wallichaam (C. II-4, zie Afb. 9).



Afb. 15. Detail van profiel 10AB.

Vondsten

Buiten de reeds vermelde inclusies en de kasseien in C. II-53 zijn er geen vondsten te vermelden.

Interpretatie

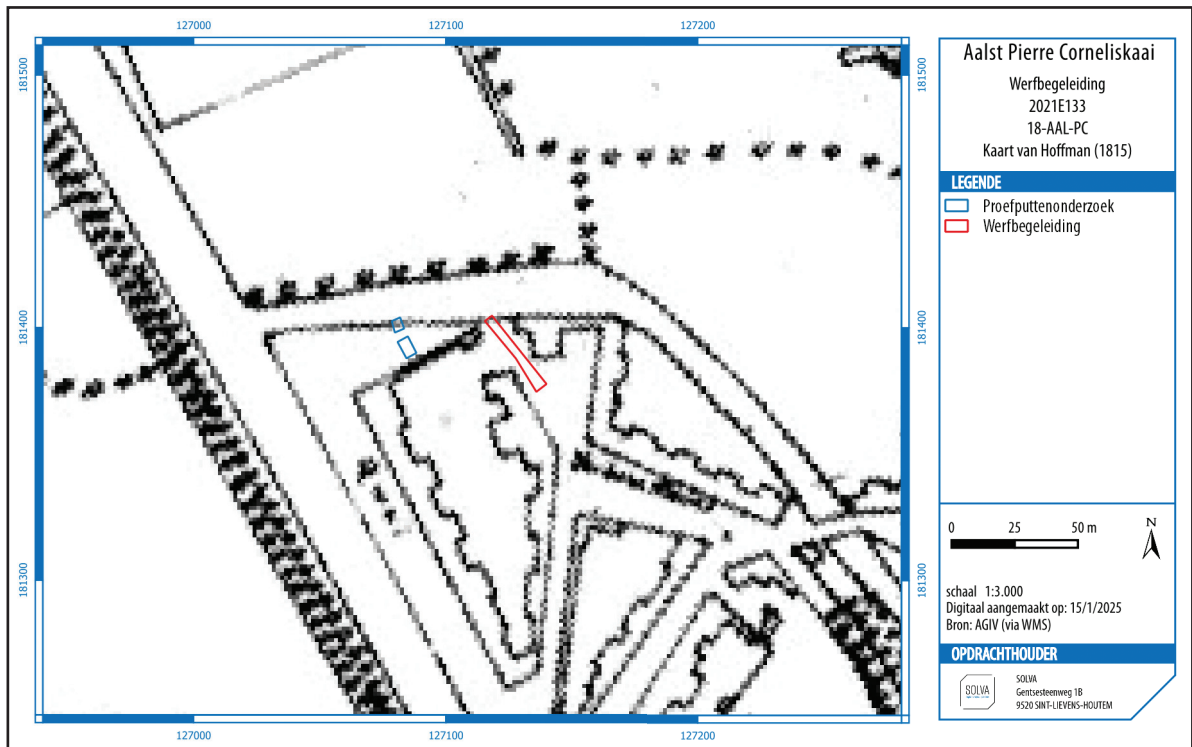


Fig. 55. Locatie van de proefputten en de werfbegeleiding op de georeferende stadsplattegrond van Hoffman (1815). De georeferentie is vrij accuraat maar de kaart is weinig gedetailleerd.



Fig. 56. Locatie van de proefputten en de werfbegeleiding op de Atlas der Buurtwegen (ca. 1841). De georeferende kaart is iets te veel naar het noordnoordwesten opgeschoven, maar is verder vrij accuraat en gedetailleerd.

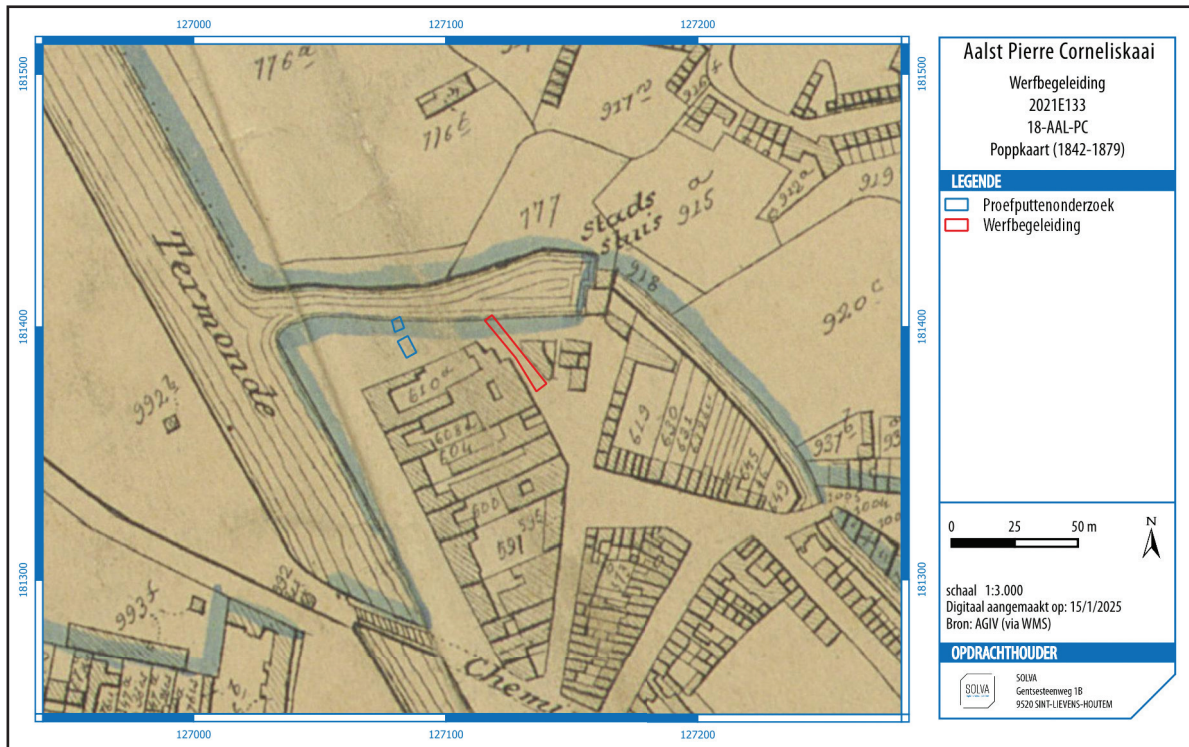


Fig. 57. Locatie van de proefputten en de werfbegeleiding op de Poppkaart (1842-1879). De georeferentie is vrij accuraat en gedetailleerd.

De context C. II-53 is wellicht te interpreteren als een restant van de voorloper van de Korte Moutstraat. Wellicht was dit een kasseiweg op een fundering van het steenkool/cokes-achtige materiaal dat werd aangetroffen. Voor de opbouw van de wegenis heeft men het terrein eerst nog genivelleerd en droger gemaakt door een laag lemig zand (II-54) over de zone met *trampling* (zie 3.3.2.3.3) aan te brengen. De uitgraafkuil van de vroegere stadsversterking werd verder opgevuld met bouwafval en grond (C. II-56). Mogelijk gebeurde dit al in een eerder stadium, dit is door een gebrek aan dateerbaar vondstmateriaal niet duidelijk. De aanleg van de kasseiweg zelf is eveneens door een gebrek aan dateerbare vondsten moeilijk te dateren. Op de stadsplattegrond van Hoffman (1815) is reeds een volledig uitgebouwde wijk met huizenblokken te zien. Aangezien op de kaart van Ferraris (1771-1778, zie Figuur 54) nog een weiland staat afgebeeld, is de kasseiweg hiertussen te dateren, op de overgang van de 18de naar de 19de eeuw.

De zandige en puinige lagen van C. I-1 zijn gestort om de in het derde kwart van de 18de eeuw versmalde en rechtgetrokken Denderarm verder op te vullen en op te hogen. Op de vrijgekomen en opgehoogde gronden zijn de voorlopers van de huidige bestrating en plein van de Houtkaai aangelegd. Dit gebeurde wellicht rond het midden van de 19de eeuw. De waterloop is immers nog bovengronds afgebeeld op kaarten uit het midden van de 19de eeuw (zoals de Atlas der Buurtwegen en de Poppkaart) (zie Figuur 56 en Figuur 57) maar de geschreven bronnen dateren de overwelving van de laatste stadsgrachten in de jaren '40 van de 19de eeuw³⁶. De waterloop wordt sindsdien doorheen een collector geleid.

3.3.2.3.5. Overige individuele sporen en spoorcombinaties

Vanwege de beperkte onverstoord oppervlakte heeft het terreinonderzoek weinig archeologische sporen opgeleverd die beperkt zijn in omvang, zoals paalsporen en kuilen. Het onderzoek heeft zich daarom toegespitst op de analyse van de gelaagdheid van de bodemprofielen (zie 1.4.1.1). Hieruit volgt dat in voorgaande hoofdstukken enkel deze gelaagdheid aan bod gekomen is. De sporen met een beperkte omvang, in totaal twee (C. II-64 en C. II-55), komen daarom hier aan bod.

In profiel 10AB behelst C. II-64 een uitgraving met een beperkte diameter (ca. 50cm) onder C. II-25, de eerste intentionele, antropogene ophoging van het terrein in het begin van de 17de eeuw (zie 3.3.2.3.2). Het spoor heeft een heterogene, zandige lemige en gereduceerde donkerblauwgrijze vulling met lichtblauwgrijze vlekken. Het bevat enkele houtskool- en baksteenspikkels en doorsnijdt C. II-41 en C. II-43 (zie 3.3.2.3.2). De onderkant van het spoor is niet bereikt. De functie van het spoor is niet duidelijk. Vanwege de stratigrafische positie is deze uitgraving een bewijs van antropogene activiteiten ter hoogte van het projectgebied vóór de ophoging aan het begin van de 17de eeuw. De uitgraving gebeurde wel pas nadat het gebied meer stabiel geworden was en nog maar sporadisch overstroomde, op het einde van de 16de eeuw.

Voor de aanleg van de kasseiweg (C. II-53) in de 19de eeuw is er in de noordelijke hoek van het terrein een uitgraving (C. I-55) gebeurd doorheen de verschillende opvullingspakketten van de stadsgracht en uitgraafkuil voor de ondergraving van de stadsversterkingen (C. II-56, C. II-59 en C. II-1). De onderkant van de uitgraving is niet bereikt. Ze heeft een heterogene, bruin met grijze vlekken, zandlemige vulling met wat houtskool- en kalkmortelspikkels en spikkels en brokken baksteen. De interpretatie is onduidelijk, deels omdat het spoor grotendeels verstoord is door een jongere bakstenen riolering. De rechte wanden doen vermoeden dat het een mogelijke voorloper van deze riolering betreft.

Niet alleen sporen met een beperkte omvang maar ook enkele lagen zijn in de voorgaande hoofdstukken onbesproken gebleven. Ze zijn gegroepeerd onder C. II-8, C. II-9 en C. II-10 en zijn buiten beschouwing gelaten omdat uit de stratigrafie bleek dat het recente verstoringen betreft. Ook C. II-51 wordt verder niet besproken omdat dit contextnummer de steenslagfundering van het huidige straatniveau benoemt en bijgevolg als recente verstoring te beschouwen is.

3.4. BESCHRIJVING VAN HET BESTAND AAN CULTURELE VONDSTEN EN NATUURWETENSCHAPPELIJKE VONDSTEN

3.4.1. Beschrijving van de analysemethoden en -technieken

De vondsten zijn tijdens het terreinwerk met een uniek volgnummer (inventarisnummer) gekoppeld aan een individueel laagnummer. Op die manier is er een dubbele controle waardoor het foutenpercentage tijdens het inzamelen van de vondsten bijna volledig kan gereduceerd worden. Bij de analyse worden de vondsten per laagnummer (spoorniveau) ingevoerd in de SOLVA-Archeologiedatabank. Deze databank voorziet een uitgebreide mogelijkheid tot determinatie, datering en assessment. Hieraan zijn de verschillende vondsten en staalnummers van de vondsten gekoppeld. Bij het ingeven van de vondsten wordt 'automatisch' een datering gegenereerd, maar deze kan manueel overschreven worden. Dit geldt op spoor-, spoorcombinatie- en structuurniveau. De databank laat eveneens toe de vondstgegevens te bevragen en te exporteren naar Excel. Bovendien kan voor elke vondst een logboek van de verschillende behandelingen aangemaakt worden. Het aardewerk wordt in technische groep onderverdeeld en nadien per vorm geteld. Voor de datering van het aardewerk wordt steeds de volledige spoorcombinatie (= context) in ogenschouw genomen. Van de relevante stukken zijn foto's gemaakt. Het metaal is gedroogd en ingepakt volgens de regels van de kunst.

3.4.2. Beschrijving van de uitwerkingsmethoden

Zie hoofdstuk 3.3.

3.4.3. Beschrijving van de vondsten

De relevante vondsten zijn besproken in hoofdstuk 3.3. bij de respectievelijke contexten

(spoorcombinatie). Een detail van de determinatie van de vondsten is terug te vinden in de lijst in bijlage 1.

3.4.4. Beschrijving en analyse van de vondstcategorieën

Zie hoofdstuk 3.3 en bijlage 1.

3.4.5. Analyse van de typologische, chronologische en ruimtelijke indeling van de vondsten

In hoofdstuk 3.3 en 3.4.4 zijn de verschillende relevante vondsten besproken in relatie tot de contexten (spoorcombinaties) waarin deze zijn gevonden.

3.5. DATERING EN INTERPRETATIE VAN DE ARCHEOLOGISCHE SITE

3.5.1. Relatieve datering op basis van het sporenbestand en vondstenbestand

Zie hoofdstuk 3.3 en lijsten in bijlage 1.

3.5.2. Absolute datering op basis van vondsten

Zie hoofdstuk 3.3 en bijlage 1.

3.5.3. Absolute datering op basis van natuurwetenschappelijke dateringstechnieken

Niet van toepassing. Er zijn in dit stadium van het onderzoek geen natuurwetenschappelijke dateringstechnieken toegepast.

3.5.4. Absolute datering op basis van historische bronnen

Zie hoofdstukken 3.1.2 en 3.3.

3.5.5. Tafonomische opbouw en formatie van de archeologische site

Zie hoofdstuk 3.2.

3.6. SYNTHESE VAN DE KENNIS OVER DE ARCHEOLOGISCHE SITE

3.6.1. Gemotiveerde interpretatie van de vondsten, vondstcategorieën, sporen, spoorcombinaties, spoorcategorieën, archeologische structuren, en activiteitenzones

Samenvattend kan gesteld worden dat de onderste en oudste lagen die werden aangetroffen wellicht te interpreteren zijn als sediment dat door de Dender is afgezet in de winterbedding en bij overstromingen van de zomerbedding (C. I-6 en C. II-29). In het sediment is antropogeen materiaal aanwezig dat enerzijds van elders door de rivier is meegevoerd en anderzijds een restant is van menselijke activiteiten op of nabij de site. De stelselmatige aanvoer van alluviaal materiaal gebeurt wellicht tot in de 16de eeuw.

Op het einde van de 16de eeuw en het begin van de 17de eeuw komt het terrein geleidelijk aan “droog” te liggen (C. II-43). Hierdoor kan begroeiing ontstaan, weliswaar in natte omstandigheden en met nog enkele sporadische overstromingen. Dit vertaalt zich in het profiel als organisch-rijke begroeiingshorizonten, van elkaar gescheiden door dunne lagen sediment (C. II-41). In deze periode, wellicht ten laatste in het midden van de 16de eeuw, bevindt het zuidoostelijke deel van de werfbegeleiding zich wellicht reeds achter de bescherming van een segment van de tweede, “laatmiddeleeuwse” stadsmuur van Aalst. Hiervoor zijn echter enkel historisch(-cartografische) bronnen voorhanden. Er zijn van deze tweede stadsmuur geen resten aangetroffen tijdens de werfbegeleiding, wellicht omdat het terrein op deze locatie zwaar verstoord is.

In het begin van de 17de eeuw bedekt men het terrein buiten de stadsomwalling met grond en puinafval om het verder op te hogen en te vrijwaren van overstromingen (C. I-9 en C. II-25). Op de kaart van Sanderus uit 1649 staat tegen de Denderarm/stadsgracht een nieuwe stadsmuur afgebeeld met aan de stadszijde een aarden wal. Vermoedelijk zijn de lagen die zich bovenop

de 17de-eeuwse ophoging bevinden restanten van deze verdedigingswerken. Hierbij is C. II-4 wellicht een restant van het wallichaam dat zich nog in situ bevindt. De Denderarm/stadsgracht lijkt op dit moment ten minste deels uitgegraven te zijn. Zowel in profiel 2AB van het proefputtenonderzoek en in de profielen 9AB en 10AB van de werfbegeleiding is in het noorden in de 17de-eeuwse ophoging immers een schuine insnijding zichtbaar. Wellicht werd na de bouw van de muur de Denderarm/stadsgracht tot vlak aan de muur uitgegraven.

De Denderarm/stadsgracht is opgevuld met grondresten en puinafval die respectievelijk afkomstig lijken te zijn van het wallichaam (spoor I-8 van C. I-5 en C. II-1) en de weermuur (C. I-7 en C. II-59), aangevuld met materiaal dat wellicht is aangevoerd (C. I-4, spoor I-5 van C. I-5 en C. II-56). De afbraak van de verdedigingswerken en de (gedeeltelijke) opvulling van de Denderarm/stadsgracht gebeurde wellicht in het derde kwart van de 18de eeuw.

Na de afbraak van de verdedigingswerken en de versmalling van de Denderarm/stadsgracht heeft het terrein enige tijd braak gelegen en was er opnieuw begroeiing in natte omstandigheden aanwezig. Dit kan afgeleid worden uit de kaart van Ferraris (1771-1778) en de organisch-rijke laag C. I-3 uit profiel 2AB van het proefputtenonderzoek.

Op de overgang van de 18de naar de 19de eeuw heeft men het terrein verder in gebruik genomen en de directe voorloper van de huidige Korte Moutstraat aangelegd. Op de stadsplattegrond van Hoffman (1815) is er immers reeds een volledig uitgebouwde stadswijk afgebeeld. In profiel 10AB van de werfbegeleiding weerspiegelt C. II-53 een opeenvolging van straatniveaus, waarbij minstens éénmaal gebruik is gemaakt van kasseien.

Rond het midden van de 19de eeuw wordt de Denderarm/stadsgracht uiteindelijk volledig opgevuld (C. I-1), het water wordt sindsdien door de collector gevoerd.

3.6.2. Bevindingen ten opzichte van de resultaten van eerder uitgevoerd archeologisch onderzoek

Hoewel de zone van de werfbegeleiding voor een zeer groot deel verstoord was, is door de gedetailleerde vergelijking van de profielen met de historisch-cartografische gegevens een vrij gedetailleerde tijdlijn bekomen van de ontwikkeling van dit stadsdeel.

Dit heeft toegelaten om enkele interpretaties van contexten uit het vlakbij eerder uitgevoerde proefputtenonderzoek³⁷ bij te sturen en/of aan te vullen. Door de beperkte grootte van de proefputten was het immers moeilijk om de aangetroffen contexten te situeren t.a.v. de stadsgracht en -omwalling.

Het projectgebied bevindt zich aan de rand van of net buiten het historische stadswaefsel, in de winterbedding van de Dender. De eerste duidelijke sporen van het in gebruik nemen van dit gebied dateren wellicht pas uit het begin van de 17de eeuw. Het is in ieder geval duidelijk dat het in de volle en late middeleeuwen nog een grotendeels natuurlijk gebied was, in tegenstelling tot het historische centrum van Aalst.

De connectie met het historische centrum kan echter gemaakt worden dankzij eerder archeologisch onderzoek. Zo geven de archeologische opgravingen in de Molenstraat³⁸ en het Werfplein³⁹ bijkomende informatie over de stelselmatige uitbreiding van het stadswaefsel en de ingebruikname van de winterbedding.

Eerder onderzoek van de stadsversterkingen, zoals de opgravingen op het Esplanadeplein⁴⁰, maakt het ten slotte mogelijk om de beperkte onverstoord archeologische resten in de zone van de werfbegeleiding zinvol te interpreteren.

³⁷Zie voetnoot 18.

³⁸Couchez, Clement & Klinkenborg 2021.

³⁹De Maeyer et al. 2013.

⁴⁰De Maeyer, De Graeve & Verbeke 2021.

3.6.3. Gemotiveerde verwachting ten aanzien van de aanwezigheid en aard van archeologisch erfgoed

Binnen het gebied dat geselecteerd is voor opgraving zijn geen archeologische relictten meer bewaard. Binnen deze afbakening is immers alles opgegraven.

Ook in het gebied dat niet weerhouden is voor archeologisch vervolgonderzoek is de kans op bewaring van archeologisch waardevolle relictten eerder klein. Hier is immers reeds een sterke verstoring aanwezig door talrijke nutsleidingen.⁴¹ Bovendien is dit gebied te situeren buiten het historische stadsweefsel, op de opgevlude Dender of op de Denderarm/stadsgracht. Wellicht zijn op een dieper niveau nog restanten van de opvulling van de Dender of de Denderarm/stadsgracht bewaard. Het archeologisch kennispotentieel hiervan kan echter in vraag gesteld worden. In ieder geval zijn deze eventuele relictten niet bedreigd door de geplande werken.

3.6.4. Belang en de betekenis van de archeologische site binnen de bestaande kennis

Zoals gezegd is door de gedetailleerde vergelijking van de profielen met de historisch-cartografische gegevens een vrij gedetailleerde tijdlijn bekomen van de ontwikkeling van dit stadsdeel. Dit is bijzonder relevant voor het begrip van de historische stadsontwikkeling van Aalst. Onze (archeologische) kennis over dit stadsdeel is momenteel immers zeer gering. Op een lokaal niveau leveren deze resultaten, ondanks de beperkte omvang van het onderzoek, toch een significante bijdrage aan het onderzoek van de geschiedenis van Aalst.

Ook op regionaal niveau kunnen deze resultaten bijdragen om tot een groter inzicht te komen van de ontwikkeling van kleinere stedelijke kernen aan de oostelijke grens van het graafschap Vlaanderen.

Ten slotte kunnen de archeologische resultaten ook gebruikt worden voor een toetsing van de historisch voorhanden zijnde data aan de archeologische realiteit. Het is duidelijk dat sommige historische kaarten, los van de gekende beperkingen op vlak van topografische accuraatheid, ook op inhoudelijk vlak niet altijd een één op één weergave zijn van de werkelijkheid. Wat opgetekend is kan bijvoorbeeld op het moment van uitgave van de kaart reeds verdwenen zijn of men anticipeert op toekomstige bouwplannen die uiteindelijk misschien niet gerealiseerd worden. De resultaten van de werfbegeleiding kunnen gebruikt worden om het beeld van enkele historische kaarten te nuanceren of compleet te weerleggen. Andere kaarten blijken dan weer opvallend accuraat te zijn. Deze resultaten kunnen meegenomen worden in verder historisch onderzoek van deze en andere historische kaarten, alsook in het methodologisch onderzoek naar het gebruik ervan bij historisch-archeologisch onderzoek.

3.6.5. Afbakening van zones waar geen archeologisch erfgoed aanwezig is

Zie hoofdstuk 3.6.3.

3.7. DE ONDERZOEKSVRAGEN EN ONDERZOEKSDOELEN BEANTWOORD

- Zijn er antropogene sporen aanwezig?

Ja. Een groot deel van het onderzochte gebied is verstoord door nutsleidingen. Desalniettemin zijn er tussen deze nutsleidingen nog oudere antropogene sporen aanwezig. Deze lopen terug tot wellicht het begin van de 17de eeuw. Bovendien bevinden deze zich bovenop alluviale afzettingen uit de winterbedding van de Dender. In deze afzettingen is ook antropogeen materiaal aangetroffen dat minstens teruggaat tot de 16de eeuw.

- Op welke niveaus manifesteren deze zich?

De grens tussen de alluviale afzettingen en de antropogene sporen bevindt zakt in

noordwestelijke richting van ca. 1 m tot ca. 1,5 m onder het huidige straatniveau. Vanaf die diepte tot aan het huidige straatniveau is de antropogene stratigrafie in het begin nog af en toe onderbroken door (semi-)natuurlijke horizonten. Ze vertegenwoordigen (korte) periodes waarbij het terrein tijdelijk terug overstroomde of begroeid was.

- Maken de sporen deel uit van één of meerdere structuren? Stadsgracht en/of stadsomwalling?

De meeste antropogene sporen zijn als (ophogings)lagen te interpreteren. Er zijn echter ook nog restanten aangetroffen van de stadsomwalling. Meer bepaald gaat het wellicht om in situ resten van een wallichaam dat opgeworpen is in het tweede kwart van de 17de eeuw. Daarnaast zijn er ook afbraakresten aangetroffen van deze wal en wellicht ook de muur die daarop stond. Deze resten liggen wellicht in een uitgraafkuil die vanuit de stadsgracht is gegraven om de wal en muur te doen in klappen.

- Behoren de sporen tot één of meerdere periodes? Laatmiddeleeuws? Postmiddeleeuws?

De eerste antropogene sporen dateren wellicht uit het begin van de 17de eeuw. Sindsdien is het terrein nagenoeg continu in gebruik.

- Kan op basis van het sporenbestand in de proefsleuven een uitspraak worden gedaan over de aard en omvang van een occupatie?

De interpretatie van de sporen uit het uitgevoerde proefputtenonderzoek in het kader van de eerdere versie van de geplande werken is bijgestuurd en/of aangevuld met de resultaten van de werfbegeleiding. De sporen blijken hoofdzakelijk de overgang van een natuurlijk overstromingsgebied naar een zich uitbreidend stadsweefsel te weerspiegelen. Hierbij bevond het terrein zich enige tijd op de rand van de stad, waar een stadsgracht en stadsomwalling werden aangelegd. Op het einde van de 18de eeuw werden deze respectievelijk opgevuld/overweld en geslecht om plaats te maken voor een nieuwe woonwijk.

- Kunnen archeologische vindplaatsen in tijd, ruimte en functie afgebakend worden?

Zie hoofdstuk 3.3.2.3.

- Wat is de vastgestelde en verwachte bewaringstoestand van de archeologische vindplaatsen?

Zie hoofdstuk 3.2.

- Wat is de waarde en het kennispotentieel van de vastgestelde archeologische vindplaatsen?

Zie hoofdstuk 3.6.4.

3.8. SAMENVATTING VAN HET ONDERZOEK (GERICHT OP GESPECIALISEERD PUBLIEK)

Het stadsbestuur van Aalst wenst wegenis- en rioleringswerken werken uit te voeren ter hoogte van de Houtkaai en Korte Moutstraat in Aalst. Ter hoogte van de Korte Moutstraat zal eveneens de aanlanding van een fietsbrug aangelegd worden. Hiervoor is reeds een bureaustudie⁴² uitgevoerd. Deze studie sloot aan op het bureauonderzoek⁴³ en proefsleuvenonderzoek⁴⁴ die reeds in 2018-2019 gerealiseerd werden. De nieuwe bureaustudie werd opgemaakt naar aanleiding van een wijziging van de toenmalige ontwerpplannen.

Op basis van de bureaustudie kon gesteld worden dat het projectgebied een zeker archeologisch potentieel had. Het ligt nabij de historische kern van de stad Aalst en is op historische kaarten t.h.v. de laatmiddeleeuwse stadsomwalling en gracht te situeren.

In het eerder uitgevoerde proefsleuvenonderzoek door SOLVA ter hoogte van de Houtkaai

42 De Smet, De Graeve & Cherretté 2020.

43 De Smet, De Maeyer & Cherretté 2018.

44 De Maeyer & De Graeve 2019.

werden aan de zuidzijde van het plein de resten van de recentste fase van de gracht van de stadsomwalling gevonden. De wal en eventuele weermuur zijn niet aangetroffen. Deze werden onder de gebouwen ten zuidoosten van het plein (zone Korte Moutstraat) gesitueerd. Verder onderzoek in de Korte Moutstraat bood dus de mogelijkheid om de laat-en/of postmiddeleeuwse wal/weermuur in de ondergrond nog in kaart te brengen en te dateren, zoals ook kon worden bekomen bij eerdere opgravingen aan het Vredeplein en het Keizersplein (linkeroever).

De werfbegeleiding in deze zone vond plaats in de zomer van 2021, van 1 t.e.m. 8 juni. Als snel bleek dat het overgrote deel van de werkput verstoord was door nutsleidingen. Desalniettemin is door de gedetailleerde vergelijking van de profielen met de historisch-cartografische gegevens een vrij gedetailleerde tijdlijn bekomen van de ontwikkeling van dit stadsdeel.

Samenvattend kan gesteld worden dat de onderste en oudste lagen die werden aangetroffen wellicht te interpreteren zijn als sediment dat door de Dender is afgezet in de winterbedding en bij overstromingen van de zomerbedding. In het sediment is antropogeen materiaal aanwezig dat enerzijds van elders door de rivier is meegevoerd en anderzijds een restant is van menselijke activiteiten op of nabij de site. De stelselmatige aanvoer van alluviaal materiaal gebeurt wellicht tot in de 16de eeuw.

Op het einde van de 16de eeuw en het begin van de 17de eeuw komt het terrein geleidelijk aan “droog” te liggen. Hierdoor kan begroeiing ontstaan, weliswaar in natte omstandigheden en met nog enkele sporadische overstromingen. Dit vertaalt zich in het profiel als organisch-rijke begroeiingshorizonten, van elkaar gescheiden door dunne lagen sediment. In deze periode, wellicht ten laatste in het midden van de 16de eeuw, bevindt het zuidoostelijke deel van de werfbegeleiding zich wellicht reeds achter de bescherming van een segment van de tweede, “laatmiddeleeuwse” stadsmuur van Aalst. Hiervoor zijn echter enkel historisch(-cartografische) bronnen voorhanden. Er zijn van deze tweede stadsmuur geen resten aangetroffen tijdens de werfbegeleiding, wellicht omdat het terrein op deze locatie zwaar verstoord is.

In het begin van de 17de eeuw bedekt men het terrein buiten de stadsomwalling met grond en puinafval om het verder op te hogen en te vrijwaren van overstromingen. Op de kaart van Sanderus uit 1649 staat tegen een Denderarm/stadsgracht een nieuwe stadsmuur afgebeeld met aan de stadszijde een aarden wal. Vermoedelijk zijn de lagen die zich bovenop de 17de-eeuwse ophoging bevinden restanten van deze verdedigingswerken. Het gaat onder meer om een restant van het wallichaam dat zich wellicht nog in situ bevindt. Wellicht werd na de bouw van de muur de Denderarm/stadsgracht tot vlak aan de muur uitgegraven.

De Denderarm/stadsgracht is in het derde kwart van de 18de eeuw opgevuld met grondresten en puinafval die respectievelijk afkomstig lijken te zijn van de afbraak van het wallichaam en de weermuur, aangevuld met materiaal dat wellicht is aangevoerd.

Na de afbraak van de verdedigingswerken en de versmalling van de Denderarm/stadsgracht heeft het terrein enige tijd braak gelegen en was er opnieuw begroeiing in natte omstandigheden aanwezig. Dit kan afgeleid worden uit de kaart van Ferraris (1771-1778) en een organisch-rijke laag uit het proefputtenonderzoek.

Op de overgang van de 18de naar de 19de eeuw heeft men het terrein verder in gebruik genomen en de directe voorloper van de huidige Korte Moutstraat aangelegd. Op de stadsplattegrond van Hoffman (1815) is er immers reeds een volledig uitgebouwde stadswijk afgebeeld. In profiel 10AB van de werfbegeleiding is een opeenvolging van straatniveaus aangetroffen, waarbij minstens éénmaal gebruik is gemaakt van kasseien.

Rond het midden van de 19de eeuw wordt de Denderarm/stadsgracht uiteindelijk volledig opgevuld, het water wordt sindsdien door de collector gevoerd.

Ondanks de beperkte omvang van de werfbegeleiding is er een vrij gedetailleerde tijdlijn bekomen van de ontwikkeling van dit stadsdeel. Dit is bijzonder relevant voor het begrip van de historische stadsontwikkeling van Aalst. Onze (archeologische) kennis over dit stadsdeel is momenteel immers zeer gering. Op een lokaal niveau leveren deze resultaten, ondanks de beperkte omvang van het onderzoek, toch een significante bijdrage aan het onderzoek van de geschiedenis van Aalst.

Ook op regionaal niveau kunnen deze resultaten bijdragen om tot een groter inzicht te komen van de ontwikkeling van kleinere stedelijke kernen aan de oostelijke grens van het graafschap Vlaanderen.

Ten slotte kunnen de archeologische resultaten ook gebruikt worden voor een toetsing van de historisch voorhanden zijnde data aan de archeologische realiteit. Het is duidelijk dat sommige historische kaarten, los van de gekende beperkingen op vlak van topografische accuraatheid, ook op inhoudelijk vlak niet altijd een één op één weergave zijn van de werkelijkheid. Wat opgetekend is kan bijvoorbeeld op het moment van uitgave van de kaart reeds verdwenen zijn of men anticipeert op toekomstige bouwplannen die uiteindelijk misschien niet gerealiseerd worden. De resultaten van de werfbegeleiding kunnen gebruikt worden om het beeld van enkele historische kaarten te nuanceren of compleet te weerleggen. Andere kaarten blijken dan weer opvallend accuraat te zijn. Deze resultaten kunnen meegenomen worden in verder historisch onderzoek van deze en andere historische kaarten, alsook in het methodologisch onderzoek naar het gebruik ervan bij historisch-archeologisch onderzoek.

04 | BIBLIOGRAFIE

Alostum

Delst



Bagerij

Susterhuys

Beestenmarkt

Carmeten

Grande markt

Thuis van Jaffely

Capitulen

Susterhuys Straet

Stamps molen

molen

No 23

Nieuwe

Handwritten notes and labels in the upper right corner, including:

- Large letters: A, B, C, D
- Text: "Groot Ryndam", "104. R.", "Alost", "Nieuwe", "100"

4. BIBLIOGRAFIE

BARTHOLOMIEUX B., Taelman E., De Maeyer W., Van Cauwenbergh S., Vanholme N. & Cherretté B. 2015, Aalst Vredeplein – Keizersplein, onderzoek van de laatmiddeleeuwse omwalling, *SOLVA Archeologie Rapport* 9.

CALLEBAUT D. 1983a, De topografische groei van Aalst of hoe een Zelhof een gebastioneerde stad werd, *Miscellanea Archaeologica in honorem H. Roosens, Archaeologia Belgica* 255, 227-249.

CALLEBAUT D. 1983b, Het Onze-Lieve-Vrouw-Hospitaal te Aalst, *Archaeologica, Conspectus MCMLXXXII* 253, 91-95.

CALLEBAUT D. 1983c, Het Oud-Hospitaal te Aalst (O.VI.), *Archaeologia Mediaevalis* 6, 42.

COUCHEZ K., CLEMENT C. & KLINKENBORG S. 2021. *Aalst-Molenstraat. Archeologierapport archeologisch vooronderzoek en onderzoek met het oog op wetenschappelijke vraagstellingen*, onuitgegeven rapport.

DE GROOTE K. 2010, The contribution of archaeological sources to the research in the formation of towns. The example of Aalst, a border town in the county of Flanders, in: De Groote K., Tys D & Pieters M. (eds.), *Exchanging Medieval Material Culture. Studies on Archaeology and History presented to Frans Verhaeghe, Relicta Monografieën* 4, 249-266.

DE GROOTE K., 2013. De stadswording van Aalst. Of hoe een Merovingische nederzetting uitgroeide tot een laatmiddeleeuwse stad, *M&L Monumenten, Landschappen en Archeologie* 32/1, 4-32.

DE GROOTE K. & MOENS J. 2009, Archeologisch onderzoek in de Louis D’Haeseleerstraat te Aalst. Een test voor het ontwikkelingsmodel van de stad (O.-VI.), *Archaeologia Mediaevalis* 32, p. 120-122.

DE GROOTE K., MOENS J. & AMEELS V. 2010. Verzegeld door de eerste stadswal. Merovingische nederzettingssporen onder de speelplaats van het Sint-Jozefscollege te Aalst (O.-VI.), *Archaeologia Mediaevalis* 33, 43-47.

DE MAEYER W. & DE GRAEVE A. 2019. *Aalst – Pierre Corneliskaai, Nota Proefsleuvenonderzoek – 2019B118*, SOLVA archeologierapport 180.

DE MAEYER W., DE GRAEVE A. & VERBEKE E. 2021. *Aalst Esplanadeplein, Archeologierapport*, onuitgegeven.

DE MAEYER W., VAN CAUWENBERGH S., KLINKENBORG S., Taelman E. & Cherretté B. 2013. *Aalst Werfplein. Onderzoek van een middeleeuwse woonwijk*, SOLVA archeologierapport 23.

DE SMET S., DE GRAEVE A. & Cherretté B. 2020. *Aalst Houtkaai – Korte Moutstraat, archeologienota – 2020H7*, SOLVA archeologierapport 201.

DE SMET S., DE MAEYER W. & CHERRETTÉ B. 2018. *Aalst – Pierre Corneliskaai, archeologienota – 2018J70*, SOLVA archeologierapport 162.

SEVENANT M., MENSCHAERT J., COUVREUR M., RONSE A., ANTROP M., GEYPENS M., HERMY M. & DE BLUST G. 2002. *Ecodistricten: Ruimtelijke eenheden voor gebiedsgericht milieubeleid in Vlaanderen. Deelrapport II: Afbakening van ecodistricten en ecoregio's: Verklarende teksten.*

STOUTHAMER E., COHEN K. M. & HOEK W. Z. 2015. *De vorming van het land: geologie en geomorfologie*, Perspectief Uitgevers: Bilthoven.

WAUTERS E. 1986. De stadswal te Aalst vanaf 1667. Nieuwe gegevens in de historiek van een stadsverdediging, in: Ghysens J. 1986. *Geschiedenis der straten van Aalst*, Aalst: Genootschap voor Aalsterse Geschiedenis.

05 | BIJLAGEN



5. BIJLAGEN

5.1. HANDLEIDING BIJ HET RAADPLEGEN VAN DE BIJLAGEN

De bijlagen bij het rapport zijn ingedeeld in een algemene gegevensfiche over het project inclusief trefwoorden, een lijst met overzichtsfoto's, een structuurlijst, een spoorcombinatielijst, een sporenlijst, een vondstenlijst en een fotolijst op spoorniveau. Tevens wordt een overzicht geboden van uitgevoerd post-excavation onderzoek en mogelijkheden voor verder onderzoek. Deze lijsten worden aangevuld met de afgeleverde vergunningen voor metaaldetectie en prospectie met ingreep in de bodem enerzijds, en de bijzondere voorwaarden waaraan het onderzoek dient te beantwoorden, opgesteld door de bevoegde overheid - het Agentschap Onroerend Erfgoed - anderzijds.

We geven hierbij enige duiding met betrekking tot de diverse lijsten in deze bijlage. De lijsten worden automatisch gegenereerd uit de SOLVA-databank. In deze databank worden tijdens de opgraving en de rapportage alle data die tijdens een archeologisch project worden gegenereerd, samengebracht. Het gaat hierbij dus zowel om velddata (foto's, plannen, beschrijvingen, relaties tussen sporen, vondsten, ...) als documenten die tijdens de rapportage worden gegenereerd (aardewerktekeningen, informatie over behandeling van materiaal, het archeologisch rapport, diverse laboanalyses, administratief archief zoals vergunningen, bijzondere voorwaarden, ...). In het kader van de rapportage genereert de databank een reeks lijsten zoals gevraagd in de "Minimumnormen voor archeologische registratie en rapportage" en de "bijzondere voorwaarden" bij het concrete project. Conform de structuur van de databank (zie hoofdstuk methodologie, verwerking) worden de bijlagen hiërarchisch opgebouwd. Alle velddata worden in de databankstructuur op drie niveaus ingedeeld: spoorniveau, spoorcombinatieniveau en structuurniveau. We verduidelijken met een voorbeeld. Onder de noemer 'sporen' verstaan we het kleinste niveau van notulering, de kleinste eenheid als het ware: bijvoorbeeld een aflijning in een grondplan of een laag in een kuil bij een coupetekening. Dit is het niveau waarop vondsten afzonderlijk worden ingezameld. Verschillende sporen kunnen toebehoren aan een 'spoorcombinatie': zo vormen verschillende lagen in een kuil samen de spoorcombinatie 'kuil'. Op gelijkaardige wijze kunnen verschillende spoorcombinaties gegroepeerd worden tot een overkoepelende 'structuur': diverse paalkuilen behoren bijvoorbeeld toe aan de structuur 'gebouw'. In de databank, en dus ook in deze bijlagen, worden de velddata volgens vastgestelde thesauruslijsten toegewezen aan de noemers 'sporen', 'spoorcombinaties' en 'structuren'.

De lijsten in deze bijlage zijn volgens dezelfde hiërarchie opgebouwd. Aangezien geen structuren konden gevormd worden, is er logischerwijs geen structurenlijst. In de bijlage wordt achtereenvolgens een overzicht gebracht van spoorcombinaties en sporen. De spoorcombinatielijst bevat een overzicht van enkel de sporen (lager niveau), alsook een overzicht van alle foto's, plannen, vondsten en stalen. De sporenlijst bevat een overzicht van gerelateerde spoorcombinaties (hoger niveau), alsook een overzicht van alle foto's, plannen, vondsten en stalen. De gedetailleerde spoorbeschrijvingen zijn uitsluitend in de sporenlijsten zelf terug te vinden. Op elk niveau tot slot staat een interpretatie en zo mogelijk ook een datering vermeld. Voor de duidelijkheid geven we mee dat niet elk spoor noodzakelijk deel uitmaakt van een spoorcombinatie. Wat de wijze van nummering betreft, geldt als algemene regel dat spoorcombinaties de naam dragen van het spoornummer dat als eerste aan die 'spoorcombinatie' wordt toegewezen. In een rapport zijn het doorgaans de spoorcombinatienummers die in de tekst de leidraad vormen.

5.2. LIJSTEN

Omwille van de koppeling van de resultaten van de werfbegeleiding met de resultaten van het proefsleuvenonderzoek, omvatten de lijsten in bijlagen beide onderzoeken.

5.2.1. Bijlage 1: Gegevens databank (deel 1)

- Gegevensfiche project
- Keywords
- Dagrapporten
- Contextlijst (spoor-combinatielijst), met vermelding van de gerelateerde sporen, foto's, plannen, vondsten en stalen
- Spoorlijst, met vermelding van de gerelateerde contexten, foto's, plannen, vondsten en stalen
- Vondstenlijst
- Stalenlijst
- Assessment van de vondsten
- Plannenlijst
- Tekeningenlijst
- Fotolijst

5.2.1. Bijlage 2: Gegevens databank (deel 2)

- Foto's
- Plannen
- Tekeningen

Het stadsbestuur van Aalst wenst wegenis- en rioleringswerken werken uit te voeren ter hoogte van de Houtkaai en Korte Moutstraat in Aalst. Op basis van de bureaustudie kon gesteld worden dat het projectgebied een zeker archeologisch potentieel had. Het ligt nabij de historische kern van de stad Aalst en is op historische kaarten t.h.v. de laatmiddeleeuwse stadsomwalling en -gracht te situeren. Een proefsleuvenonderzoek ter hoogte van de Houtkaai bevestigde de bewaring van de resten van de recentste fase van de stadsgracht. De wal en eventuele weermuur zijn niet aangetroffen. Deze situeren zich vermoedelijk onder de gebouwen ten zuidoosten van het plein, in de zone van de Korte Moutstraat. Verder onderzoek in de Korte Moutstraat bood dus de mogelijkheid om de laat- en/of postmiddeleeuwse wal/weermuur in de ondergrond nog in kaart te brengen en te dateren. Dit archeologisch onderzoek geschiedde in de vorm van een werfbegeleiding. Voorliggend eindverslag vormt de neerslag van de resultaten van deze werfbegeleiding. Dit onderzoek liet namelijk toe een vrij gedetailleerde tijdlijn te bekomen van de ontwikkeling van dit stadsdeel. Dit is bijzonder relevant voor het begrip van de historische stadsontwikkeling van Aalst. Onze (archeologische) kennis over dit stadsdeel is immers zeer gering. Ook op regionaal niveau kunnen deze resultaten bijdragen om tot een groter inzicht te komen van de ontwikkeling van kleinere stedelijke kernen aan de oostelijke grens van het graafschap Vlaanderen.